

**UNIVERSIDAD NACIONAL AGRARIA  
LA MOLINA**

**FACULTAD DE CIENCIAS**



**“IDENTIFICACIÓN DE GENES DE REFERENCIA EN  
*Lupinus mutabilis* Sweet PARA ESTUDIOS CUANTITATIVOS  
DE EXPRESIÓN GÉNICA”**

Presentada por:

**SUSAN MARIBEL LINARES HUAPAYA**

Tesis para Optar el Título Profesional de:

**BIÓLOGA**

Lima – Perú

**2023**

---

**La UNALM es la titular de los derechos patrimoniales de la presente investigación  
(Art. 24. Reglamento de Propiedad Intelectual)**

## Document Information

Analyzed document	Susan_Linares_tesis.docx (D152678840)
Submitted	2022-12-08 20:47:00
Submitted by	Gaston Zolla
Submitter email	gzolla@lamolina.edu.pe
Similarity	0%
Analysis address	gzolla.unalm@analysis.urkund.co

## Sources included in the report



URL: [https://research.hanze.nl/ws/files/26068177/Libbio\\_A5\\_booklet\\_WEB.pdf](https://research.hanze.nl/ws/files/26068177/Libbio_A5_booklet_WEB.pdf) Vandesompele, Fetched: 2022-12-08 20:48:00



1

## Entire Document

UNIVERSIDAD NACIONAL AGRARIA LA MOLINA

FACULTAD DE CIENCIAS

"IDENTIFICACIÓN DE GENES DE REFERENCIA EN *Lupinus mutabilis* Sweet PARA ESTUDIOS CUANTITATIVOS DE EXPRESIÓN GÉNICA"

Presentada por:

Linares Huapaya Susan Maribel

Tesis para optar el Título de:

BIÓLOGA

LIMA-PERÚ 2022

ÍNDICE

ÍNDICE 2 RESUMEN 9 SUMMARY 10 I. INTRODUCCIÓN 11 II. REVISIÓN LITERARIA 13 2.1 GENERALIDADES de *Lupinus mutabilis* Sweet 13 2.1.1 Clasificación taxonómica 13 2.1.2 Origen y distribución 13 2.1.3 Descripción botánica 14 2.1.4 Diversidad genética 14 2.1.5 Importancia de *Lupinus mutabilis* 15 2.2 EXPRESIÓN GENÉTICA 16 2.2.1 Cuantificación de expresión de genes 16 2.2.2 Metodologías usadas en la identificación de genes de referencia 17 2.2.3 Genes de referencia 18 2.2.4 Genes de referencia en plantas 19 2.2.5 Importancia de genes de referencia 19 2.2.6 Inestabilidad de los genes de referencia 20 III. MATERIALES Y MÉTODOS 21 3.1 MATERIALES 21 3.1.1 Bibliotecas 21 3.1.2 Material vegetal 21 3.1.3 Reactivos y soluciones 21 3.1.4 Sustratos y nutrientes 21 3.1.5 Equipos de laboratorio e instrumentos 22 3.2 MÉTODOS 22 3.2.1 Etapa *in silico* 22 3.2.1.2 Pruebas de homocedasticidad 24 3.2.2 Etapa experimental 26 IV. RESULTADOS Y DISCUSIONES 28 6.1 Análisis y selección de los transcriptos 28 6.2 Descripción de los genes de referencia candidatos seleccionados 33 6.3 Validación de los genes de referencia 36 6.3.1 Validación de los genes de referencia en condiciones de solución hidropónica La Molina 36 6.3.2 Validación de los genes de referencia en condiciones de solución Murashige y Skoog (MS) 41 V. CONCLUSIONES 45 VI. RECOMENDACIONES 46 VII. REFERENCIAS BIBLIOGRÁFICAS 47 VIII. ANEXOS 56

ÍNDICE DE TABLAS

Tabla 1: Genes de referencia candidatos seleccionados mediante 5 pruebas de homocedasticidad (*p.valor* < 0.05) 30  
Tabla 2: Selección de los genes candidatos por un FPKM (< 40) y CV del *p.valor* de las pruebas de homocedasticidad (> 0.20) 34

Tabla 3: Información de genes de referencia candidatos.....36

ÍNDICE DE FIGURAS

**UNIVERSIDAD NACIONAL AGRARIA  
LA MOLINA**

**FACULTAD DE CIENCIAS**

**“IDENTIFICACIÓN DE GENES DE REFERENCIA EN  
*Lupinus mutabilis* Sweet PARA ESTUDIOS CUANTITATIVOS  
DE EXPRESIÓN GÉNICA”**

Presentada por:

**SUSAN MARIBEL LINARES HUAPAYA**

Tesis para Optar el Título Profesional de:

**BIÓLOGA**

Sustentada y aprobada por el siguiente jurado:

---

Mg.Sc. Maria del Rosario Josefina Castro Muñoz  
PRESIDENTE

---

Mg. Katty Ogata Gutierrez  
MIEMBRO

---

Mg. Sc. Roberto Ramos Mansilla Samaniego  
MIEMBRO

---

Dr. Jorge Eduardo Jimenez Davalos  
ASESOR

---

Ph.D. Gaston Enrique M. Zolla Benites  
Co Asesor

## **DEDICATORIA**

*A mi abuela Zenobia Quispe de Huapaya*

*Tu fortaleza y tu buen corazón siempre han sido mi guía.*

*Este logro también es tuyo mamita.*

## **AGRADECIMIENTOS**

A mis padres Silvia y Julio por todo el esfuerzo que han hecho para apoyarme en cada paso que he dado.

A mi hermano Julio por los consejos y el apoyo que siempre me brindó.

A mi asesor Ph.D. Jorge Jiménez Dávalos y mi co-asesor Ph.D. Gastón Enrique Martín Zolla Benites por contribuir en mi formación académica impartida en los cursos de biología experimental y posteriormente, asesorarme en la realización de esta investigación.

Al Vice-Rectorado de Investigación de la Universidad Nacional Agraria La Molina por el financiamiento de este proyecto.

A Mg. Sc. Manuel Hidalgo y Mg. Sc. Cynthia Ramos, cuyos trabajos de investigación como parte del proyecto 451-PNICP-BRI-2014 fueron el punto de partida para la realización de la presente investigación.

A todo el equipo del Laboratorio de Biotecnología del PIPS en Cereales y Granos Nativos por todas las vivencias compartidas. Han contribuido enormemente en mi crecimiento personal.

A mis amigas y compañeras de estudio, Joshelin y Eva, las risas nunca faltaron y lo más importante, siempre estuvimos para apoyarnos. Los días en la universidad no hubieran sido lo mismo sin ustedes. Por siempre MDM.

A A. Sebastian, gracias por escucharme y decirme que te cuente el final.

## ÍNDICE GENERAL

RESUMEN .....	ix
SUMMARY .....	x
I. INTRODUCCIÓN .....	1
II. REVISIÓN DE LITERATURA .....	3
2.1 GENERALIDADES de <i>Lupinus mutabilis</i> Sweet.....	3
2.1.1 Clasificación taxonómica.....	3
2.1.2 Origen y distribución .....	3
2.1.3 Descripción botánica .....	4
2.1.4 Diversidad genética .....	4
2.1.5 Importancia de <i>Lupinus mutabilis</i> Sweet.....	5
2.2 EXPRESIÓN GENÉTICA .....	6
2.2.1 Cuantificación de expresión de genes .....	6
2.2.2 Metodologías usadas en la identificación de genes de referencia.....	6
2.2.3 Genes de referencia .....	7
2.2.4 Genes de referencia en plantas .....	8
2.2.5 Importancia de genes de referencia .....	9
2.2.6 Inestabilidad de los genes de referencia .....	9
III. MATERIALES Y MÉTODOS.....	11
3.1 MATERIALES .....	11
3.1.1 Bibliotecas .....	11
3.1.2 Material vegetal.....	11
3.1.3 Reactivos y soluciones .....	11
3.1.4 Sustratos y nutrientes.....	12
3.1.5 Equipos de laboratorio e instrumentos .....	12
3.2 MÉTODOS .....	13
3.2.1 Etapa in silico .....	13
3.2.2 Etapa experimental .....	16

IV. RESULTADOS Y DISCUSIONES.....	18
4.1 Análisis y selección de los transcriptos.....	18
4.2 Descripción de los genes de referencia candidatos seleccionados.....	23
4.3 Validación de los genes de referencia .....	26
4.3.1 Validación de los genes de referencia en condiciones de solución hidropónica La Molina.....	26
4.3.2 Validación de los genes de referencia en condiciones de solución Murashige y Skoog (MS).....	31
V. CONCLUSIONES .....	35
VI. RECOMENDACIONES .....	36
VII. BIBLIOGRAFÍA.....	37
VIII. ANEXOS .....	46

## **ÍNDICE DE TABLAS**

Tabla 1: Genes de referencia candidatos seleccionados mediante 5 pruebas de homocedasticidad (p.valor >0.05) .....	19
Tabla 2: Selección de los genes candidatos por un FPKM (>40) y CV del p.valor de las pruebas de homocedasticidad (<0.20) .....	23
Tabla 3: Información de genes de referencia candidatos .....	25

## ÍNDICE DE FIGURAS

Figura 1: Diagrama de flujo del procedimiento de selección de los candidatos de genes de referencia.....	14
Figura 2: Análisis de expresión relativa de genes del grupo I (proteínas ribosomales) a nivel de hoja, tallo y raíz en <i>Lupinus mutabilis</i> . .....	28
Figura 3: Análisis de expresión relativa de genes del grupo II en hoja, tallo y raíz de <i>Lupinus mutabilis</i> . ....	30
Figura 4: Análisis de expresión relativa de genes del grupo III para dos tipos de tejidos en <i>Lupinus mutabilis</i> : .....	32
Figura 5: Análisis de expresión relativa de genes del grupo IV para tres tipos de tejidos en <i>Lupinus mutabilis</i> . ....	34

## **ÍNDICE DE ANEXOS**

Anexo 1: Genes de referencia estables en plantas .....	47
Anexo 2: Análisis de las 5 pruebas de homocedasticidad (*media) .....	58
Anexo 3: Secuencia de primers para los genes candidatos de referencia .....	63
Anexo 4: Análisis de variancia para el gen candidato a referencia RPL11 ( $\alpha=0.05$ ) bajo condiciones de solución La Molina.....	63
Anexo 5: Análisis de variancia para el gen candidato a referencia RPS18 ( $\alpha=0.05$ ) bajo condiciones de solución La Molina.....	63
Anexo 6: Análisis de variancia para el gen candidato a referencia RPS27L ( $\alpha=0.05$ ) bajo condiciones de solución La Molina.....	63
Anexo 7: Análisis de variancia para el gen candidato a referencia V-ATPasa a ( $\alpha=0.05$ ) bajo condiciones de solución La Molina .....	64
Anexo 8: Análisis de variancia para el gen candidato a referencia V-ATPasa b ( $\alpha=0.05$ ) bajo condiciones de solución La Molina .....	64
Anexo 9: Análisis de variancia para el gen candidato a referencia ERF3 ( $\alpha=0.05$ ) bajo condiciones de solución La Molina.....	64
Anexo 10: Análisis de variancia para el gen candidato a referencia OEP24 a ( $\alpha=0.05$ ) bajo condiciones de solución La Molina .....	64
Anexo 11: Análisis de variancia para el gen candidato a referencia OEP24 b ( $\alpha=0.05$ ) bajo condiciones de solución La Molina .....	64
Anexo 12: Análisis de variancia para el gen candidato a referencia RAD52 ( $\alpha=0.05$ ) bajo condiciones de solución La Molina.....	65
Anexo 13: Análisis de variancia para el gen candidato a referencia CESA1 a ( $\alpha=0.05$ ) bajo condiciones de solución La Molina .....	65
Anexo 14: Análisis de variancia para el gen candidato a referencia CESA1 b ( $\alpha=0.05$ ) bajo condiciones de solución La Molina .....	65
Anexo 15: Análisis de variancia para el gen candidato a referencia Atg45170 ( $\alpha=0.05$ ) bajo condiciones de solución La Molina .....	65

Anexo 16: Análisis de variancia para el gen candidato a referencia RPL11 ( $\alpha=0.05$ )	
bajo condiciones de solución MS .....	65
Anexo 17: Análisis de variancia para el gen candidato a referencia RPS18 ( $\alpha=0.05$ )	
bajo condiciones de solución MS .....	66
Anexo 18: Análisis de variancia para el gen candidato a referencia RAD52 ( $\alpha=0.05$ )	
bajo condiciones de solución MS .....	66
Anexo 19: Análisis de variancia para el gen candidato a referencia OEP24 a $(\alpha=0.05)$ bajo condiciones de solución MS .....	66
Anexo 20: Análisis de variancia para el gen candidato a referencia OEP24 b $(\alpha=0.05)$ bajo condiciones de solución MS .....	66
Anexo 21: Análisis de variancia para el gen candidato a referencia V-ATPasa a $(\alpha=0.05)$ bajo condiciones de solución MS .....	66
Anexo 22: Análisis de variancia para el gen candidato a referencia V-ATPasa b $(\alpha=0.05)$ bajo condiciones de solución MS .....	67
Anexo 23: Análisis de variancia para el gen candidato a referencia RPS27L $(\alpha=0.05)$ bajo condiciones de solución MS .....	67
Anexo 24: Análisis de variancia para el gen candidato a referencia CESA1 a $(\alpha=0.05)$ bajo condiciones de solución MS .....	67
Anexo 25: Análisis de variancia para el gen candidato a referencia CESA1 b $(\alpha=0.05)$ bajo condiciones de solución MS .....	67
Anexo 26: Análisis de variancia para el gen candidato a referencia Atg45170 $(\alpha=0.05)$ bajo condiciones de solución MS .....	67
Anexo 27: Prueba Tukey para la expresión del gen candidato a referencia RPL11 $(\alpha=0.05)$ bajo condiciones de solución La Molina .....	67
Anexo 28: Prueba Tukey para la expresión del gen candidato a referencia RPS18 $(\alpha=0.05)$ bajo condiciones de solución La Molina .....	68
Anexo 29: Prueba Tukey para la expresión del gen candidato a referencia RPS27L $(\alpha=0.05)$ bajo condiciones de solución La Molina .....	68
Anexo 30: Prueba Tukey para la expresión del gen candidato a referencia V- ATPasa a $(\alpha=0.05)$ bajo condiciones de solución La Molina.....	68

Anexo 31: Prueba Tukey para la expresión del gen candidato a referencia V-ATPasa b ( $\alpha=0.05$ ) bajo condiciones de solución La Molina .....	68
Anexo 32: Prueba Tukey para la expresión del gen candidato a referencia ERF3 ( $\alpha=0.05$ ) bajo condiciones de solución La Molina .....	69
Anexo 33: Prueba Tukey para la expresión del gen candidato a referencia OEP24 a ( $\alpha=0.05$ ) bajo condiciones de solución La Molina .....	69
Anexo 34: Prueba Tukey para la expresión del gen candidato a referencia OEP24 b ( $\alpha=0.05$ ) bajo condiciones de solución La Molina .....	69
Anexo 35: Prueba Tukey para la expresión del gen candidato a referencia RAD52 ( $\alpha=0.05$ ) bajo condiciones de solución La Molina .....	69
Anexo 36: Prueba Tukey para la expresión del gen candidato a referencia CESA1-a ( $\alpha=0.05$ ) bajo condiciones de solución La Molina.....	69
Anexo 37: Prueba Tukey para la expresión del gen candidato a referencia CESA1-b ( $\alpha=0.05$ ) bajo condiciones de solución La Molina .....	70
Anexo 38: Prueba Tukey para la expresión del gen candidato a referencia Atg45170 ( $\alpha=0.05$ ) bajo condiciones de solución La Molina .....	70
Anexo 39: Prueba Tukey para la expresión del gen candidato a referencia RPL11 ( $\alpha= 0.05$ ) bajo condiciones de solución MS .....	70
Anexo 40: Prueba Tukey para la expresión del gen candidato a referencia RPS18 ( $\alpha= 0.05$ ) bajo condiciones de solución MS .....	70
Anexo 41: Prueba Tukey para la expresión del gen candidato a referencia RAD52-2 ( $\alpha= 0.05$ ) bajo condiciones de solución MS .....	70
Anexo 42: Prueba Tukey para la expresión del gen candidato a referencia OEP24 a ( $\alpha=0.05$ ) bajo condiciones de solución MS .....	71
Anexo 43: Prueba Tukey para la expresión del gen candidato a referencia OEP24 b ( $\alpha=0.05$ ) bajo condiciones de solución MS .....	71
Anexo 44: Prueba Tukey para la expresión del gen candidato a referencia V-ATPasa a ( $\alpha=0.05$ ) bajo condiciones de solución MS .....	71
Anexo 45: Prueba Tukey para la expresión del gen candidato a referencia V-ATPasa b ( $\alpha=0.05$ ) bajo condiciones de solución MS .....	71

Anexo 46: Prueba Tukey para la expresión del gen candidato a referencia RPS27L ( $\alpha=0.05$ ) bajo condiciones de solución MS .....	71
Anexo 47: Prueba Tukey para la expresión del gen candidato a referencia CESA1-a ( $\alpha=0.05$ ) bajo condiciones de solución MS .....	72
Anexo 48: Prueba Tukey para la expresión del gen candidato a referencia CESA1-b ( $\alpha=0.05$ ) bajo condiciones de solución MS .....	72
Anexo 49: Prueba Tukey para la expresión del gen candidato a referencia Atg45170 ( $\alpha=0.05$ ) bajo condiciones de solución MS .....	72
Anexo 50: Tabla de composición y concentración de las soluciones La Molina y Murashige y Skoog (MSP01) .....	72

## RESUMEN

Los estudios de patrones de expresión en genes requieren mediciones precisas y reproducibles. Por lo que se requiere un control de reacción interno; es decir, un gen de referencia. El cual tenga una variación mínima en su expresión en diferentes tipos de células y bajo condiciones. Es así que muchos genes housekeeping han sido usados como genes de referencia en plantas; tales como, GAPDH, EF-1 $\alpha$ , UBQ, UBC, EIF1 y factores de transcripción eucariota. Sin embargo, no siempre han sido apropiados. Además, el número de estos genes en plantas sigue siendo limitado y en *Lupinus mutabilis* S, no se han reportado. En ese sentido, se planteó identificar y validar genes de referencia en esta especie para estudios de expresión genética. Para ello, se trabajó con el transcriptoma de brotes florales en desarrollo y tejido vegetativo, el mismo que fue filtrado mediante 3 criterios de selección: 1) el coeficiente de variación (CV) <0.10 con un valor promedio de FPKM >10, 2) 5 pruebas de homogeneidad de varianza: Levene, Barlett, F-test, Fligner-Kligner y Hartley (p. valor > 0.05) y 3) CV del p. valor < 0.20 con un valor promedio de FPKM >40. Lo que resultó en la selección de 16 candidatos a genes de referencia. Los mismos que fueron validados por RT-PCR en hoja, tallo y raíz. Finalmente, se identificaron 8 genes: RPL11, RPS18, RPS27L, ERF3, OEP24, CESA, AT4G27220, y V-ATPasa, que mostraron un nivel de expresión constante y sin diferencias significativas ( $P<0.05$ ) a nivel de hoja, tallo y raíz para *Lupinus mutabilis* bajo condiciones de solución hidropónica La Molina y los genes (RAD52-2 Y CESA) presentaron estabilidad en su expresión, en dos tipos de tejido bajo condiciones de solución hidropónica La Molina y Murashige y Skoog, respectivamente.

**Palabras clave:** genes de referencia, genes housekeeping, *Lupinus mutabilis*, transcriptoma.

## SUMMARY

Gene expression studies require precise and reproducible measurements. Therefore, a reference gene as internal reaction control is needed; which shows a minimal variation in its expression at different tissues under different conditions or treatments. Thus, many housekeeping genes have been used as reference genes in plants; such as, GAPDH, EF-1, UBQ, UBC, EIF1 and eukaryotic transcription factors. However, they have not always been appropriate for gene expression studies. Furthermore, the number of these genes in plants remains limited and there are not studies in *Lupinus mutabilis* S. Thus, the aim of this research was to identify and validate reference genes in this species for gene expression studies. For this, we worked with the transcriptome of the developing flower buds and vegetative tissue, which was filtered through three selection criteria: 1) the coefficient of variation (CV) < 0.10 with an average value of FPKM > 10, 2) five tests of homogeneity of variance: Levene, Barlett, F-test, Fligner-Kligner and Hartley (p-value > 0.05) and 3) CV of p-value < 0.20 with an average value of FPKM > 40. This allowed to selected 16 candidate reference genes, which were validated by RT-PCR in leaf, stem and root. Finally, 8 genes were identified: RPL11, RPS18, RPS27L, ERF3, OEP24, CESA, At4g27220, and V-ATPase, these genes showed a constant expression level and without significant differences ( $P < 0.05$ ) at the leaf, stem and root level for *Lupinus mutabilis* S. that were grown with La Molina hydroponic solution and two genes (RAD52-2 and CESA) showed gene expression stability under La Molina and Murashige and Skoog Basal Nutrient solution conditions, respectively.

**Keywords:** reference genes, housekeeping genes, *Lupinus mutabilis*, transcriptome

## I. INTRODUCCIÓN

El Perú posee una gran biodiversidad, equivalente al 10% del total mundial (Bussmann & Sharon, 2014) que en gran medida contribuye a su economía (UNCTAD, 2018). Uno de estos recursos genéticos es el tarwi, *Lupinus mutabilis*, leguminosa originaria de los Andes de América del Sur, domesticada por primera vez en el norte peruano (Atchison *et al.*, 2016; Dávila, 1987). La cual posee un alto valor nutricional, principalmente por sus elevados porcentajes de proteína y aceites presentes en su semilla (Gross *et al.*, 1988). Los que la comparan, con la soya e incluso como una alternativa de cambio a la proteína animal (Wellesley *et al.*, 2015). Por lo que este cultivo podría garantizar la seguridad alimentaria del Perú.

Por otro lado, este cultivo suministra nitrógeno a los agroecosistemas gracias a su capacidad de fijar nitrógeno atmosférico en simbiosis con los rizobios (Jensen *et al.*, 2012). Asimismo, puede desarrollarse en tierras secas y adaptarse a diferentes condiciones, gracias a su gran variabilidad en cuanto a adaptación a suelos, precipitación, temperatura, altitud, periodo vegetativo y tolerancia a enfermedades y plagas (Angus *et al.*, 2001; Entz *et al.*, 2001; Lefroy *et al.*, 2001; Mujica, 1990). Todo esto demuestra el gran potencial del cultivo y como su mejoramiento podría incentivar en su consumo directo y agroindustrial.

Se sabe que varias características de importancia económica se encuentran controladas generalmente por varios genes (Zhang *et al.*, 2020). En tal sentido, se hace necesario conocer los patrones de expresión de esos genes para entender su dinámica de la expresión genética y los diferentes procesos biológicos(Kumar *et al.*, 2016). Entre las técnicas más usados para la detección y cuantificación de la transcripción de ARNm están el Nothern Blot, hibridación in situ (Parker & Barnes, 1999), la reacción en cadena de la polimerasa de transcripción inversa (RT-PCR) (Weis *et al.*, 1992), la reacción en cadena de la polimerasa cuantitativa en tiempo real con transcriptasa inversa reacción (RT-qPCR) (Ginzinger, 2002), microarrays (Bucher, 1999) y ARN-seq (Wang *et al.*, 2009).

El análisis de expresión génica requiere mediciones precisas y reproducibles de los niveles transcripcionales de los genes de interés. Por lo que se debe tener en cuenta las condiciones

que modulan su expresión (Derveaux *et al.*, 2010), de modo que se requiere necesariamente el uso de un control de reacción interno junto con el gen evaluado para calibrar la variabilidad experimental; es decir, un gen de referencia(Chen *et al.*, 2011); Kozera y Rapacz, 2013). El cual debe expresarse a un nivel constante y estable en diferentes tipos de células y bajo diferentes tratamientos. Así mismo, debe demostrar la variabilidad resultante de las imperfecciones de la tecnología utilizada y los procedimientos preparatorios (Caracausi *et al.*, 2017; Kozera & Rapacz, 2013); lo que asegurará que cualquier tipo de variación solo sea la generada por la cantidad de material genético analizado.

Los primeros genes de referencia usados fueron los genes housekeeping. Genes constitutivos (Caracausi *et al.* 2017) requeridos para el mantenimiento de las funciones básicas de la célula (Joseph *et al.*, 2018), que se expresan en todas las células en condiciones normales, independientemente del tipo de tejido, etapa de desarrollo, estado de ciclo o la condición externa (Eisenberg y Levanon, 2013). Los genes de referencia más utilizados en plantas son Glicerladehido-3-fosfato deshidrogeenasa (GAPDH), factor de alargamiento-1 $\alpha$  (EF-1 $\alpha$ ), poliubiquitina (UBQ), actina,  $\alpha$ -tubulina,  $\beta$ -tubulina, 18S rRNA, 25S ARNr, enzima conjugadora de ubiquitina E2 (UBC), factor de iniciación eucariota 1 (EIF1) y factores de transcripción eucariota (Kozera & Rapacz, 2013; Zheng Wang *et al.*, 2014). Sin embargo, no todos han sido apropiados (Rocha-Martin *et al.*, 2012; Wang *et al.*, 2016), por lo que su validación es requerida para cada especie.

Existe un número limitado de genes de referencia validados en plantas, y hasta el momento no se tienen reportes para *Lupinus mutabilis*, por lo que la presente investigación busca identificar y validar genes de referencia en *L. mutabilis* que puedan servir como un control interno para deslindar cualquier tipo error en la cuantificación de su expresión genética. Los cuales, deben ofrecer estabilidad para su empleo en futuros estudios de expresión y cuantificación genética.

## II. REVISIÓN DE LITERATURA

### 2.1 GENERALIDADES de *Lupinus mutabilis* Sweet

#### 2.1.1 Clasificación taxonómica

*Lupinus mutabilis* pertenece a la división Magnoliophyta, clase Magnolipsida, orden Fabales y a la familia de las fabaceas. Esta familia ha sido clasificada de forma aceptada, en tres subfamilias: Caesalpinieae, Mimosoideae, y Papilionoideae (Azani *et al.*, 2017). Esta última incluye varias legumbres de importancia alimentaria (Wolko *et al.*, 2011). Como lo es, el género *Lupinus*, un grupo monofilético que está incluido en la tribu Genisteae (Ainouche & Bayer, 2000).

Esta especie presenta el epíteto de *mutabilis*, que en Latín significa cambiante, debido al cambio de color que toman sus flores a lo largo del desarrollo de la planta (Eastwood & Hughes, 2018).

#### 2.1.2 Origen y distribución

*Lupinus mutabilis*, conocido comúnmente como tarwi es una leguminosa originaria de la zona andina de América del Sur (Dávila, 1987; Jacobsen & Mujica, 2008) y es la única especie de *Lupinus* americano domesticada y cultivada (Blanco, 1982). El análisis RAD seq realizado por Atchison y colaboradores (2016) refiere que fue domesticada por primera vez en el norte del Perú, probablemente en la región de Cajamarca, de su progenitor putativo silvestre, *Lupinus piurensis*.

El tarwi se distribuye desde Colombia hasta el norte de Argentina, en un amplio rango de altitudes de 1500 a 3800 m s.n.m. (Jacobsen y Mujica, 2008). Actualmente, el cultivo tiene importancia agrícola en Ecuador, Perú y Bolivia (Mercado, 2018). El cual ha disminuido por falta de difusión de las formas de uso y su sabor amargo, a pesar de su gran valor nutritivo y resistencia a factores climáticos adversos en las zonas de cultivo (Jacobsen y Mujica, 2008). En Perú, se cultiva principalmente alrededor del lago Titicaca, desde Ilave hasta la frontera con Bolivia en Desaguadero (Jacobsen y Mujica, 2008). Así como en Cajamarca, Cuzco, Huancayo, Cajamarca y Ayacucho (Jacobsen y Mujica, 2006). Por otro lado, en la

Unión Europea se viene desarrollando el proyecto de investigación LIBBIO para aprovechar las variedades de tarwi adaptadas a estas zonas. Los países que conforman este proyecto son Portugal, España, Rumania, Austria, Países Bajos, Islandia, Alemania y Grecia (van Haren y Arnason, 2017).

### 2.1.3 Descripción botánica

El tarwi es un arbusto anual o bienal de hábito erecto. Presenta un tallo principal o ramificado de 1-2.5 m de altura a veces ligeramente leñosos en la base. Sus hojas son palmadas digitadas con 5-9 foliolos por hoja. La inflorescencia es un racimo terminal de 10 cm, pudiendo llegar hasta 40 cm de alto, que presenta de 1-8 flores por verticilo, el color común es azul brillante con una franja central blanca y una mancha amarilla brillante que cambia a naranja cuando empieza a marchitarse, mientras que la franja central se oscurece hasta un azul púrpura. Contiene, normalmente de 5-8 vainas oblongas por infrutescencia, las cuales miden 52-120 mm de largo, 7-20 mm de ancho y 6-9 mm de espesor, que presentan normalmente de 3-7 semillas indehiscentes. Las semillas generalmente son oblongas, pero pueden ser elípticas o ligeramente rómbicas de 8-11 mm de largo, 6-9 mm de ancho y 4-6 mm de ancho, de un color blanco-crema, marrón, gris claro, negro o una combinación de estos (Eastwood & Hughes, 2018).

### 2.1.4 Diversidad genética

*Lupinus mutabilis* es una especie autógama, con flores hermafroditas, pero con un nivel predominante de alogamia (Blanco-Galdós, 1982). Se han reportado diferentes rangos de fertilización cruzada por insectos, fluctuando entre 4 a 11% (Blanco-Galdos, 1982). Mientras, que Camarena y colaboradores (2012) reportan entre 5 a 10 % de polinización cruzada.

Existe una gran variabilidad en cuanto a la arquitectura de la planta, adaptación a suelos, precipitación, temperatura, altitud y periodo vegetativo; asimismo varía en precocidad, contenido de proteínas, aceite, alcaloides, rendimiento, tolerancia a enfermedades y plagas. Así como en el color del grano, planta y flor. En ese sentido, el trabajo de Chirinos-Arias y colaboradores (2015), usando marcadores ISSR (inter secuencias simples repetidas), comprueba su alta variabilidad genética. La región que comprende Perú, Ecuador y Bolivia es donde se encuentra mayor variabilidad genética (Mujica, 1990).

Algunas de las especies de *Lupinus* andino, incluida *Lupinus mutabilis* tienen un nivel de ploidia de 2n=48 (Gladstones, 1998). Además, esta especie pertenece a un grupo de plantas

paleoploides que presenta un número básico de cromosomas  $x=6$  (Naganowska *et al.*, 2003), probablemente producto de alo y autopoliploidización, junto con otros reordenamientos cromosómicos, como el caso de *L. angustifolius*, ocasionando duplicaciones en regiones de su genoma (Kroc *et al.*, 2014). Por otro lado, el estudio realizado por Guilengue y colaboradores (2019) asigna en promedio un tamaño de genoma (2C) de 2.05 pg (2001.2 Mbp) para *L. mutabilis* con variaciones que revelan diferencias significativas entre accesiones. Asimismo, concluyen que no existe relación entre el tamaño del genoma y los rasgos morfológicos.

#### 2.1.5 Importancia de *Lupinus mutabilis* Sweet

En el Perú se cultivan aproximadamente 10 628 hectáreas de tarwi, con un rendimiento promedio de 1335kg/ha (Mercado *et al.*, 2018). El crecimiento acumulado del 2010 al 2013 fue de 15%. Lo que se ha visto reflejado en una lenta evolución de su industria. (INEI, 2017). Las regiones que más han contribuido a su producción son La Libertad, Cusco y Puno, con alrededor del 78% de la producción (MINAGRI, 2017).

Por otro lado, en Perú persiste una alta tasa de desnutrición y anemia infantil (Flores Bendezú *et al.*, 2015). En ese sentido, el tarwi se presenta como una alternativa de lucha, pues su semilla tiene un alto contenido de proteínas (41-51%) y aceites (14-24%) (Gross *et al.*, 1988), comparable a la soya. Incluso, denominándola como “soya andina” (Jacobsen & Mujica, 2006; Tapia, 2015). Asimismo, se presenta como una alternativa a la proteína animal, posibilitando el cambio de las dietas basadas en carne (Wellesley *et al.*, 2015). Además, la semilla presenta la mayoría de aminoácidos esenciales, fibra dietética y ácidos grasos (Carvajal-Larenas *et al.*, 2016).

Una de las proteínas que presenta la semilla de tarwi es la conlutina (Carvajal-Larenas *et al.*, 2016; Foley *et al.*, 2015; Santos *et al.*, 1997). Esta proteína ha ganado interés, desde que se ha demostrado sus beneficios en la salud cardiovascular, el control de la resistencia a la insulina y la diabetes, así como a las moléculas antiinflamatorias (Belski *et al.*, 2011; Lima-Cabello *et al.*, 2017; Magni *et al.*, 2004). Otra de las proteínas presentes, es la ferritina, la cual fue encontrada en el perfil proteico del lupino realizado por (Strozycki y colaboradores (2007). Esto ha aumentado el valor nutricional del tarwi.

El tarwi, al ser una leguminosa, suministra nitrógeno a los agroecosistemas gracias a su capacidad de fijar nitrógeno atmosférico en simbiosis con los rizobios (Smith *et al.*, 2007), estimulando la productividad de los cultivos en rotación. (Lima-Cabello *et al.*, 2017)

Rodríguez *et al.*, (2016) mencionan que, en cuanto a contribución en la fijación de nitrógeno en el suelo, el tarwi fija un equivalente de 350 a 750 kilos de urea por hectárea. Además, puede desarrollarse en tierras secas (Angus *et al.* 2001; Entz *et al.* 2001; Lefroy *et al.* 2001).

## 2.2 EXPRESIÓN GENÉTICA

### 2.2.1 Cuantificación de expresión de genes

Identificar que genes se expresan y en qué niveles es esencial para entender la dinámica de la expresión genética y los diferentes procesos biológicos de forma integral (Zhang *et al.*, 2020). La habilidad para cuantificar los niveles de expresión específico de un gen es un tema central en la investigación de la función de un gen (Liu *et al.*, 2016). Los métodos más usados para medir cuantitativamente los niveles de expresión genética son el Nothern Blot, hibridación *in situ* (Parker & Barnes, 1999), la reacción en cadena de la polimerasa de transcripción inversa (RT-PCR) (Weis *et al.* 1992), microarrays (Bucher, 1999) y RNA-seq (Wang *et al.*, 2009).

Actualmente, la técnica de secuenciamiento de próxima generación, ARN-seq (secuenciación de ARN) se viene usando en la medición de los niveles de expresión de ARN. Esta técnica de secuenciamiento del transcriptoma (Wang *et al.*, 2009) permite determinar y cuantificar los niveles de expresión de genes bajo diferentes condiciones ambientales, en respuesta a diferentes estímulos, estados de desarrollo y comparación de distintos tratamientos de un organismo, órgano o tejido (Ekblom y Galindo, 2011; Van verk *et al.*, 2013). La alta frecuencia de su uso en diferentes experimentos, la convierte en una herramienta para encontrar nuevos candidatos a genes de referencia. Sobre todo, porque no solo se limita a especies modelos (Carmona *et al.*, 2016).

### 2.2.2 Metodologías usadas en la identificación de genes de referencia

Existen diferentes métodos para la identificación de genes de referencia. Entre ellos, RT-PCR, es utilizada por muchos años para la identificación de estos genes (Dheda *et al.*, 2004; Ullmannová & Haskovec, 2003; Wu *et al.*, 2000; Gerard *et al.*, 2000; Savli *et al.*, 2003). Esta técnica es una variante de la PCR, donde se usa la enzima transcriptasa reversa para obtener ADNc a partir de ARN, para finalmente amplificar el ADNc por PCR tradicional o en tiempo real (Bustin & Nolan, 2009).

El análisis secuencial de expresión genética (SAGE), es una técnica de perfil de secuencia genética (Hu, 2006) usada para obtener un análisis completo de los patrones de expresión

genética de un conjunto de datos. En la que se analiza la data registrada para luego evaluar la especificidad de los genes de referencia por PCR cuantitativa (qPCR) y analizar los resultados (Chari *et al.* 2010).

El análisis microarrays es una técnica muy utilizada que ha permitido para identificar genes de referencia cuando la especie en estudio tiene un genoma de referencia, como *Arabidopsis thaliana* (Chia *et al.*, 2010; Heng *et al.*, 2011; Too y Ling, 2011). Se ha descubierto que, para algunos casos, los datos de microarrays normalizados tradicionalmente son más estables que los encontrados por PCR cuantitativa de transcripción inversa (RT-qPCR) y qPCR (Maccoux *et al.*, 2007; Gur-Dedeoglu *et al.*, 2009).

Los métodos de análisis de varianza (ANOVA) unidireccional también han sido utilizados en algunos estudios de expresión genética, logrando identificar genes de referencia (Fu *et al.* 2010).

La herramienta de secuenciamiento ARN-seq, preferida actualmente sobre el análisis microarray, pues es un método que permite evaluar los cambios en expresión global (Wang *et al.*, 2009). Entre otras ventajas, produce valores de expresión que se correlacionan mejor con los resultados obtenidos por qPCR (Wang *et al.*, 2009) y los niveles de proteínas (Fu *et al.*, 2009).

### 2.2.3 Genes de referencia

Las técnicas de cuantificación de expresión genética necesitan de una normalización del nivel de expresión de ARN. Es así que comúnmente se viene utilizando un ARN de referencia para relacionar la cantidad de ARN de una especie dada; pues se expresan a un nivel constante (Caracausi *et al.* 2017; Eisenberg y Levanon, 2013).

Los genes de referencia son genes que cumplen el rol de control de reacción interno con secuencias diferentes al gen en estudio (Kozera & Rapacz, 2013) y que presenta un nivel de expresión que no se ve afectado por factores experimentales (Chervoneva *et al.*, 2010). Según Caracausi *et al.* (2017) el gen de referencia ideal para un estudio de expresión genética “debe expresarse a un nivel medio-alto para una fácil detección, debe expresarse a un nivel constante/ estable en diferentes tipos de células y dentro del mismo tipo de célula sometidas a diferentes tratamientos, y debe mantener estas características en los-diferentes tejidos del organismo”. Estos requisitos maximizaran su utilidad en estudios de expresión. Mientras que Kozera y Rapacz (2013) indican, que “debe mostrar una variabilidad mínima en su expresión

entre los tejidos y los estados fisiológicos del organismo; así como demostrar la variabilidad resultante de las imperfecciones de la tecnología utilizada y los procedimientos preparatorios”; ya que expondrá cualquier tipo de variación que no tenga que ver con la generada por la cantidad de material genético.

Desde el punto de vista biológico, los requisitos teóricos de un gen de referencia ideal se asemejan a lo de los genes housekeeping, los cuales se expresan constitutivamente (Caracausi *et al.* 2017). Los genes housekeeping son genes requeridos para el mantenimiento de las funciones básicas de la célula, como división celular, crecimiento y desarrollo, apoptosis, procesos fisiológicos, metabolismo, entre otros (Joseph *et al.*, 2018). Por su naturaleza, se espera que se expresen en todas las células de un organismo en condiciones normales, independientemente del tipo de tejido, etapa de desarrollo, estado de ciclo o la condición externa (Eisenberg y Levanon, 2013).

Es así que los primeros genes de referencia usados fueron genes housekeeping, pues codificaban proteínas involucradas en funciones estructurales y en el metabolismo celular básico (Carmona *et al.*, 2016). Actualmente, siguen siendo usados ampliamente como controles internos para estudios de expresión genética (Thellin. *et al.*, 1999; Robinson *et al.*, 2010; Vandesompele *et al.*, 2002). Sin embargo, se sabe que no todos son apropiados para su uso (Rocha-Martin *et al.*, 2012; Wang *et al.*, 2016) por lo que debe ser validados para su uso como genes de referencia.

#### 2.2.4 Genes de referencia en plantas

En la actualidad, se han realizado numerosos estudios de evaluación y validación de genes de referencia para muchas especies de plantas, tales como *Arabidopsis thaliana* (Czechowski *et al.*, 2005), papa (Nicot *et al.*, 2005), arroz (Kim *et al.*, 2003), tomate (Expósito-Rodríguez *et al.*, 2008), soja (Jian *et al.*, 2008), caña de azúcar (Iskandar *et al.*, 2004), maní (Jiang *et al.*, 2011), tabaco (Schmidt y Delaney, 2010). Esto, como resultado de un aumento en la data disponible y el desarrollo de varios enfoques matemáticos que han permitido el estudio de la expresión génica (Kozera y Rapacz, 2013).

Los genes housekeeping más usados como genes de referencia de manera tradicional son gliceraldehido-3-fosfato deshidrogenasa (*GAPDH*), factor de alargamiento-1 $\alpha$  (*EF-1 $\alpha$* ), poliubiquitina (*UBQ*), actina,  $\alpha$ -tubulina,  $\beta$ -tubulina, 18S *rRNA*, 25S *ARNr*, enzima conjugadora de ubiquitina E2 (*UBC*), factor de iniciación eucariota 1 (*EIF1*) y factores de transcripción eucariota. (Kozera & Rapacz, 2013). Los que han sido usados indistintamente

para muchas especies; sin embargo, no siempre han presentado una expresión constante (Wang *et al.*, 2014). (Ver ANEXO 1)

#### 2.2.5 Importancia de genes de referencia

La importancia de los genes de referencia radica en la necesidad de su uso en experimentos que involucran comparación de la expresión de un gen en estudio por la variación de una condición (Joseph *et al.*, 2018). Tales como, factor de estrés biótico y abiótico, etapas de desarrollo, tratamiento, enfermedad, entre otros (Reverter *et al.*, 2008). El análisis de la expresión un gen en estudio implica una serie de procesos, los que son propensos a variaciones de muestra, preparación, cuantificación y manipulación (Pfaffl 2004; Guénin *et al.* 2009). Estas variaciones pueden superarse normalizando los niveles de ARNm del gen en estudio con el nivel del ARNm del gen de referencia. Lo que permitirá comparar distintos experimentos realizados en el mismo laboratorio (Bustin, 2002) y así poder obtener resultados confiables (Chari *et al.*, 2010). Por lo tanto, es indispensable identificar un gen de referencia adecuado para cualquier análisis de expresión genética.

#### 2.2.6 Inestabilidad de los genes de referencia

Existen diferentes estudios que cuestionan la confiabilidad de algunos genes como genes de referencia (Caradec *et al.*, 2010). Pues, presentan niveles de expresión genética que pueden variar tanto por sus funciones celulares y por las condiciones experimentales (Greer *et al.*, 2010)

Ke y colaboradores (2000) indican que algunos genes de referencia son muy susceptibles a cambios ambientales, como variaciones en la temperatura, estrés y otros cambios. Por lo que, un gen de referencia usado para un experimento puede no ser apto para otro, así sea para el mismo organismo (Atkinson *et al.*, 2013; Lacroix & Citovsky, 2013; H. Y. Wu *et al.*, 2014; T. Wu *et al.*, 2014; Xin *et al.*, 2013). Incluso podría mostrar variabilidad en diferentes órganos de la planta (Wang *et al.*, 2013) o en distintas etapas de su desarrollo (Expósito-Rodríguez *et al.*, 2008), o tener una expresión uniforme en distintos órganos de una misma planta, pero en determinadas etapas de desarrollo (Coker & Davies, 2003; Expósito-Rodríguez *et al.*, 2008).

Por lo tanto, es indispensable que los resultados experimentales que involucran el uso de genes de referencia deban validarse (Radonić *et al.*, 2004). Es así, que se han desarrollado distintos métodos para verificar y seleccionar genes de referencia. Métodos como, Bestkeeper (Pfaffl *et al.*, 2004), geNorm (Vandesompele *et al.*, 2002) y NormFinder

(Andersen *et al.*, 2004). De manera, que los experimentos que no han realizado un proceso adecuado de selección, deben ser validados, antes de su uso en nuevos experimentos (Dundas & Ling, 2012)

## **III. MATERIALES Y MÉTODOS**

### **3.1 MATERIALES**

#### **3.1.1 Bibliotecas**

- 6 bibliotecas del transcriptoma de la parte vegetativa de *Lupinus mutabilis* sometidas a estrés hídrico.
- 6 bibliotecas del transcriptoma de brotes florales en desarrollo de *Lupinus mutabilis*.

#### **3.1.2 Material vegetal**

- Semillas de *Lupinus mutabilis* var. Andenes

#### **3.1.3 Reactivos y soluciones**

- Agarosa
- Agua libre de nucleasas
- Agua destilada
- Bromuro de etidio
- Buffer TAE y TE
- Cloroformo
- Etanol puro
- Isopropanol
- Kit de cDNA
- Kit de ADNasa
- Nitrógeno líquido
- Primers
- TRI-REAGENT

### 3.1.4 Sustratos y nutrientes

- Arena
- Vermiculita
- Solución nutritiva La Molina
- Murashige y Skoog (MSP01)

### 3.1.5 Equipos de laboratorio e instrumentos

- Autoclave
- Balanza analítica
- Bisturí
- Cámara de electroforesis
- Congeladora -80°C, -20°C
- Fuente de poder
- Macetas
- Matraz Erlenmeyer (PIREX)
- Microcentrífuga
- Micropipetas 1-2, 20, 200 y 1 000 ul
- Microtubos (EPPENDORF) 2ml
- Morteros
- Nanofotómetro (IMPLEN NP80)
- Pilones
- Pinza
- Termociclador (BIORAD T100)
- Termomixer (EPPENDORF)
- Transiluminador UV
- Vórtex (HEIDOLPH REAXtop)

## 3.2 MÉTODOS

### 3.2.1 Etapa *in silico*

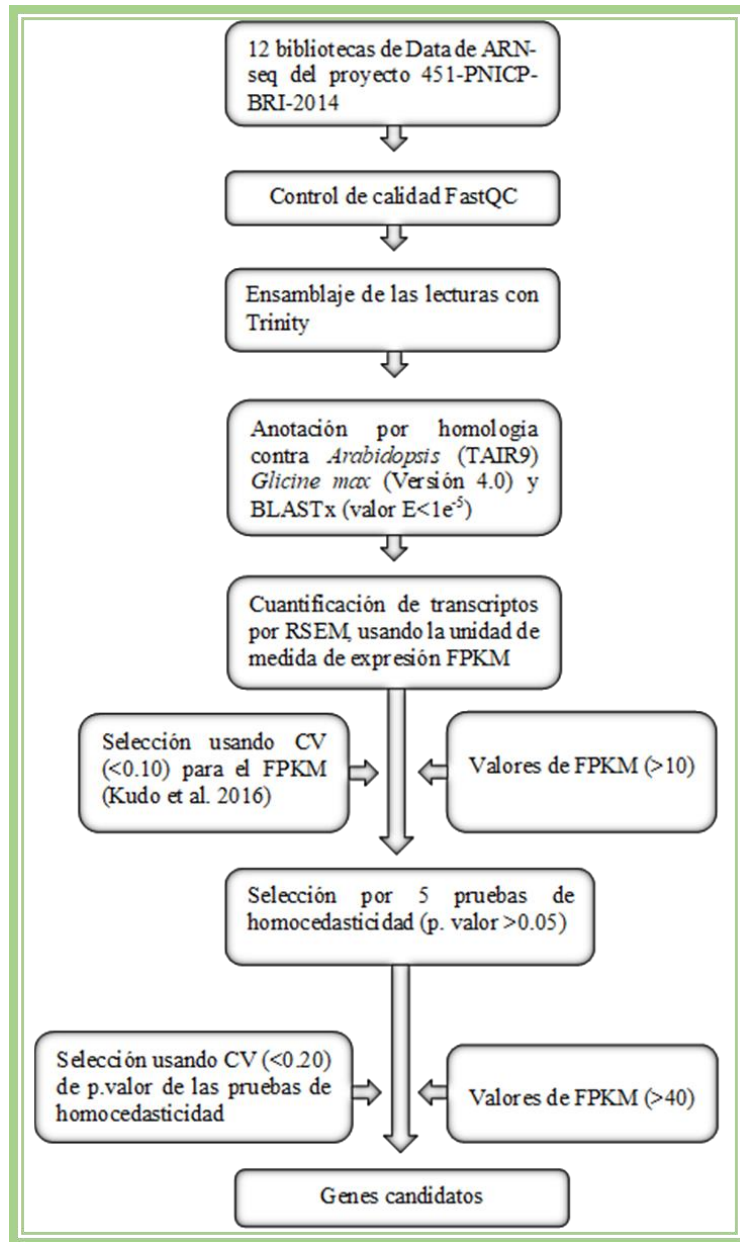
#### 3.2.1.1 Selección de los genes candidatos de referencia

Para la selección de los genes de referencia candidatos se utilizó 12 bibliotecas de data ARN-seq provenientes del proyecto 451-PNICP-BRI-2014 del transcriptoma de la parte vegetativa bajo estrés hídrico (Hidalgo Rodríguez, 2021) y de brotes florales en desarrollo (Ramos Otiniano, 2021) de *Lupinus mutabilis* S. El secuenciamiento de ambos transcriptomas se hizo en conjunto con un total de 290 466 840 millones y 308 012 510 millones de reads iniciales, respectivamente para cada experimento. Solo se consideraron las lecturas con puntuación phred  $\geq 30$ , sin adaptador y con una longitud  $\geq 20$  pb.

Las bibliotecas pasaron por un control de calidad por el programa FastQC, en el que se eliminó las muestras de baja calidad y de bajo porcentaje de alineamiento. Luego, se realizó el ensamblaje de lecturas en Trinity y la anotación por homología contra la base de datos genéticos de Arabidopsis (TAIR9, <http://www.arabidopsis.org/>), *Glycine max* (Version 4.0, [ftp://ftp.jgi-psf.org/pub/JGI\\_data/phyto-zome/v4.0/Gmax](ftp://ftp.jgi-psf.org/pub/JGI_data/phyto-zome/v4.0/Gmax)), utilizando el algoritmo BLASTX con un valor típico de corte de valor E  $< 1e^{-5}$  en las bases de datos de NCBI, incluida la no redundante (NR). Seguidamente, se realizó la cuantificación de los transcritos por RSEM utilizando la unidad de medida de expresión FPKM (fragmentos por kilobase de transcritos por millón de fragmentos alineados).

Luego que cada transcríto contó con un valor único de FPKM, se utilizó el valor de cada una de las 12 entradas de cada biblioteca para seleccionar los genes candidatos. Es así que para el primer criterio de selección, se usó el coeficiente de variación (CV) como un índice para evaluar la variación en la expresión de los genes, seleccionando aquellos genes con CV  $< 0.10$  (Kudo *et al.*, 2016) y con un valor promedio de FPKM de gen superior a 10. Para el segundo criterio de selección, se usaron 5 pruebas de homogeneidad de varianza: Levene, Barlett, F-test, Fligner-Kligner y Hartley, seleccionando aquellos genes que para cada una de las pruebas tuvieron un p. valor  $> 0.05$ . Como requisito previo, se usaron las pruebas de Shapiro-Wilk y de Kolmogorov-Smirnov, (Yim *et al.*, 2015) para determinar si las variaciones en la expresión génica siguen una distribución normal o si están sesgadas. En el tercer criterio de selección se utilizó el CV de los valores p.valor de cada una de las pruebas de homogeneidad de varianza, seleccionando los que tuvieron un CV  $< 0.20$  y con un valor promedio de FPKM superior a 40. Los genes que finalmente pasaron por estos 3 criterios fueron los candidatos

a genes de referencia para los que se diseñaron primers específicos para su validación por RT-PCR en hoja, tallo y raíz.



**Figura 1:** Diagrama de flujo del procedimiento de selección de los candidatos de genes de referencia

### 3.2.1.2 Pruebas de homocedasticidad

#### a. Prueba de F-test

Se utiliza para probar si las varianzas de dos muestras independientes son iguales. La distribución se forma por la división de dos variables chi-cuadrado independientes divididas por sus grados de libertad respectivamente (García, 2017).

$$F = \frac{s_1^2}{s_2^2},$$

$$F = \frac{(m-1) \sum_{i=1}^n (X_i - \bar{X})^2}{(n-1) \sum_{i=1}^m (Y_i - \bar{Y})^2}.$$

Donde  $s^2_1 > s^2_2$  y tiene una distribución F con  $m-1$  y  $n-1$  grados de libertad bajo  $H_0$ . La prueba rechaza la hipótesis nula si:

$$F > F_{\alpha, \frac{m-1}{2}, N_1-1, N_2-1}$$

### b. Prueba de Hartley $F_{max}$

Usada para el análisis de varianza para verificar si dos grupos diferentes tienen una varianza similar. La prueba calcula la razón entre la varianza más grande de los grupos y la varianza más pequeña (García, 2017).

$$F_{max} = \frac{\max S_i^2}{\min S_j^2}$$

Se rechaza si  $H_0$  si  $F_{max} > F_{\alpha, m-1, n-1}$ , donde se debe tomar en cuenta los parámetros de distribución:  $m$ ; grados de libertad del numerador,  $v = n-1$ ; grado de libertad en el denominador y  $k$ ; número de muestras.

### c. Prueba de Levene

La prueba de Levene ofrece una alternativa más robusta, ya que es poco sensible a la desviación de la normalidad. Esta prueba rechaza la hipótesis de que las varianzas son iguales con un nivel de significancia  $\alpha$ , si  $W > F_{\alpha, k-1, N-k}$ , donde;  $k-1$ : grados de libertad en el numerador y  $N-k$ : grados de libertad en el denominador a un nivel de significancia  $\alpha$  y  $Z_{ij} = |X_{ij} - \bar{X}_{i.}|$ , siendo  $\bar{X}_{i.}$  es la medio del  $i$ -ésimo subgrupo.

$$W = \frac{(N - k) \sum_{i=1}^k n_i (\bar{Z}_{i\cdot} - \bar{Z}_{..})^2}{(k - 1) \sum_{i=1}^k \sum_{j=1}^{n_i} (Z_{ij} - \bar{Z}_{i\cdot})^2}$$

#### **d. Prueba de Barlett**

Introducida por Bartlett en 1937 es una de las pruebas que se utiliza con más frecuencia para probar la homogeneidad de las varianzas (Conover *et al.*, 1981). Esta prueba no requiere que los tamaños de las muestras por tratamiento sean iguales y sensible a desviaciones del supuesto de normalidad.

#### **e. Prueba de Fligner-Kligner**

Introducida por Fligner-Killeen (1976) y modificada por Conover *et al.* (1981), para probar homogeneidad de varianzas. Esta prueba es menos sensible a desviaciones del supuesto de normalidad.

### 3.2.2 Etapa experimental

#### 3.2.2.1 Crecimiento de la planta y cosecha

Se trabajó con las semillas de *Lupinus mutabilis* var. Andenes del Laboratorio de Biotecnología del PIPS de cereales y granos nativos. Las semillas fueron desinfectadas por 10 minutos en una solución de Benomyl (1 g.L-1) y germinadas en placas Petri con agua destilada. Las plántulas fueron sembradas bajo condiciones de invernadero usando una mezcla de arena con vermiculita en proporción 2:1. La mitad de las plántulas fueron regadas con solución hidropónica La Molina y la otra mitad con la solución de nutrientes basales de Murashige y Skoog (MSP01). Se cosecharon 3 tipos de órganos: raíz, tallo y hoja y se tomaron 3 réplicas para cada órgano.

#### 3.2.2.2 Extracción de ARN y síntesis de ADNc

El ARN total se aislará con TRI REAGENT (Molecular Research Center, Inc.) de acuerdo con las instrucciones del fabricante. Luego se lo tratará con DNAsa I (Fermentas) para eliminar la contaminación del ADN genómico. Se sintetizó cDNA con oligo dT (Invitrogen) usando el sistema de síntesis SuperScript® III First-Strand (Invitrogen) de acuerdo con las instrucciones del fabricante

### 3.2.2.3 Diseño de primers

Se diseñaron a partir de los genes seleccionados de las 12 bibliotecas previamente secuenciadas y su diseño se realizó con el software Primer3 (<http://bioinfo.ut.ee/primer3-0.4.0/>), teniendo en cuenta las siguientes características: una temperatura de 58°- 60°C, una longitud de 20-24 pb, de 40-60 % GC y una longitud del amplificado de 100 a 150 pb. Además, se utilizó oligo-calculator (<http://biotools.nubic.northwestern.edu/OligoCalc.html>) para evaluar autodimerización, formación de horquilla y autoanillamiento.

### 3.2.2.4 Validación del nivel de expresión del gen de referencia candidato

La RT-PCR semicuantitativa se llevó a cabo con los primers diseñados para cada uno de los genes candidatos con los cDNAs de hoja, tallo y raíz. Los parámetros de RT-PCR consistieron en un preciclo de 94°C durante 2 min seguido de 33 ciclos que consistieron en 94°C durante 30 s, x°C durante 1 min y 72°C durante 40 s (x es el Tm de los primers en el Anexo 3). Luego se realizó una extensión final a 72°C durante 5 minutos y una temperatura de conservación de 4°C. Los cambios de expresión fueron determinados midiendo las intensidades de la banda en un gel de agarosa con el software ImageJ (<http://rsb.info.nih.gov/ij/>) del National Institute of Health (USA) (Zolla *et al.*, 2013).

## **IV. RESULTADOS Y DISCUSIONES**

### **4.1 Análisis y selección de los transcriptos**

Para el primer criterio de selección de los genes de referencia candidatos, se empleó un coeficiente de variación ( $CV < 0.10$ ) y un valor  $FPKM > 10$ . El valor de  $FPKM$  es una estimación aceptada comúnmente para el nivel de expresión en unigenes (Mortazavi *et al.*, 2008). Flegel *et al.* (2013) indican una escala de equivalencia entre  $FPKM$  y el nivel expresión génica, en tal sentido 1  $FPKM$  corresponde a una expresión baja, 10  $FPKM$  a una expresión moderada y 100  $FPKM$  a una expresión alta. Por su parte, Kudo *et al.*, (2016) refieren que los valores de  $FPKM$  deben estar por encima de 10. Pues este valor representó el límite inferior del nivel de expresión génica de al menos 15 transcriptos usados como genes de referencia. El coeficiente de variación ( $CV$ ) es un estadístico empleado en el análisis de expresión de genes (Novak *et al.* 2002) y su variación a partir del valor  $FPKM$  (de Jonge *et al.*, 2007; Zhuang *et al.*, 2015). Czechowski *et al.* (2005) y Narsai *et al.* (2010) sugieren que genes con valores de  $CV$  bajos se expresan de forma estable y que el valor de corte debe ser de al menos 0.3. Finalmente, se utilizó el criterio de Kudo *et al.* (2016), por contar con solo dos experimentos de ARN-seq. De esta manera, se pudo seleccionar 297 genes candidatos (Tabla Anexo 1, Figura 1)

Para reducir el número de genes candidatos se empleó un segundo criterio de selección. Donde se usaron pruebas de homocedasticidad para evaluar la variabilidad en la expresión de los genes. Los valores de expresión genética son específicos de cada gen por lo que se espera se cumplan los supuestos de normalidad y homogeneidad de varianzas (Huang *et al.*, 2004). Sin embargo, Simmons y Peddada (2007) indican que la expresión génica no es homocedástica a lo largo del tiempo. En tal sentido es necesario evaluar la homocedasticidad al analizar los datos de expresión génica. Así como lo ha utilizado Arun *et al.* (2015) para evaluar genes de referencia seleccionados en *Bicyclus anynana*. En ese sentido, se decidió trabajar con 5 pruebas de homogeneidad de varianzas: Levene, Barlett, F-test, Fligner-Kligner y Hartley. Las mismas que presentan diferentes grados de robustez a la desviación de los supuestos de normalidad (Correa *et al.*, 2006), debido a la dispersión de los datos. El

análisis de la normalidad de los datos fue un requisito previo al análisis de la homocedasticidad. Se utilizaron las pruebas de Shapiro-Wilk y de Kolmogorov-Smirnov, como lo propuso Yim *et al.* (2015), al ser una forma de determinar si las variaciones en la expresión génica siguen una distribución normal o si están sesgadas. Esto permitió seleccionar 193 genes candidatos (Tabla 1), los que presentaron un p.valor mayor a 0.05 ( $\alpha$ ) para cada una de las pruebas realizadas.

**Tabla 1:** Genes de referencia candidatos seleccionados mediante 5 pruebas de homocedasticidad (p.valor >0.05)

Gene_id	Pruebas de normalidad		Pruebas de homocedasticidad				
	Shapiro-Wilk	Kolmogorov-Smirnov	Levene	Barlett	F-test	Fligner-Kligner	Hartley
TRINITY_DN10129_c0_g1	0.247	0.205	0.197	0.055	0.054	0.335	0.054
TRINITY_DN12076_c0_g1	0.811	0.866	0.957	0.796	0.796	0.989	0.796
TRINITY_DN12386_c0_g1	0.428	0.72	0.154	0.546	0.547	0.128	0.547
TRINITY_DN12694_c0_g1	0.862	0.541	0.357	0.642	0.643	0.293	0.643
TRINITY_DN13672_c0_g1	0.389	0.564	0.647	0.523	0.524	0.755	0.524
TRINITY_DN13980_c0_g1	0.253	0.566	0.676	0.407	0.407	0.877	0.407
TRINITY_DN15552_c0_g1	0.429	0.618	0.551	0.715	0.716	0.174	0.716
TRINITY_DN16357_c0_g1	0.921	0.828	0.819	0.633	0.633	0.86	0.633
TRINITY_DN16764_c0_g1	0.881	0.881	0.428	0.437	0.438	0.339	0.438
TRINITY_DN17114_c0_g1	0.195	0.123	0.288	0.661	0.662	0.495	0.662
TRINITY_DN17322_c0_g3	0.466	0.623	0.415	0.679	0.68	0.782	0.68
TRINITY_DN17590_c0_g1	0.422	0.805	0.072	0.226	0.227	0.254	0.227
TRINITY_DN18240_c0_g1	0.378	0.578	0.702	0.92	0.921	0.662	0.921
TRINITY_DN18572_c0_g1	0.216	0.584	0.138	0.288	0.288	0.23	0.288
TRINITY_DN18747_c0_g2	0.248	0.574	0.07	0.072	0.072	0.854	0.072
TRINITY_DN18802_c0_g1	0.201	0.165	0.845	0.866	0.867	0.878	0.867
TRINITY_DN18893_c0_g2	0.541	0.201	0.956	0.845	0.845	0.753	0.845
TRINITY_DN18909_c0_g1	0.997	0.91	0.705	0.832	0.833	0.557	0.833
TRINITY_DN19015_c5_g1	0.403	0.424	0.105	0.274	0.275	0.199	0.275
TRINITY_DN19121_c0_g1	0.485	0.504	0.158	0.213	0.214	0.1	0.214
TRINITY_DN19139_c0_g2	0.69	0.72	0.372	0.728	0.728	0.615	0.728
TRINITY_DN19209_c0_g2	0.327	0.765	0.492	0.649	0.65	0.707	0.65
TRINITY_DN19543_c1_g1	0.483	0.464	0.235	0.387	0.388	0.321	0.388
TRINITY_DN19576_c0_g2	0.541	0.934	0.089	0.283	0.283	0.96	0.283
TRINITY_DN19583_c1_g1	0.11	0.441	0.323	0.696	0.696	0.254	0.696
TRINITY_DN19598_c0_g1	0.111	0.108	0.97	0.94	0.94	0.686	0.94
TRINITY_DN19603_c0_g1	0.566	0.871	0.674	0.749	0.749	0.599	0.749
TRINITY_DN19689_c0_g1	0.315	0.605	0.709	0.662	0.663	0.782	0.663
TRINITY_DN19920_c0_g1	0.375	0.205	0.268	0.223	0.223	0.297	0.223
TRINITY_DN19971_c4_g2	0.341	0.228	0.225	0.459	0.459	0.23	0.459
TRINITY_DN19997_c1_g1	0.408	0.347	0.342	0.559	0.559	0.755	0.559
TRINITY_DN20060_c2_g1	0.908	0.529	0.958	0.776	0.776	0.945	0.776
TRINITY_DN20247_c5_g3	0.991	0.996	0.653	0.542	0.543	0.737	0.543
TRINITY_DN20251_c0_g2	0.685	0.377	0.728	0.548	0.548	0.878	0.548
TRINITY_DN20257_c0_g1	0.382	0.155	0.324	0.523	0.524	0.151	0.524
TRINITY_DN20346_c0_g4	0.21	0.243	0.133	0.192	0.192	0.131	0.192

Continuación...

TRINITY_DN20389_c0_g1	0.657	0.61	0.212	0.55	0.55	0.286	0.55
TRINITY_DN20613_c0_g8	0.923	0.518	0.367	0.615	0.616	0.837	0.616
TRINITY_DN20894_c2_g2	0.288	0.128	0.15	0.333	0.333	0.699	0.333
TRINITY_DN20901_c0_g3	0.339	0.265	0.598	0.972	0.972	0.752	0.972
TRINITY_DN20921_c0_g3	0.508	0.5	0.903	0.82	0.82	0.809	0.82
TRINITY_DN20956_c1_g3	0.343	0.24	0.229	0.279	0.279	0.18	0.279
TRINITY_DN20971_c0_g4	0.611	0.712	0.414	0.368	0.369	0.335	0.369
TRINITY_DN21010_c0_g1	0.572	0.76	0.253	0.213	0.213	0.265	0.213
TRINITY_DN21101_c3_g2	0.144	0.434	0.252	0.205	0.205	0.804	0.205
TRINITY_DN21122_c5_g4	0.594	0.085	0.494	0.49	0.49	0.471	0.49
TRINITY_DN21232_c1_g2	0.177	0.13	0.578	0.342	0.343	0.744	0.343
TRINITY_DN21304_c0_g1	0.814	0.436	0.454	0.817	0.817	0.339	0.817
TRINITY_DN21377_c6_g1	0.628	0.4	0.506	0.407	0.408	0.567	0.408
TRINITY_DN21405_c0_g1	0.351	0.177	0.941	0.652	0.652	0.661	0.652
TRINITY_DN21407_c0_g1	0.226	0.187	0.944	0.804	0.804	0.888	0.804
TRINITY_DN21421_c1_g1	0.166	0.301	0.184	0.06	0.06	0.174	0.06
TRINITY_DN21460_c0_g2	0.363	0.363	0.117	0.361	0.362	0.205	0.362
TRINITY_DN21484_c1_g1	0.677	0.514	0.154	0.155	0.155	0.119	0.155
TRINITY_DN21524_c0_g9	0.117	0.325	0.417	0.278	0.279	0.234	0.279
TRINITY_DN21591_c0_g1	0.8	0.976	0.803	0.841	0.841	0.687	0.842
TRINITY_DN21613_c1_g1	0.109	0.159	0.527	0.662	0.662	0.339	0.663
TRINITY_DN21660_c0_g1	0.807	0.909	0.308	0.291	0.292	0.61	0.292
TRINITY_DN21701_c1_g3	0.114	0.495	0.283	0.414	0.414	0.644	0.415
TRINITY_DN21761_c0_g1	0.359	0.5	0.169	0.191	0.191	0.084	0.191
TRINITY_DN21805_c0_g1	0.285	0.343	0.706	0.728	0.729	0.635	0.729
TRINITY_DN21929_c1_g2	0.707	0.853	0.11	0.076	0.076	0.226	0.076
TRINITY_DN21932_c3_g1	0.496	0.421	0.119	0.286	0.287	0.191	0.287
TRINITY_DN21995_c0_g1	0.594	0.557	0.796	0.707	0.707	0.662	0.707
TRINITY_DN22089_c1_g1	0.505	0.85	0.879	0.916	0.916	0.905	0.916
TRINITY_DN22112_c1_g1	0.776	0.819	0.543	0.563	0.563	0.755	0.564
TRINITY_DN22140_c0_g1	0.869	0.784	0.348	0.605	0.605	0.737	0.605
TRINITY_DN22154_c3_g3	0.298	0.379	0.157	0.358	0.359	0.282	0.359
TRINITY_DN22195_c2_g1	0.618	0.363	0.447	0.581	0.582	0.651	0.582
TRINITY_DN22212_c0_g1	0.332	0.573	0.471	0.562	0.563	0.205	0.563
TRINITY_DN22272_c1_g2	0.162	0.469	0.071	0.388	0.389	0.085	0.389
TRINITY_DN22317_c0_g2	0.298	0.509	0.852	0.99	0.99	0.286	0.99
TRINITY_DN22375_c0_g2	0.926	0.444	0.905	0.968	0.968	0.707	0.968
TRINITY_DN22397_c0_g1	0.659	0.526	0.375	0.434	0.434	0.251	0.434
TRINITY_DN22408_c3_g1	0.774	0.522	0.371	0.754	0.754	0.205	0.754
TRINITY_DN22408_c7_g1	0.488	0.789	0.135	0.414	0.414	0.111	0.414
TRINITY_DN22418_c1_g3	0.25	0.612	0.992	0.792	0.792	0.662	0.792
TRINITY_DN22437_c0_g1	0.19	0.483	0.102	0.095	0.095	0.091	0.095
TRINITY_DN22441_c0_g1	0.703	0.853	0.744	0.862	0.863	0.744	0.863
TRINITY_DN22461_c1_g1	0.476	0.547	0.519	0.587	0.587	0.431	0.587
TRINITY_DN22504_c0_g1	0.593	0.293	0.081	0.37	0.371	0.113	0.371
TRINITY_DN22644_c0_g1	0.144	0.194	0.189	0.317	0.318	0.343	0.318
TRINITY_DN22662_c0_g2	0.325	0.215	0.203	0.464	0.465	0.254	0.465
TRINITY_DN22676_c1_g1	0.303	0.426	0.058	0.224	0.224	0.1	0.224
TRINITY_DN22680_c0_g7	0.64	0.745	0.089	0.376	0.376	0.151	0.376
TRINITY_DN22757_c3_g2	0.88	0.713	0.153	0.27	0.27	0.159	0.27
TRINITY_DN22777_c0_g1	0.373	0.681	0.093	0.356	0.356	0.174	0.356
TRINITY_DN22777_c0_g3	0.361	0.452	0.13	0.437	0.438	0.342	0.438
TRINITY_DN22914_c0_g1	0.299	0.121	0.947	0.762	0.763	0.502	0.763
TRINITY_DN22972_c3_g1	0.999	0.939	0.902	0.837	0.837	0.893	0.837
TRINITY_DN23005_c2_g1	0.468	0.427	0.063	0.326	0.326	0.059	0.327
TRINITY_DN23019_c0_g2	0.914	0.7	0.647	0.813	0.813	0.899	0.813
TRINITY_DN23102_c0_g1	0.596	0.473	0.062	0.252	0.252	0.128	0.252

Continuación...

TRINITY_DN23103_c0_g2	0.427	0.336	0.886	0.829	0.83	0.23	0.83
TRINITY_DN23277_c2_g2	0.617	0.8	0.279	0.479	0.48	0.234	0.48
TRINITY_DN23283_c1_g2	0.823	0.595	0.279	0.331	0.331	0.407	0.331
TRINITY_DN23294_c0_g1	0.53	0.065	0.344	0.629	0.63	0.23	0.63
TRINITY_DN23334_c2_g1	0.269	0.303	0.269	0.438	0.439	0.293	0.439
TRINITY_DN23355_c3_g4	0.671	0.18	0.453	0.594	0.594	0.503	0.594
TRINITY_DN23362_c2_g1	0.908	0.926	0.807	0.707	0.708	0.599	0.708
TRINITY_DN23378_c0_g1	0.366	0.555	0.583	0.44	0.44	0.892	0.44
TRINITY_DN23398_c1_g1	0.155	0.265	0.234	0.424	0.425	0.853	0.425
TRINITY_DN23444_c0_g1	1	0.965	0.342	0.535	0.536	0.202	0.536
TRINITY_DN23507_c0_g1	0.411	0.225	0.645	0.823	0.823	0.557	0.823
TRINITY_DN23518_c0_g1	0.078	0.31	0.1	0.109	0.109	0.365	0.109
TRINITY_DN23558_c5_g2	0.37	0.24	0.403	0.558	0.558	0.645	0.558
TRINITY_DN23577_c1_g1	0.709	0.537	0.816	0.896	0.896	0.919	0.896
TRINITY_DN23617_c1_g1	0.805	0.703	0.92	0.977	0.977	0.945	0.977
TRINITY_DN23622_c2_g1	0.824	0.692	0.475	0.527	0.527	0.251	0.527
TRINITY_DN23647_c0_g1	0.666	0.527	0.214	0.43	0.43	0.234	0.43
TRINITY_DN23654_c0_g1	0.491	0.313	0.188	0.132	0.132	0.286	0.132
TRINITY_DN23657_c1_g1	0.665	0.085	0.173	0.122	0.121	0.189	0.121
TRINITY_DN23713_c3_g1	0.085	0.213	0.069	0.24	0.24	0.62	0.24
TRINITY_DN23718_c5_g3	0.204	0.68	0.73	0.726	0.727	0.859	0.727
TRINITY_DN23828_c1_g2	0.912	0.956	0.286	0.333	0.333	0.61	0.333
TRINITY_DN23886_c1_g4	0.128	0.501	0.785	0.681	0.682	0.591	0.682
TRINITY_DN23917_c0_g1	0.875	0.892	0.784	0.833	0.834	0.599	0.834
TRINITY_DN23940_c1_g1	0.471	0.853	0.514	0.367	0.368	0.639	0.368
TRINITY_DN23955_c2_g4	0.22	0.442	0.907	0.751	0.751	0.609	0.751
TRINITY_DN23987_c0_g1	0.911	0.931	0.556	0.514	0.515	0.599	0.515
TRINITY_DN24062_c2_g2	0.954	0.915	0.664	0.713	0.713	0.706	0.713
TRINITY_DN24258_c0_g1	0.529	0.641	0.164	0.29	0.291	0.334	0.291
TRINITY_DN24501_c1_g3	0.736	0.176	0.2	0.232	0.232	0.1	0.232
TRINITY_DN24539_c3_g3	0.975	0.86	0.611	0.557	0.558	0.803	0.558
TRINITY_DN24604_c0_g2	0.599	0.823	0.481	0.373	0.374	0.651	0.374
TRINITY_DN24627_c0_g1	0.408	0.644	0.116	0.524	0.525	0.111	0.525
TRINITY_DN24695_c1_g1	0.398	0.724	0.471	0.726	0.726	0.609	0.726
TRINITY_DN24715_c0_g4	0.5	0.277	0.784	0.922	0.922	0.662	0.922
TRINITY_DN24745_c0_g1	0.484	0.434	0.242	0.285	0.286	0.509	0.286
TRINITY_DN24752_c0_g3	0.921	0.721	0.161	0.607	0.607	0.144	0.608
TRINITY_DN24825_c0_g2	0.84	0.899	0.154	0.055	0.055	0.527	0.055
TRINITY_DN24862_c0_g1	0.185	0.266	0.835	0.802	0.802	0.887	0.802
TRINITY_DN24890_c1_g2	0.993	0.993	0.538	0.407	0.408	0.322	0.408
TRINITY_DN24930_c0_g1	0.949	0.581	0.147	0.146	0.146	0.073	0.146
TRINITY_DN24941_c2_g2	0.998	0.903	0.196	0.482	0.483	0.23	0.483
TRINITY_DN25092_c1_g4	0.621	0.193	0.219	0.423	0.424	0.234	0.424
TRINITY_DN25109_c0_g5	0.658	0.126	0.336	0.514	0.515	0.42	0.515
TRINITY_DN25140_c0_g6	0.821	0.901	0.778	0.959	0.959	0.662	0.959
TRINITY_DN25142_c0_g1	0.802	0.289	0.983	0.851	0.852	0.59	0.852
TRINITY_DN25240_c1_g1	0.993	0.922	0.614	0.762	0.762	0.993	0.762
TRINITY_DN25243_c1_g1	0.207	0.099	0.258	0.59	0.59	0.755	0.59
TRINITY_DN25267_c0_g4	0.261	0.375	0.725	0.572	0.572	0.266	0.572
TRINITY_DN25280_c1_g1	0.411	0.527	0.226	0.437	0.438	0.307	0.438
TRINITY_DN25353_c0_g1	0.804	0.558	0.565	0.744	0.744	0.591	0.744
TRINITY_DN25429_c1_g2	0.665	0.843	0.221	0.415	0.416	0.339	0.416
TRINITY_DN25475_c1_g1	0.624	0.779	0.46	0.349	0.349	0.752	0.349
TRINITY_DN25516_c0_g3	0.317	0.415	0.634	0.98	0.98	0.712	0.98
TRINITY_DN25540_c1_g1	0.101	0.52	0.092	0.332	0.333	0.23	0.333

## Continuación...

TRINITY_DN25540_c1_g5	0.15	0.081	0.374	0.49	0.491	0.962	0.491
TRINITY_DN25567_c0_g1	0.062	0.393	0.375	0.404	0.404	0.269	0.404
TRINITY_DN25628_c0_g1	0.347	0.104	0.841	0.635	0.636	0.993	0.636
TRINITY_DN25642_c0_g3	0.174	0.321	0.964	0.71	0.711	0.962	0.711
TRINITY_DN25665_c0_g2	0.97	0.984	0.59	0.636	0.637	0.528	0.637
TRINITY_DN25683_c0_g1	0.583	0.915	0.417	0.529	0.53	0.529	0.53
TRINITY_DN25725_c0_g3	0.162	0.171	0.231	0.471	0.471	0.205	0.471
TRINITY_DN25754_c0_g1	0.233	0.493	0.106	0.583	0.584	0.377	0.584
TRINITY_DN25791_c0_g1	0.51	0.716	0.19	0.387	0.387	0.181	0.387
TRINITY_DN25804_c0_g2	0.352	0.817	0.071	0.333	0.333	0.19	0.333
TRINITY_DN25968_c2_g1	0.614	0.329	0.277	0.21	0.21	0.128	0.21
TRINITY_DN26017_c0_g1	0.369	0.717	0.898	0.949	0.949	0.762	0.949
TRINITY_DN26044_c1_g1	0.538	0.28	0.498	0.768	0.769	0.893	0.769
TRINITY_DN26077_c0_g1	0.123	0.211	0.162	0.41	0.411	0.592	0.411
TRINITY_DN26126_c0_g1	0.474	0.702	0.788	0.978	0.978	0.668	0.978
TRINITY_DN26190_c0_g1	0.985	0.933	0.678	0.861	0.862	0.662	0.862
TRINITY_DN26201_c2_g7	0.574	0.301	0.892	0.916	0.916	0.712	0.916
TRINITY_DN26268_c0_g5	0.522	0.18	0.275	0.405	0.405	0.205	0.405
TRINITY_DN26292_c0_g1	0.544	0.833	0.905	0.988	0.988	0.712	0.988
TRINITY_DN26318_c1_g3	0.499	0.182	0.309	0.392	0.393	0.987	0.393
TRINITY_DN26361_c1_g1	0.703	0.645	0.536	0.479	0.48	0.712	0.48
TRINITY_DN26370_c2_g2	0.598	0.69	0.941	0.798	0.798	0.96	0.798
TRINITY_DN26380_c0_g1	0.882	0.708	0.325	0.769	0.769	0.293	0.769
TRINITY_DN26424_c1_g2	0.918	0.794	0.539	0.353	0.354	0.549	0.354
TRINITY_DN26463_c2_g3	0.455	0.205	0.737	0.353	0.535	0.431	0.535
TRINITY_DN40381_c0_g1	0.231	0.349	0.81	0.775	0.775	0.81	0.775
TRINITY_DN4836_c0_g1	0.466	0.805	0.258	0.418	0.418	0.191	0.418
TRINITY_DN9642_c0_g1	0.599	0.578	0.096	0.237	0.237	0.251	0.237
TRINITY_DN13672_c0_g1	0.389	0.564	0.647	0.523	0.524	0.755	0.524
TRINITY_DN18572_c0_g1	0.216	0.584	0.138	0.288	0.288	0.23	0.288
TRINITY_DN18802_c0_g1	0.201	0.165	0.845	0.866	0.867	0.878	0.867
TRINITY_DN19015_c5_g1	0.403	0.424	0.105	0.274	0.275	0.199	0.275
TRINITY_DN19139_c0_g2	0.69	0.72	0.372	0.728	0.728	0.615	0.728
TRINITY_DN20247_c5_g3	0.991	0.996	0.653	0.542	0.543	0.737	0.543
TRINITY_DN20971_c0_g4	0.611	0.712	0.414	0.368	0.369	0.335	0.369
TRINITY_DN21407_c0_g1	0.226	0.187	0.944	0.804	0.804	0.888	0.804
TRINITY_DN22317_c0_g2	0.298	0.509	0.852	0.99	0.99	0.286	0.99
TRINITY_DN22375_c0_g2	0.926	0.444	0.905	0.968	0.968	0.707	0.968
TRINITY_DN23622_c2_g1	0.824	0.692	0.475	0.527	0.527	0.251	0.527
TRINITY_DN23886_c1_g4	0.128	0.501	0.785	0.681	0.682	0.591	0.682
TRINITY_DN24062_c2_g2	0.954	0.915	0.664	0.713	0.713	0.706	0.713
TRINITY_DN25280_c1_g1	0.411	0.527	0.226	0.437	0.438	0.307	0.438
TRINITY_DN25628_c0_g1	0.347	0.104	0.841	0.635	0.636	0.993	0.636
TRINITY_DN25665_c0_g2	0.97	0.984	0.59	0.636	0.637	0.528	0.637
TRINITY_DN25968_c2_g1	0.614	0.329	0.277	0.21	0.21	0.128	0.21

Con el segundo criterio de selección solo redujo en un 35.02% el número de genes candidatos, por lo que se tomó en cuenta lo establecido por Caracausi *et al.* (2017) para la selección de un gen de referencia ideal. El cual indica, que estos genes deben tener un nivel de expresión medio-alto para una fácil detección. Es así que con el fin de reducir o eliminar cualquier sesgo en la selección de los transcriptos, se adicionó un tercer criterio de selección. El cual consistió en seleccionar a transcriptos que tuvieran valores de expresión relativa

(FPKM) mayores a 40, considerados como valores medios- altos de expresión (Flegel *et al.*, 2013) y además se utilizó un CV < 0.20 entre los p-valor de las pruebas de homocedasticidad empleadas, con la finalidad de evaluar la estabilidad de los transcriptos. Esto permitió seleccionar 16 genes candidatos, ver Tabla 2.

**Tabla 2:** Selección de los genes candidatos por un FPKM (>40) y CV del p.valor de las pruebas de homocedasticidad (<0.20)

Gene_id	Promedio de p.valor	FPKM (>40)	CV de p.valor (<0.20)
TRINITY_DN23617_c1_g1	0.9592	60.8758	0.0273
TRINITY_DN26201_c2_g7	0.8703	49.3167	0.1024
TRINITY_DN20921_c0_g3	0.8346	67.8267	0.0463
TRINITY_DN18240_c0_g1	0.8250	148.5325	0.1594
TRINITY_DN40381_c0_g1	0.7887	43.8500	0.0241
TRINITY_DN23955_c2_g4	0.7537	44.6650	0.1396
TRINITY_DN23886_c1_g4	0.6840	117.2475	0.1002
TRINITY_DN24695_c1_g1	0.6519	61.7917	0.1732
TRINITY_DN20247_c5_g3	0.6036	43.3558	0.1472
TRINITY_DN22112_c1_g1	0.5974	80.3675	0.1478
TRINITY_DN13672_c0_g1	0.5943	125.1933	0.1757
TRINITY_DN22195_c2_g1	0.5684	48.0483	0.1306
TRINITY_DN22461_c1_g1	0.5423	41.4483	0.1268
TRINITY_DN25109_c0_g5	0.4598	120.9183	0.1750
TRINITY_DN19920_c0_g1	0.2468	42.2583	0.1382
TRINITY_DN21010_c0_g1	0.2312	74.1742	0.1107

#### 4.2 Descripción de los genes de referencia candidatos seleccionados

Tal y como se muestra en la Tabla 2, se seleccionaron 16 genes de referencia candidatos. De los cuales, 3 corresponden a proteínas ribosomales: 40S ribosomal protein S18-like, 60S ribosomal protein L11 y 40S ribosomal protein S27-2-like (Tabla 3). Hsiao *et al.*, (2001) mencionan que los genes de las proteínas ribosomales en su mayoría son considerados genes housekeeping, por lo que podrían ser usados como un estándar de referencia en estudios de expresión génica. Zhou *et al.*, (2010) coinciden con esto, pues de sus 20 genes de referencia candidatos, 13 eran de proteínas ribosomales, sugiriendo que los genes de esta familia pueden ser usados como genes de referencia. En ese sentido, estos genes se han validado como genes de referencia en humanos (Popovici *et al.*, 2009; de Jonge *et al.*; 2007). Por otro lado, Zhou *et al.* (2010) mencionan que la expresión de los genes de proteínas ribosomales presenta variaciones dependiendo del tejido, como es el caso de *RPL3L* y *RPL39L* (Thorrez *et al.*, 2008). Asimismo, Zhou *et al.* (2010) identificaron genes de

proteínas ribosomales con expresión muy estable, como *RPL19* y *RPL29*; mientras que otros, como *RPL9* y *RPL18* presentaron variaciones significativamente. En plantas, se han reportado genes de proteínas ribosomales como genes candidatos de referencia en banana (Chen *et al.*, 2011), café (Cruz *et al.*, 2009; Barsalobres-Cavallari, *et al.*, 2009), sandía (Kong *et al.*, 2014), tomate (Løvdal & Lillo, 2009), tabaco (Schmidt & Delaney, 2010) y cebada (Faccioli *et al.*, 2007).

Así también, el gen *ERF3A*, eukaryotic peptide chain release factor GTP-binding subunit ERF3A-like (tabla 3) es otro de los candidatos. Este gen ha sido seleccionado como un candidato a gen de referencia para peces teleósteos (Li *et al.*, 2020) y en 4 cultivares de *Gossypium hirsutum* durante la inducción a embriogénesis somática (Cao *et al.*, 2019).

Por otro lado, el gen *CESA1* también resultó otro candidato (tabla 3). El estudio de Li *et al.* (2013) sobre los genes cellulose synthase (*CESA*) en algodón reportó que *cesa1* presentaba un nivel de expresión constante en todos los tejidos de *Gossypium hirsutum* y *Gossypium barbadense*. Lo que sugiere su posible uso, como gen de referencia.

*OEP24* es otro gen candidato seleccionado (Tabla 3) y es una proteína formadora de poros en la envoltura externa del cloroplasto, como OEP21, OEP16 y OEP37. Las cuales actúan como un canal selectivo para el transporte de diversos metabolitos (Pohlmeyer *et al.*, 1997; Röhl *et al.*, 1999; Weber *et al.*, 2005; Inoue, 2007). Se ha usado *OEP24.1* (Atg45170) como gen housekeeping para normalizar los niveles de expresión de enzimas de la biosíntesis de clorofila (Urbischek *et al.*, 2015). Asimismo, los resultados de Goetze *et al.* (2006) indican que OEP37 es una proteína housekeeping, pues presenta niveles estables en los plastidios de todos los órganos de las plantas.

Así mismo, *ADNT1* gen candidato seleccionado (Tabla 3) es un transportador mitocondrial de nucleótidos de adenina que presenta un nivel amplio de expresión en los órganos y en distintos tejidos de la planta, como raíz, tallo, hojas y flores (Palmieri *et al.*, 2008). Tang *et al.* (2020) indican que es una proteína housekeeping por su actividad de proteína de transporte por membranas.

La V-ATPasa, gen candidato presentado en la Tabla 3. El estudio realizado por Zhang *et al.* (2014) indicó que la subunidad E de H<sup>+</sup> -ATPasa de tipo vacuolar podría estar regulado por condiciones abióticas en cebada. Asimismo, Darbani *et al.* (2015) usó la ATP sintasa vacuolar como gen de referencia para normalizar los datos de expresión de genes involucrados en la transferencia de hierro y zinc durante el llenado del grano en cebada

**Tabla 3:** Información de genes de referencia candidatos

Gene_id	Descripción*	Símbolo	Puntuación máxima**	Puntuación total **	% de cobertura**	valor E**	% de identidad**	Accesion***	Vía de ortología KEGG (a)
TRINITY_DN13672_c0_g1_i4	PREDICTED: <i>Lupinus angustifolius</i> DNA repair RAD52-like protein 2, chloroplastic (LOC109336406), mRNA	RAD52-2	1264	1264	94%	0	92.03%	XM_019572984.1	
TRINITY_DN18240_c0_g1_i0	PREDICTED: <i>Lupinus angustifolius</i> V-type proton ATPase subunit E-like (LOC109348603), mRNA	ATPeV1E/ATP6E	1317	1317	84%	0	92%	XM_019589102.1	lang01100 Metabolic pathways (K02150)
TRINITY_DN19920_c0_g1_i5	PREDICTED: <i>Lupinus angustifolius</i> probable NAD(P)H dehydrogenase (quinone) FQR1-like 3 (LOC109357530), transcript variant X2, misc_RNA	wrbA	987	987	90%	0	95%	XR_002108871.1	lang01100 Metabolic pathways (K03809)
TRINITY_DN20247_c5_g3_i3	PREDICTED: <i>Lupinus angustifolius</i> outer envelope pore protein 24, chloroplastic-like (LOC109358900), mRNA	OEP24	1330	1330	99%	0	93%	XM_019603387.1	
TRINITY_DN20921_c0_g3_i2	PREDICTED: <i>Lupinus angustifolius</i> 40S ribosomal protein S18-like (LOC109341549), transcript variant X1, mRNA	RP-S18e/RPS18	1044	1044	93%	0	93%	XM_019579490.1	lang03010 Ribosome (K02964)
TRINITY_DN21010_c0_g1_i2	PREDICTED: <i>Lupinus angustifolius</i> 60S ribosomal protein L11 (LOC109352042), mRNA	RP-L11e/RPL11	1221	1221	85%	0	94%	XM_019593821.1	lang03010 Ribosome (K02868)
TRINITY_DN22112_c1_g1_i2	PREDICTED: <i>Lupinus angustifolius</i> 40S ribosomal protein S27-2-like (LOC109356678), transcript variant X1, mRNA	RP-S27e/RPS27	715	715	78%	0	89%	XM_019600144.1	lang03010 Ribosome (K02978)
TRINITY_DN22195_c2_g1_i2	PREDICTED: <i>Lupinus angustifolius</i> aminoacylase-1 (LOC109360836), mRNA	ACY1	2228	2228	89%	0	93%	XM_019605982.1	lang01100 Metabolic pathways (K14677)
TRINITY_DN22461_c1_g1_i4	PREDICTED: <i>Lupinus angustifolius</i> probable bifunctional methylthioribulose-1-phosphate dehydratase/enolase-phosphatase EI (LOC109334518), transcript variant X2, mRNA	ENOPH1	2564	2564	84%	0	96%	XM_019570339.1	lang01100 Metabolic pathways (K16054)
TRINITY_DN23617_c1_g1_i4	PREDICTED: <i>Lupinus angustifolius</i> omega-amidase, chloroplastic (LOC109327088), mRNA	NLP3	1884	1884	83%	0	92%	XM_019560098.1	lang01100 Metabolic pathway (K13566)
TRINITY_DN23886_c1_g4_i3	PREDICTED: <i>Lupinus angustifolius</i> probable disease resistance protein At4g7220 (LOC109348064), transcript variant X6, mRNA	LOC109348064	512	512	100%	3.00E-143	92%	XM_019588275.1	
TRINITY_DN23955_c2_g4_i3	PREDICTED: <i>Lupinus angustifolius</i> eukaryotic peptide chain release factor GTP-binding subunit ERF3A-like (LOC109349707), transcript variant X3, mRNA	ERF3/GSPT	2708	2708	70%	0	96%	XM_019590625.1	lang03015 mRNA surveillance pathway (K03267)
TRINITY_DN24695_c1_g1_i2	PREDICTED: <i>Lupinus angustifolius</i> uncharacterized protein At2g17340-like (LOC109354893), mRNA	LOC109354893	2117	2117	96%	0	95%	XM_019597693.1	
TRINITY_DN25109_c0_g5_i1	PREDICTED: <i>Lupinus angustifolius</i> cellulose synthase A catalytic subunit 1 [UDP-forming] (LOC109343728), mRNA	CESAI	686	686	99%	0	97%	XM_019582173.1	lang01003 Glycosyltransferases (K10999)
TRINITY_DN26201_c2_g7_i1	PREDICTED: <i>Lupinus angustifolius</i> mitochondrial adenine nucleotide transporter ADNT1-like (LOC109333128), mRNA	ADNT1	861	861	98%	0	89%	XM_019568420.1	lang02000 Transporters (K14684)
TRINITY_DN40381_c0_g1_i1	PREDICTED: <i>Lupinus angustifolius</i> sm-like protein LSM7 (LOC109347943), mRNA	LSM7	562	562	71%	4.00E-158	90%	XM_019588074.1	lang01110 lang03018 lang03040 Biosynthesis of secondary metabolites RNA degradation (K12626) Spliceosome

\* Función predicha de la proteína según el BLAST de NCBI

\*\* Parámetros de puntuación de alineación para cada secuencia predicha según el BLAST de NCBI

\*\*\*Indicador único de la secuencia predicha según el BLAST de NCBI

*LSM7* es otro de los genes candidatos seleccionados (Tabla 3). En ese sentido Müller y colaboradores (2015) mencionan que el gen que codifica para una proteína homóloga de Sm-like protein *LSM7* es uno de los genes de referencia más adecuados para la condición de infección de *Xanthomonas campestris* pv. *vesicatoria* en tomate y pimiento, pues mostró más estabilidad de acuerdo con los métodos de geNorm, NormFinder y BestKeeper.

El gen de sensibilidad a la radiación 52, *RAD52* (Tabla 3) tiene una función esencial en la reparación y recombinación de la rotura de doble hebra del ADN dependiente de homología (Symington, 2002). En el estudio realizado por Samach *et al.* (2011), se evidenció que una de las isoformas del gen *RAD52* de *Arabidopsis* se expresaron en todos sus tejidos. Característica que cumple con uno de los requisitos de gen de referencia, la de expresarse en todas las células de un organismo independientemente del tipo de tejido (Eisenberg y Levanon, 2013).

#### **4.3 Validación de los genes de referencia**

Un total de 14 minerales cumplen los requerimientos nutricionales que necesitan las plantas para su óptimo crecimiento y desarrollo. Estos son conocidos como macronutrientes (N, K, Ca, Mg y S) y micronutrientes (Fe, Zn, Mn, Cu, B y Mo) por la concentración presente encontrada en las plantas (Grusak, 2010). Existen diversas soluciones nutritivas que difieren en cuanto a la concentración de estos nutrientes. En ese sentido, la solución nutritiva de Murashige y Skoog (MS) (Murashige y Skoog, 1962) es una de las soluciones más utilizadas a nivel mundial en investigación (Van Delden *et al.*, 2020). Sin embargo, la Solución Hidropónica La Molina fue usada en los experimentos de ARN-seq de las 12 bibliotecas, de donde se seleccionaron los genes candidatos. Ambas soluciones presentan concentraciones de nutrientes diferentes (Anexo 50) y estas variaciones se vieron reflejadas en la validación de los genes candidatos seleccionados (ver Figuras 2 y 3).

##### **4.3.1 Validación de los genes de referencia en condiciones de solución hidropónica La Molina**

El Tabla 3 muestra la descripción de cada uno de uno de los 16 genes candidatos seleccionados en base a los criterios de selección diagramados en la Figura 1. De estos, solo se evaluó la expresión génica en 10 genes, excluyendo a los que no se pudo diseñar primers adecuados: wrbA, ACY1, ENOPH1, NPL3, LOC109354893 y LSM7 (Anexo 3)

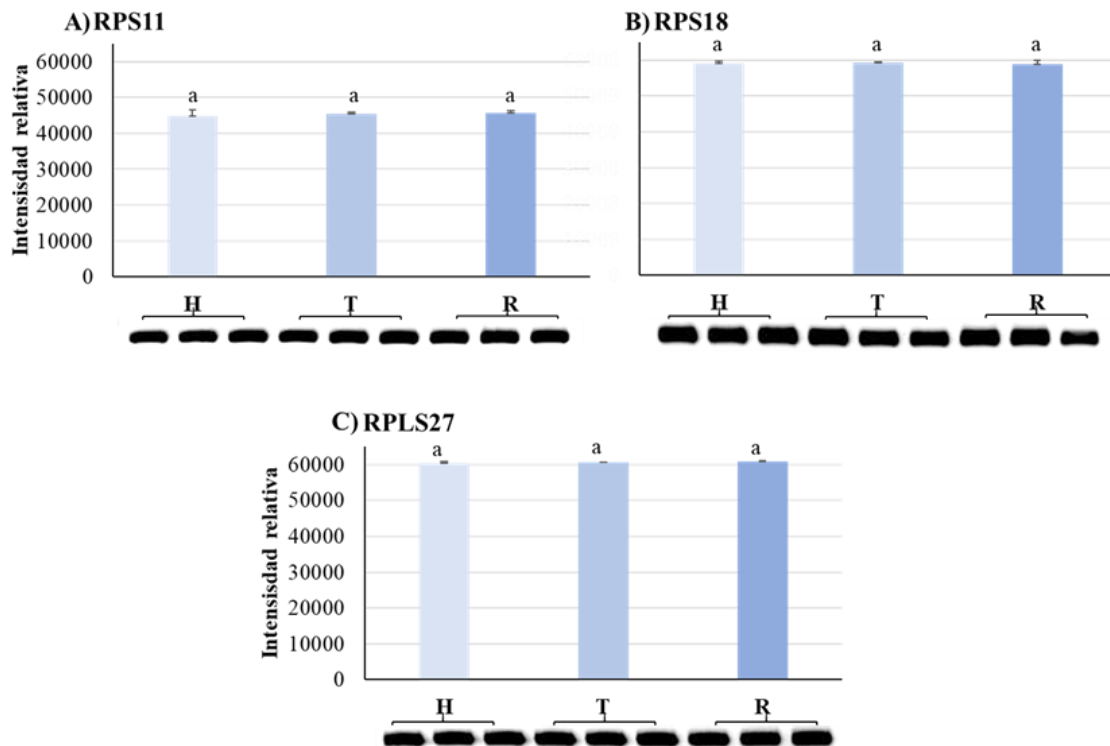
Los 10 genes seleccionados se agruparon en proteínas ribosomales (grupo I) y genes con diferentes funciones (grupo II).

Dentro del grupo I, están las proteínas ribosomales. Las cuales, junto a 4 tipos de ARNr ribosómicos conforman a los ribosomas de los eucariotas, encargadas de la síntesis de proteínas (Byrne, 2009; Zhou *et al.*, 2015) y biogénesis ribosómica (Zhou *et al.*, 2015). Además, muchas proteínas ribosomales están involucradas en otras funciones celulares extraribosómicas (Wool, 1996; Bhavsar *et al.*, 2010), como, por ejemplo, en la tumorigénesis, la señalización inmunitaria y el desarrollo de enfermedades (Zhou *et al.*, 2015). Varios autores han sugerido a las proteínas ribosomales como posibles genes housekeeping (Hsiao *et al.*, 2001). Lo que concuerda con los resultados obtenidos, pues los 3 genes de proteínas ribosomales (RPS11, RPS18 y RPS27) que se presentan en la Figura 2 presentan una expresión relativa constante en hoja, tallo y raíz de *L. mutabilis*, lo que los catalogan como genes de referencia.

Se ha reportado al gen *RPL11*, como un gen de referencia con una alta estabilidad para diferentes etapas de desarrollo y condiciones de temperatura en *Aphis craccivora* (Yang *et al.*, 2015). Sin embargo, la expresión de este gen (*RPL11*) no fue constante a nivel de hoja joven, hoja madura, vaina de hoja, raíz rizoma, ápice de tallo y 3 estadios del desarrollo de tubérculos en *Cyperus esculentus* (Bai *et al.*, 2021). Lo que difiere de los resultados obtenidos en *Lupinus mutabilis*, ya que presenta una expresión diferencial constante en los tres tejidos (Figura 2A), lo que confirma su uso como gen de referencia, como se reporta para *Aphis craccivora* (Yang *et al.*, 2015).

Por otro lado, *RPS18* (Figura 2B), ha sido validado como gen de referencia para insectos, e.g. *Lipaphis erysimi* (Kalt) (Koramutla *et al.*, 2016), *Apis mellifera* (Jeon *et al.*, 2020), *Henosepilachna vigintioctomaculata* (Lü *et al.*, 2018), *Delphacodes kuscheli* (Maroniche *et al.*, 2018), *Bradysia odoriphaga* (Shi *et al.*, 2016), *Bactericera cockerelli* (Ibanez *et al.*, 2016), y *Rhopalosiphum padi* (Li *et al.*, 2021). También ha sido reportado en peces, como *Cyprinus carpio* y *Carassius auratus* (Liu *et al.*, 2020). En plantas, se ha utilizado como gen de referencia en *Arabidopsis* (Scholz *et al.*, 2014; Malabarba *et al.*, 2021). Asimismo, ha sido reportado como un gen de referencia estable en plantas sexuales y apomícticas de *Boechera* para los tejidos de hoja, tallo, raíz, flor y tejidos específicos durante el desarrollo del óvulo y la antera (Pellino *et al.*, 2011). En *Lupinus mutabilis*, este gen cumple con la

condición de gen de referencia, pues según la prueba de Tukey ( $P<0.05$ ) no presentaron diferencias significativas a nivel de los tejidos evaluados, ver Figura 2B.



**Figura 2:** Análisis de expresión relativa de genes del grupo I (proteínas ribosomales) a nivel de hoja, tallo y raíz en *Lupinus mutabilis*.

**A)** RPL11, 60S ribosomal protein L11 (TRINITY\_DN21010\_c0\_g1\_i2); tamaño de producto amplificado, 336 pb. **B)** RPS18, 40S ribosomal protein S18-like (TRINITY\_DN20921\_c0\_g3\_i2); tamaño de producto amplificado, 168 pb y **C)** RPLS27L, 40S ribosomal protein S27-2-like (TRINITY\_DN22112\_c1\_g1\_i2); tamaño de producto amplificado, 204 pb. Las letras diferentes denotan cambios significativos basados en ANOVA con la prueba Tukey ( $P<0.05$ ). Cada valor representa la media de 3 repeticiones  $\pm$  error estándar. H: hoja, T: tallo y R: raíz. Condición de solución nutritiva hidropónica La Molina.

Según Chan *et al.* (1993), el gen *RPS27L* (Figura 2C) responde frente a lesiones del ADN. Por otro lado, la investigación de Wong y colaboradores (2013) indica que este gen exhibe un patrón de expresión distintivamente heterogéneo en los tejidos cancerosos y normales en humanos. Algunas investigaciones han determinado una inducción de *RPS27L* dependiente del promotor p53 para múltiples modelos de células cancerosas (He *et al.*, 2007; Xiong *et al.*, 2020; Li *et al.*, 2007). Este gen no se ha reportado previamente como gen de referencia; sin embargo, los resultados en *Lupinus mutabilis* muestran un nivel de expresión constante y sin diferencias significativas ( $P<0.05$ ) a nivel del hoja, tallo y raíz, ver Figura 2C.

Dentro del grupo II (Figura 3), se encuentra V-ATPasa. La cual, es una bomba que transloca protones del citosol al lumen y está presente en la membrana interna de todas las células eucariotas (Sun-Wada *et al.*, 2003). Torigoe y colaboradores (2002) mencionan que los genes de la V-ATPasa son considerados como genes housekeeping. Lo que concuerda con

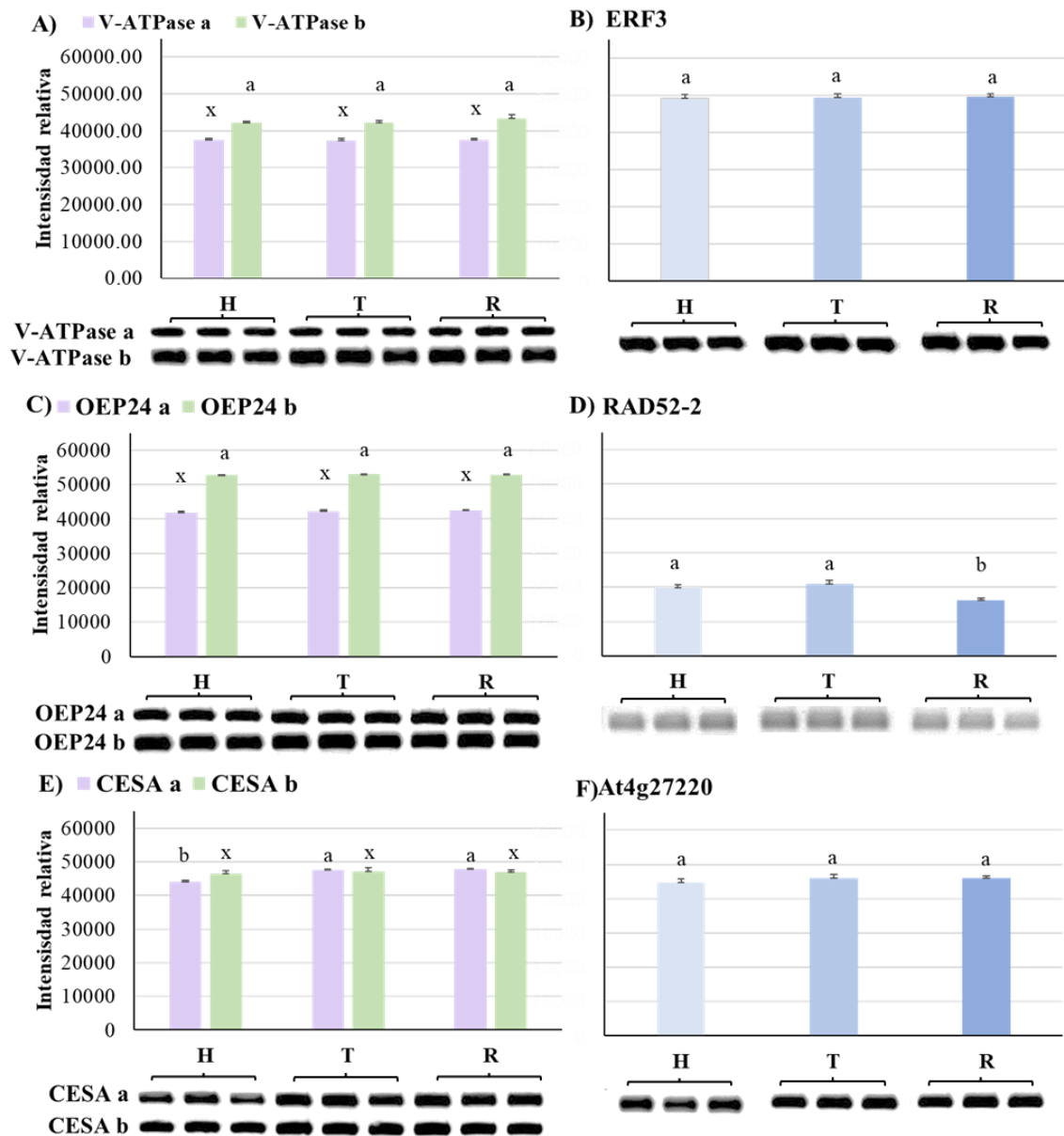
lo reportado por Darbani *et al.* (2015) en cebada, en donde V-ATPasa se usó como gen de referencia para normalizar los datos de la expresión de genes involucrados en la transferencia de hierro y zinc durante el llenado del grano. En *Lupinus mutabilis* se evaluó dos transcriptos (V-ATPasa a, V-ATPasa b), encontrándose que no hubo diferencias significativas en los niveles de expresión para ambos transcriptos en los diferentes tejidos evaluados (Figura 3A). Lo que permitiría su uso como gen de referencia.

Otro miembro del grupo II es el gen ERF3, el cual participa en la finalización de la traducción como parte del complejo eucariota de liberación (eRF1-eRF3)- GTP (Jackson et L., 2012). *ERF3* ha sido reportado como gen candidato de referencia en *G. hirsutum* y *Schizothorax prenanti*; sin embargo, no ha presentado estabilidad en todas las condiciones probadas (Ping *et al.*, 2018; Cao *et al.*, 2019; Li *et al.*, 2020). En el alga, *Chondrus crispus*, si se ha reportado como un gen de referencia de hasta 18 condiciones (Kowalczyk *et al.*, 2014). Lo que concuerda con los resultados en *L. mutabilis*, ver Figura 3B en donde la expresión relativa resultó constante en hoja, tallo y raíz, sin diferencias significativas entre estas.

La familia de las OEP son proteínas de envoltura externa del cloroplasto (Pohlmeye *et al.*, 1998). OEP24 es una de las proteínas formadora de los poros y tiene una amplia especificidad de solutos (Pohlmeye *et al.*, 1998; Röhl *et al.*, 1999). Se ha reportado a *Oep24.1* como gen housekeeping para normalizar los niveles de expresión de enzimas de la biosíntesis de clorofila en hojas de *Arabidopsis thaliana* (Urbischek *et al.*, 2015). Los resultados en *Lupinus mutabilis* para los dos transcriptos evaluados (OEP24 a, OEP24 b) concuerdan con el trabajo de Urbischek *et al.* (2015), además se demostró que este gen es capaz de mantener una expresión constante en tallo y raíz, ver Figura 3C

*RAD52-2* forma parte de un grupo de genes que participan en el proceso de recombinación homóloga, *RAD52* (Symington, 2002). Se sabe, que *RAD52* está altamente conservado en eucariotas y los homólogos en plantas se localizan en el núcleo, mitocondrias o cloroplastos (*RAD52-2*) (Symington, 2002; Samach *et al.*, 2011); sin embargo, no hay muchos estudios en plantas (Nair *et al.*, 2016). Aunque este gen no ha sido previamente reportado como gen de referencia, en el estudio de Samach y colaboradores (2011) se encontró niveles de transcripción similares, al comparar su expresión en hojas caulinares, botones florales, flores abiertas, raíces y brotes de plántulas de 4 días de crecimiento y silicuas de diferentes tamaños en *Arabidopsis thaliana*. Lo cual, concuerda con los resultados obtenidos en *Lupinus*

*mutabilis*, al obtener una expresión relativa constante para hoja, tallo y raíz que lo catalogan como un gen de referencia, ver Figura 3D.



**Figura 3:** Análisis de expresión relativa de genes del grupo II en hoja, tallo y raíz de *Lupinus mutabilis*. **A)** V-ATPASA a - V-ATPASA b, V-type proton ATPase subunit E-like (TRINITY\_DN18240\_c0\_g1\_i10); tamaño de producto amplificado, 152 pb. **B)** ERF3, eukaryotic peptide chain release factor GTP-binding subunit ERF3A-like (TRINITY\_DN23955\_c2\_g4\_i3); tamaño de producto amplificado, 312. **C)** OEP24 a - OEP24 b, outer envelope pore protein 24, chloroplastic-like (TRINITY\_DN20247\_c5\_g3\_i3); tamaño de producto amplificado, 428 pb. **D)** RAD52-2, DNA repair RAD52-like protein 2, chloroplastic (TRINITY\_DN13672\_c0\_g1\_i4); tamaño de producto amplificado, 116 pb. **E)** CESA a - CESA b, cellulose synthase A catalytic subunit 1 [UDP-forming] (TRINITY\_DN25109\_c0\_g5\_i1); tamaño de producto amplificado, 209 pb. **F)** At4g27220, probable disease resistance protein At4g27220 (TRINITY\_DN23886\_c1\_g4\_i3); tamaño de producto amplificado, 164 pb. Las letras diferentes denotan cambios significativos basados en ANOVA con la prueba Tukey ( $P<0.05$ ). Cada valor representa la media de 3 repeticiones  $\pm$  error estándar. H: hoja, T: tallo y R: raíz. Condición de solución nutritiva hidropónica La Molina.

La familia de los genes celulosa sintasa (*CESA*) se encargan de la síntesis de celulosa (Kaur *et al.*, 2016). Se han identificado al menos 10 genes *CESA* en *Arabidopsis*, 12 en *Oryza sativa* (Richmond and Somerville, 2000) y 9 en *Zea mays* (Holland *et al.*, 2000; Dhugga, 2001). Se ha identificado que en *Arabidopsis* una expresión coordinada de genes para su expresión en diferentes tipos de tejidos (Doblin *et al.*, 2002; Taylor *et al.*, 2003). En cebada, se ha reportado una expresión diferencial para los genes *HvCESA*, encontrándose una expresión abundante para *HvCESA1*, *HvCESA2* y *HvCESA6* en los tejidos del coleóptilo, raíces y hojas en crecimiento, mientras que para *HvCESA4*, *HvCESA7* y *HvCESA8*, la mayor expresión fue en tejidos maduros del tallo y de raíz (Burton *et al.*, 2004). Lo que indicaría que la expresión de los genes *HvCESA* está influenciada por el grado de desarrollo de la planta. Para la evaluación de la expresión del gen *CESA* en plantas jóvenes de *Lupinus mutabilis* se analizaron dos transcriptos del mismo gen (Figura 3E). El transcripto CESA-b se confirmó como gen de referencia por su expresión relativa constante en hoja, tallo y raíz. Sin embargo, el transcripto CESA-a solo presentó una expresión relativa constante para los tejidos de tallo y raíz.

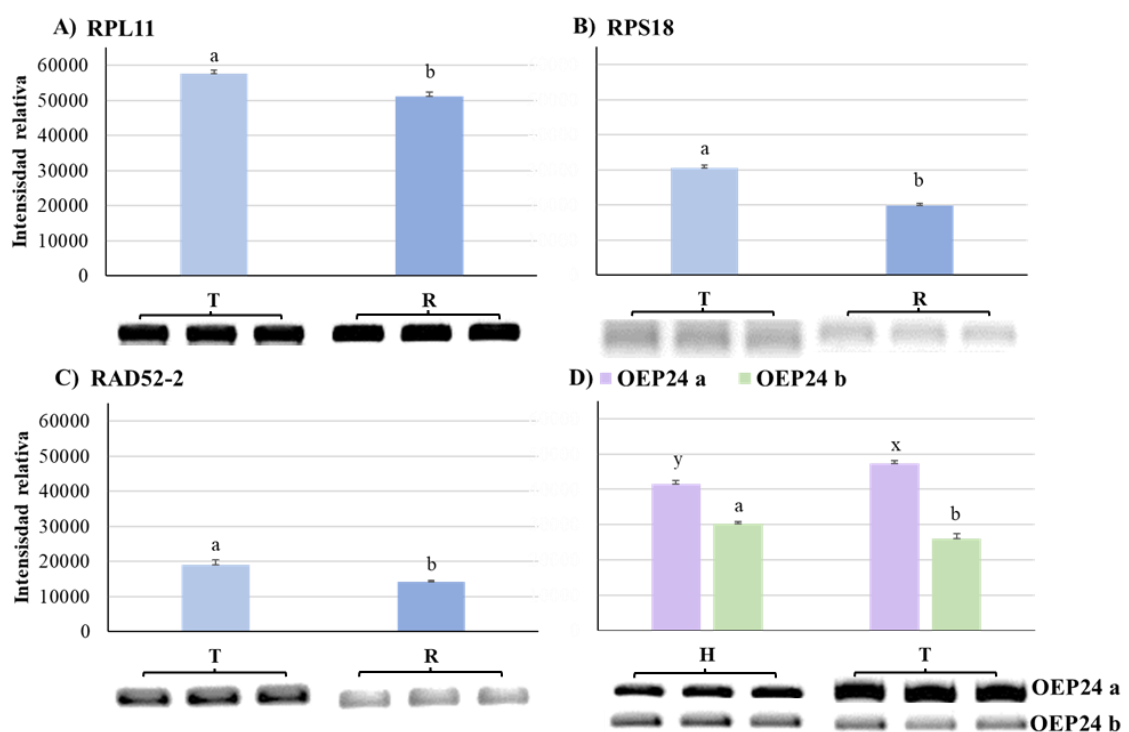
Los genes de resistencia a enfermedades (genes R) forman parte del mecanismo de defensa de las plantas (Mondragón-Palomino *et al.*, 2002). Los que en su mayoría codifican proteínas receptoras intracelulares putativas (Dangl y Jones 2001). Como la familia de los genes *NBS-LRR*, que presentan dominios de unión a nucleótidos (NBS) y repeticiones ricas en leucinas en la región C-terminal (LRR) (Tameling y Takken, 2008; Collier y Moffett, 2009). AT4G2722, es un gen *NBS-LRR* de *Arabidopsis thaliana* (Li *et al.*, 2018). Se han reportados ortólogos de este gen en *Gossypium barbadense* (Li *et al.*, 2018) y *Phytophthora parasitica* (Afzal *et al.*, 2019). Se reporta que el ortólogo de este gen en *Lupinus mutabilis* es un gen de referencia a nivel de hoja, tallo y raíz (Figura 3F).

#### 4.3.2 Validación de los genes de referencia en condiciones de solución Murashige y Skoog (MS)

Pese a que se ha reportado variaciones en las concentraciones de sales entre las diferentes soluciones nutritivas, estas diferencias no reflejan un cambio marcado en el rendimiento de las plantas (Hoagland, 1920). Sin embargo; esto si tiene efectos dramáticos en la expresión genética (Swift *et al.*, 2020). Es así, que se procedió a validar los 10 genes candidatos bajo condiciones de la solución MS, observándose un patrón de expresión diferente a lo encontrado en la solución hidropónica la molina. Por tal motivo se agrupó a los genes, en

función de su patrón de expresión repetible en: dos tipos de tejido (Grupo III) y en todos los tejidos (Grupo IV).

Dentro del grupo III, se encuentran los genes de proteínas ribosomales, *RPL11* y *RPS18*. La expresión de estos dos genes no fue constante a nivel de tallo y raíz (Figura 4A, 4B), concordando con los resultados para *RPL11* de Bai y colaboradores (2021), pero opuestos a los resultados obtenidos bajo condiciones de solución La Molina (Figura 2A, 2B). Estas diferencias podrían estar relacionados a una variación en los niveles y patrones de expresión por parte de las copias de estos genes (Byrne, 2009). Tal como sucede para los dos genes *RPL11* en *Arabidopsis*, donde uno de los genes presentó altos niveles de expresión en cotiledones, en el meristema apical y radicular y también a nivel del sistema vascular, mientras que la expresión del otro estuvo restringida a la estela de la raíz, desarrollo de anteras y polen (Williams & Sussex, 1995).

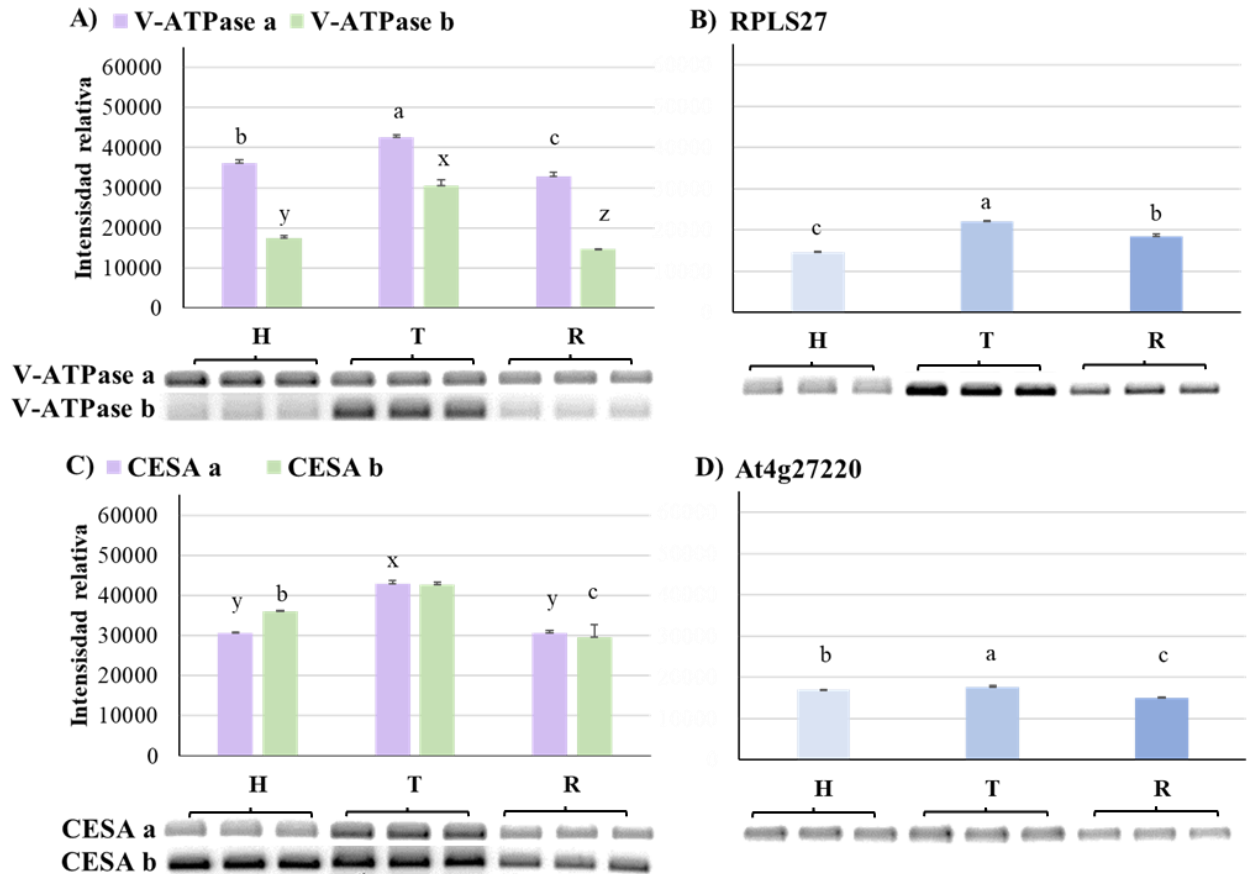


**Figura 4:** Análisis de expresión relativa de genes del grupo III para dos tipos de tejidos en *Lupinus mutabilis*. A) *RPL11*, 60S ribosomal protein L11 (TRINITY\_DN21010\_c0\_g1\_i2); tamaño de producto amplificado, 336 pb. B) *RPS18*, 40S ribosomal protein S18-like (TRINITY\_DN20921\_c0\_g3\_i2); tamaño de producto amplificado, 168 pb y C) *RAD52-2*, DNA repair RAD52-like protein 2, chloroplastic (TRINITY\_DN13672\_c0\_g1\_i4); tamaño de producto amplificado, 116 pb. D) *OEP24 a* *OEP24 b*, outer envelope pore protein 24, chloroplastic-like (TRINITY\_DN20247\_c5\_g3\_i3); tamaño de producto amplificado, 428 pb. Las letras diferentes denotan cambios significativos basados en ANOVA con la prueba Tukey ( $P<0.05$ ). Cada valor representa la media de 3 repeticiones  $\pm$  error estándar. H: hoja, T: tallo y R: raíz. Condición de solución nutritiva Murashige y Skoog.

Otro miembro de este grupo es RAD52-2, el cual presenta una expresión relativa diferente a nivel de tallo y hoja (Figura 4C), lo que difiere de los resultados reportados en la Figura 3D para solución hidropónica La Molina. Estas variaciones también se observaron en OEP24, encontrándose diferencias significativas en la expresión para ambos transcriptos, a nivel de hoja y tallo (Figura 4D). Lo que dista los resultados obtenidos en *Lupinus mutabilis* para condiciones de riego con solución La Molina (Figura 3C) y con el trabajo de Urbischek *et al.* (2015), en *Arabidopsis thaliana*.

En el grupo IV, los siguientes transcriptos: a) dos transcriptos para V-atpasa (a y b), b) CESA b, c) RPLS27 y d) el ortólogo de At4g27220 para *L. mutabilis* presentaron diferencias significativas en su expresión relativa en los tejidos de hoja, tallo y raíz. Lo que difiere de los resultados bajo la condición de riego con solución La Molina (Figura 5A-D). Sin embargo; solo CESA a presentó una expresión relativa constante en hoja y raíz (Figura 5G). Lo cual, concuerda con lo reportado para la solución hidropónica La Molina (Figura 3E).

Aunque ambas soluciones presentan la misma composición de nutrientes, la concentración de los elementos varia de forma significativa (Anexo 50). Las diferencias observadas en expresión génica podrían deberse a los cambios en los mecanismos moleculares que controlan el ionona en la planta, como ha sido reportado por Swift *et al.* (2020). Lo que se relaciona con lo reportado por Greer *et al.* (2010), sobre los niveles de expresión de los genes de referencia pueden estar influenciados por sus funciones celulares y condiciones experimentales. Lo cual, ha permitido encontrar genes de referencia con cierto grado de especificidad a las condiciones experimentales (Atkinson *et al.*, 2013; Lacroix & Citovsky, 2013; H. Y. Wu *et al.*, 2014; Xin *et al.*, 2013).



**Figura 5:** Análisis de expresión relativa de genes del grupo IV para tres tipos de tejidos en *Lupinus mutabilis*. **A)** V-ATPASA a - V-ATPASA b, V-type proton ATPase subunit E-like (TRINITY\_DN18240\_c0\_g1\_i10); tamaño de producto amplificado, 152 pb. **B)** RPL11, 60S ribosomal protein L11 (TRINITY\_DN21010\_c0\_g1\_i2); tamaño de producto amplificado, 336 pb. **C)** RPS27L, 40S ribosomal protein S27-2-like (TRINITY\_DN22112\_c1\_g1\_i2); tamaño de producto amplificado, 204 pb. **D)** CESAs a - CESAs b, cellulose synthase A catalytic subunit 1 [UDP-forming] (TRINITY\_DN25109\_c0\_g5\_i1); tamaño de producto amplificado, 209 pb. **D)** At4g27220, probable disease resistance protein At4g27220 (TRINITY\_DN23886\_c1\_g4\_i3); tamaño de producto amplificado, 164 pb. Las letras diferentes denotan cambios significativos basados en ANOVA con la prueba Tukey ( $P<0.05$ ). Cada valor representa la media de 3 repeticiones  $\pm$  error estándar. H: hoja, T: tallo y R: raíz. Condición de solución nutritiva Murashige y Skoog

## V. CONCLUSIONES

- Bajo las condiciones de Solución La Molina, se logró identificar 8 genes de referencia: **RPL11**, 60S ribosomal protein L11; **RPS18**, 40S ribosomal protein S18-like; **RPS27L**, 40S ribosomal protein S27-2-like; **ERF3**, eukaryotic peptide chain release factor GTP-binding subunit ERF3A-like; **OEP24**, outer envelope pore protein 24, chloroplastic; **CESA (CESA a)**, cellulose synthase A catalytic subunit 1 [UDP-forming]; el ortólogo de **At4g27220** para tarwi, probable disease resistance protein At4g27220 y **V-ATPasa**, V-type proton ATPase subunit E-like, que muestran un nivel de expresión constante y sin diferencias significativas ( $P<0.05$ ) a nivel de hoja, tallo y raíz para *Lupinus mutabilis*.
- Bajo las condiciones de Solución La Molina, el gen **RAD52-2**, DNA repair RAD52-like protein 2, chloroplastic solo muestra un nivel de expresión constante y sin diferencias significativas ( $P<0.05$ ) a nivel de hoja y tallo.
- Bajo las condiciones de Solución MS, el transcripto **CESA b**, cellulose synthase A catalytic subunit 1 [UDP-forming] solo muestra un nivel de expresión constante y sin diferencias significativas ( $P<0.05$ ) a nivel de hoja y raíz.

## **VI. RECOMENDACIONES**

- Es critico tener en cuenta en la identificación de los genes de referencia, las condiciones experimentales para garantizar su repetibilidad.
- El diseño de primers realizados para los genes de referencia también se ajustan a las condiciones que se requieren para realizar qPCR, por lo que se recomiendan su uso para esos fines.
- Evaluar los genes de referencia en diferentes estadios fenológicos de *Lupinus mutabilis*, además de probarlos bajo diferentes condiciones y/o tratamientos, como estrés biótico y abiótico.
- Evaluar su uso en especies de la misma familia y que cuenten con un genoma de referencia, como *Lupinus angustifolius* y *L. albus*.

## VII. BIBLIOGRAFÍA

- Aïnouche, A., & Bayer, R. J. (2000). Genetic evidence supports the new Anatolian lupine accession, *Lupinus anatolicus*, as an Old World “rough-seeded” lupine (section *Scabrispermae*) related to *L. pilosus*. *Folia Geobotanica*, 35(1), 83–95. <https://doi.org/10.1007/BF02803088>
- Andersen, C. L., Jensen, J. L., & Ørntoft, T. F. (2004). Normalization of real-time quantitative reverse transcription-PCR data: A model-based variance estimation approach to identify genes suited for normalization, applied to bladder and colon cancer data sets. *Cancer Research*, 64(15), 5245–5250. <https://doi.org/10.1158/0008-5472.CAN-04-0496>
- Angus, J. F. (2001). Soil water extraction by dryland crops, annual pastures, and lucerne in south-eastern Australia. *Australian Journal of Agricultural Research*, 52(2), 183. <https://doi.org/10.1071/AR00103>
- Atchison, G. W., Nevado, B., Eastwood, R. J., Contreras-Ortiz, N., Reynel, C., Madriñán, S., Filatov, D. A., & Hughes, C. E. (2016). Lost crops of the incas: Origins of domestication of the Andean pulse crop Tarwi, *Lupinus mutabilis*. *American Journal of Botany*, 103(9), 1592–1606. <https://doi.org/10.3732/ajb.1600171>
- Atkinson, N. J., Lilley, C. J., & Urwin, P. E. (2013). Identification of genes involved in the response of arabidopsis to simultaneous biotic and abiotic stresses. *Plant Physiology*, 162(4), 2028–2041. <https://doi.org/10.1104/pp.113.222372>
- Azani, N., Babineau, M., Bailey, C. D., Banks, H., Barbosa, A. R., Pinto, R. B., Boatwright, J. S., Borges, L. M., Brown, G. K., Bruneau, A., Candido, E., Cardoso, D., Chung, K. F., Clark, R. P., Conceição, A. D. S., Crisp, M., Cubas, P., Delgado-Salinas, A., Dexter, K. G., ... Zimmerman, E. (2017). A new subfamily classification of the leguminosae based on a taxonomically comprehensive phylogeny. *Taxon*, 66(1), 44–77. <https://doi.org/10.12705/661.3>

- Belski, R., Mori, T. A., Puddey, I. B., Sipsas, S., Woodman, R. J., Ackland, T. R., Beilin, L. J., Dove, E. R., Carlyon, N. B., Jayaseena, V., & Hodgson, J. M. (2011). Effects of lupin-enriched foods on body composition and cardiovascular disease risk factors: A 12-month randomized controlled weight loss trial. *International Journal of Obesity*, 35(6), 810–819. <https://doi.org/10.1038/ijo.2010.213>
- Bucher, P. (1999). Regulatory elements and expression profiles. *Current Opinion in Structural Biology*, 9(3), 400–407. [https://doi.org/10.1016/S0959-440X\(99\)80054-2](https://doi.org/10.1016/S0959-440X(99)80054-2)
- Burton, R. A., Shirley, N. J., King, B. J., Harvey, A. J., & Fincher, G. B. (2004). The CesA Gene Family of Barley. Quantitative Analysis of Transcripts Reveals Two Groups of Co-Expressed Genes. *Plant Physiology*, 134(1), 224–236. <https://doi.org/10.1104/pp.103.032904>
- Bussmann, R. W., & Sharon, D. (2014). Two decades of ethnobotanical research in Southern Ecuador and Northern Peru. *Ethnobiology and Conservation*, 3(2014), 1–50. <https://doi.org/10.15451/ec2014-6-3.2-1-50>
- Caracausi, M., Piovesan, A., Antonaros, F., Strippoli, P., Vitale, L., & Pelleri, M. C. (2017). Systematic identification of human housekeeping genes possibly useful as references in gene expression studies. *Molecular Medicine Reports*, 16(3), 2397–2410. <https://doi.org/10.3892/mmr.2017.6944>
- Caradec, J., Sirab, N., Keumeugni, C., Moutereau, S., Chimingqi, M., Matar, C., Revaud, D., Bah, M., Manivet, P., Conti, M., & Loric, S. (2010). Desperate house genes: The dramatic example of hypoxia. *British Journal of Cancer*, 102(6), 1037–1043. <https://doi.org/10.1038/sj.bjc.6605573>
- Carvajal-Larenas, F. E., Linnemann, A. R., Nout, M. J. R., Koziol, M., & van Boekel, M. A. J. S. (2016). *Lupinus mutabilis*: Composition, Uses, Toxicology, and Debittering. *Critical Reviews in Food Science and Nutrition*, 56(9), 1454–1487. <https://doi.org/10.1080/10408398.2013.772089>
- Chen, L., Zhong, H., Kuang, J., Li, J., Lu, W., & Chen, J. (2011). Validation of reference genes for RT-qPCR studies of gene expression in banana fruit under different experimental conditions. *Planta*, 234(2), 377–390. <https://doi.org/10.1007/s00425-011-1410-3>
- Chirinos-Arias, M. C., Jiménez, J. E., & Vilca-Machaca, L. S. (2015). Analysis of Genetic

- Variability among thirty accessions of Andean Lupin (*Lupinus mutabilis* Sweet) using ISSR molecular markers. *Scientia Agropecuaria*, 6(1), 17–30. <https://doi.org/10.17268/sci.agropecu.2015.01.02>
- Coker, J. S., & Davies, E. (2003). Selection of candidate housekeeping controls in tomato plants using EST data. *BioTechniques*, 35(4), 740–748. <https://doi.org/10.2144/03354st04>
- Czechowski, T., Stitt, M., Altmann, T., Udvardi, M. K., & Scheible, W. R. (2005). Genome-wide identification and testing of superior reference genes for transcript normalization in arabidopsis. *Plant Physiology*, 139(1), 5–17. <https://doi.org/10.1104/pp.105.063743>
- Dávila, J. (1987). Posibilidades Y Potencialidad. *Lupinus Mutabilis: Situación Mundial, Importancia, Diagnósticos*, 72–85.
- Derveaux, S., Vandesompele, J., & Hellemans, J. (2010). How to do successful gene expression analysis using real-time PCR. *Methods*, 50(4), 227–230. [https://doi.org/10.1016/j.ymeth.2009.11.001](https://doi.org/10.1016/jymeth.2009.11.001)
- Dundas, J., & Ling, M. (2012). Reference genes for measuring mRNA expression. *Theory in Biosciences*, 131(4), 215–223. <https://doi.org/10.1007/s12064-012-0152-5>
- Eastwood, R. J., & Hughes, C. E. (2018). 878. *Lupinus Mutabilis*. *Curtis's Botanical Magazine*, 35(2), 134–148. <https://doi.org/10.1111/curt.12233>
- Entz, M. H., Bullied, W. J., Forster, D. A., Gulden, R., & Vessey, J. K. (2001). Extraction of subsoil nitrogen by alfalfa, alfalfa-wheat, and perennial grass systems. *Agronomy Journal*, 93(3), 495–503. <https://doi.org/10.2134/agronj2001.933495x>
- Expósito-Rodríguez, M., Borges, A. A., Borges-Pérez, A., & Pérez, J. A. (2008). Selection of internal control genes for quantitative real-time RT-PCR studies during tomato development process. *BMC Plant Biology*, 8(1), 131. <https://doi.org/10.1186/1471-2229-8-131>
- Flores Bendezú, J., Calderón, J., Rojas, B., Alarcón Matutti, E., & Gutiérrez, C. (2015). Desnutrición crónica y anemia en niños menores de 5 años de hogares indígenas del Perú – Análisis de la Encuesta Demográfica y de Salud Familiar 2013. *Anales de La Facultad de Medicina*, 76(2), 135. <https://doi.org/10.15381/anales.v76i2.11139>
- Foley, R. C., Jimenez-Lopez, J. C., Kamphuis, L. G., Hane, J. K., Melser, S., & Singh, K.

- B. (2015). Analysis of conglutin seed storage proteins across lupin species using transcriptomic, protein and comparative genomic approaches. *BMC Plant Biology*, 15(1), 1–12. <https://doi.org/10.1186/s12870-015-0485-6>
- Ginzinger, D. G. (2002). Gene quantification using real-time quantitative PCR. *Experimental Hematology*, 30(6), 503–512. [https://doi.org/10.1016/S0301-472X\(02\)00806-8](https://doi.org/10.1016/S0301-472X(02)00806-8)
- Greer, S., Honeywell, R., Geletu, M., Arulanandam, R., & Raptis, L. (2010). Housekeeping genes; expression levels may change with density of cultured cells. *Journal of Immunological Methods*, 355(1–2), 76–79. <https://doi.org/10.1016/j.jim.2010.02.006>
- Gross, R., von Baer, E., Koch, F., Marquard, R., Trugo, L., & Wink, M. (1988). Chemical composition of a new variety of the Andean lupin (*Lupinus mutabilis* cv. Inti) with low-alkaloid content. *Journal of Food Composition and Analysis*, 1(4), 353–361. [https://doi.org/10.1016/0889-1575\(88\)90035-X](https://doi.org/10.1016/0889-1575(88)90035-X)
- Guilengue, N., Alves, S., Talhinas, P., & Neves-Martins, J. (2020). Genetic and genomic diversity in a tarwi (*Lupinus mutabilis* sweet) germplasm collection and adaptability to mediterranean climate conditions. *Agronomy*, 10(1). <https://doi.org/10.3390/agronomy10010021>
- Hidalgo Rodríguez, J. E. M. (2021). *TRANSCRIPTOMA DE TARWI (Lupinus mutabilis Sweet) SOMETIDO A ESTRÉS HÍDRICO*. Tesis para optar el grado de Magister Scientiae en Mejoramiento Genético de Plantas. Univerisad Nacional Agraria La Molina.
- Jacobsen, S. E., & Mujica, A. (2006). El tarwi (*Lupinus mutabilis* Sweet.) y sus parientes silvestres. *Botanica Economica de Los Andes Centrales- Universidad Mayor de San Andrés*, 458–482.
- Jacobsen, S.-E., & Mujica, A. (2008). Geographical distribution of the Andean lupin (*Lupinus mutabilis* Sweet). *Plant Genetic Resources Newsletter*, 155(155).
- Jensen, E. S., Peoples, M. B., Boddey, R. M., Gresshoff, P. M., Henrik, H. N., Alves, B. J. R., & Morrison, M. J. (2012). Legumes for mitigation of climate change and the provision of feedstock for biofuels and biorefineries. A review. In *Agronomy for Sustainable Development* (Vol. 32, Issue 2). <https://doi.org/10.1007/s13593-011-0001-0>

- Joseph, J. T., Poolakkalody, N. J., & Shah, J. M. (2018). Plant reference genes for development and stress response studies. *Journal of Biosciences*, 43(1), 173–187. <https://doi.org/10.1007/s12038-017-9728-z>
- Ke, L. D., Chen, Z., & Yung, W. K. A. (2000). A reliability test of standard-based quantitative PCR: Exogenous vs endogenous standards. *Molecular and Cellular Probes*, 14(2), 127–135. <https://doi.org/10.1006/mcpr.2000.0288>
- Kole, C. (2011). Wild crop relatives: Genomic and breeding resources: Legume crops and forages. In *Wild Crop Relatives: Genomic and Breeding Resources: Legume Crops and Forages*. <https://doi.org/10.1007/978-3-642-14387-8>
- Kozera, B., & Rapacz, M. (2013). Reference genes in real-time PCR. *Journal of Applied Genetics*, 54(4), 391–406. <https://doi.org/10.1007/s13353-013-0173-x>
- Kroc, M., Koczyk, G., Święcicki, W., Kilian, A., & Nelson, M. N. (2014). New evidence of ancestral polyploidy in the Genistoid legume Lupinus angustifolius L. (narrow-leaved lupin). *Theoretical and Applied Genetics*, 127(5), 1237–1249. <https://doi.org/10.1007/s00122-014-2294-y>
- Kudo, T., Sasaki, Y., Terashima, S., Matsuda-Imai, N., Takano, T., Saito, M., Kanno, M., Ozaki, S., Suwabe, K., Suzuki, G., Watanabe, M., Matsuoka, M., Takayama, S., & Yano, K. (2016). Identification of reference genes for quantitative expression analysis using large-scale RNA-seq data of *Arabidopsis thaliana* and model crop plants. *Genes & Genetic Systems*, 91(2), 111–125. <https://doi.org/10.1266/ggs.15-00065>
- Kumar, D., Bansal, G., Narang, A., Basak, T., Abbas, T., & Dash, D. (2016). Integrating transcriptome and proteome profiling: Strategies and applications. *Proteomics*, 16(19), 2533–2544. <https://doi.org/10.1002/pmic.201600140>
- Lacroix, B., & Citovsky, V. (2013). A mutation in negative regulator of basal resistance WRKY17 of *Arabidopsis* increases susceptibility to Agrobacterium-mediated genetic transformation. *F1000Research*, 2(0), 33. <https://doi.org/10.12688/f1000research.2-33.v1>
- Lefroy, E. C., Stirzaker, R. J., & Pate, J. S. (2001). The influence of tagasaste (*Chamaecytisus proliferus* Link.) trees on the water balance of an alley cropping

system on deep sand in south-western Australia. *Australian Journal of Agricultural Research*, 52(2), 235. <https://doi.org/10.1071/AR00035>

Lima-Cabello, E., Alche, V., Foley, R. C., Andrikopoulos, S., Morahan, G., Singh, K. B., Alche, J. D., & Jimenez-Lopez, J. C. (2017). Narrow-leaved lupin (*Lupinus angustifolius* L.)  $\beta$ -conglutin proteins modulate the insulin signaling pathway as potential type 2 diabetes treatment and inflammatory-related disease amelioration. *Molecular Nutrition and Food Research*, 61(5), 1–13. <https://doi.org/10.1002/mnfr.201600819>

Liu, Y., Beyer, A., & Aebersold, R. (2016). On the Dependency of Cellular Protein Levels on mRNA Abundance. *Cell*, 165(3), 535–550. <https://doi.org/10.1016/j.cell.2016.03.014>

Magni, C., Sessa, F., Accardo, E., Vanoni, M., Morazzoni, P., Scarafoni, A., & Duranti, M. (2004). Conglutin  $\gamma$ , a lupin seed protein, binds insulin in vitro and reduces plasma glucose levels of hyperglycemic rats. *Journal of Nutritional Biochemistry*, 15(11), 646–650. <https://doi.org/10.1016/j.jnutbio.2004.06.009>

Mercado, G. (2018). Los caminos del tarwi y la integración andina : Bolivia , Perú y Ecuador. *Researchgate, December*, 6. <https://doi.org/dx.doi.org/10.15741/revbio.03.03.03>

Naganowska, B., Wolko, B., Śliwińska, E., & Kaczmarek, Z. (2003). Nuclear DNA content variation and species relationships in the genus Lupinus (Fabaceae). *Annals of Botany*, 92(3), 349–355. <https://doi.org/10.1093/aob/mcg145>

Narsai, R., Ivanova, A., Ng, S., & Whelan, J. (2010). Defining reference genes in *Oryza sativa* using organ, development, biotic and abiotic transcriptome datasets. *BMC Plant Biology*, 10. <https://doi.org/10.1186/1471-2229-10-56>

Parker, R. M., & Barnes, N. M. (1999). mRNA: detection by in Situ and northern hybridization. *Methods in Molecular Biology (Clifton, N.J.)*, 106(12), 247–283. <https://doi.org/10.1385/0-89603-530-1:247>

Pfaffl, M. W., Tichopad, A., Prgomet, C., & Neuvians, T. P. (2004). Determination of stable housekeeping genes, differentially regulated target genes and sample integrity: BestKeeper - Excel-based tool using pair-wise correlations. *Biotechnology Letters*, 26(6), 509–515. <https://doi.org/10.1023/B:BILE.0000019559.84305.47>

Radonić, A., Thulke, S., Mackay, I. M., Landt, O., Siegert, W., & Nitsche, A. (2004).

Guideline to reference gene selection for quantitative real-time PCR. *Biochemical and Biophysical Research Communications*, 313(4), 856–862.  
<https://doi.org/10.1016/j.bbrc.2003.11.177>

Ramos Otiniano, C. C. (2021). *REGULACIÓN DEL CRECIMIENTO DE YEMAS FLORALES EN TARWI (*Lupinus mutabilis* Sweet) POR RNA-SEQ*. Tesis para optar el grado de Magister Scientiae en Mejoramiento Genético de Plantas.

Santos, C. N., Ferreira, R. B., & Teixeira, A. R. (1997). Seed Proteins of *Lupinus mutabilis*. *Journal of Agricultural and Food Chemistry*, 45(10), 3821–3825.  
<https://doi.org/10.1021/jf970075v>

Smith, P., Cai, Z., Gwary, D., Janzen, H., Kumar, P., McCarl, B., Ogle, S., O'Mara, F., Rice, C., Scholes, B., & Sirotenko, O. (2007). Agriculture In Climate Change 2007: Mitigation. *Cambridge University Press*, 4.

Strozycki, P. M., Szczerk, A., Lotocka, B., Figlerowicz, M., & Legocki, A. B. (2007). Ferritins and nodulation in *Lupinus luteus*: Iron management in indeterminate type nodules. *Journal of Experimental Botany*, 58(12), 3145–3153.  
<https://doi.org/10.1093/jxb/erm152>

Sun-Wada, G. H., Wada, Y., & Futai, M. (2003). Vacuolar H<sup>+</sup> Pumping ATPases in Luminal Acidic Organelles and Extracellular Compartments: Common Rotational Mechanism and Diverse Physiological Roles. *Journal of Bioenergetics and Biomembranes*, 35(4), 347–358. <https://doi.org/10.1023/A:1025780932403>

Swift, J., Alvarez, J. M., Araus, V., Gutiérrez, R. A., & Coruzzi, G. M. (2020). Nutrient dose-responsive transcriptome changes driven by Michaelis–Menten kinetics underlie plant growth rates. *Proceedings of the National Academy of Sciences of the United States of America*, 117(23), 12531–12540.  
<https://doi.org/10.1073/pnas.1918619117>

Tapia, M. E. (2015). El Tarwi, Lupino Andino. *Fondo Ítalo Peruano*, 108.  
<http://fadvamerica.org/wp-content/uploads/2017/04/TARWI-espanol.pdf>

UNCTAD. (2018). *Peru's BioTrade sales reach new high but challenges to growth remain*. UNCTAD (United Nations Conference on Trade and Development).

van Haren, R. J. F., & Arnason, P. (2017). *Lupinus mutabilis for Increased Biomass from marginal lands and value for BIOrefineries*. 16.

[https://research.hanze.nl/ws/files/26068177/Libbio\\_A5\\_booklet\\_WEB.pdf](https://research.hanze.nl/ws/files/26068177/Libbio_A5_booklet_WEB.pdf)

- Vandesompele, J., De Preter, K., Pattyn, F., Poppe, B., Van Roy, N., De Paepe, A., & Speleman, F. (2002). Accurate normalization of real-time quantitative RT-PCR data by geometric averaging of multiple internal control genes. *Genome Biology*, 3(7). <https://doi.org/10.1186/gb-2002-3-7-research0034>
- Wang, M., Wang, Q., & Zhang, B. (2013). Evaluation and selection of reliable reference genes for gene expression under abiotic stress in cotton (*Gossypium hirsutum* L.). *Gene*, 530(1), 44–50. <https://doi.org/10.1016/j.gene.2013.07.084>
- Wang, Zheng, Chen, Y., Fang, H., Shi, H., Chen, K., Zhang, Z., & Tan, X. (2014). Selection of reference genes for quantitative reverse-transcription polymerase chain reaction normalization in *Brassica napus* under various stress conditions. *Molecular Genetics and Genomics : MGG*, 289(5), 1023–1035. <https://doi.org/10.1007/s00438-014-0853-1>
- Wang, Zhong, Gerstein, M., & Snyder, M. (2009). RNA-Seq: a revolutionary tool for transcriptomics in Western Equatoria State. *Nature Reviews Genetics*, 10(1), 57.
- Weis, J., Tan, S., Martin, B., & Wittwer, C. (1992). Detection of rare mRNAs via quantitative RT-PCR. *Trends in Genetics*, 8(8), 263–264. [https://doi.org/10.1016/0168-9525\(92\)90242-V](https://doi.org/10.1016/0168-9525(92)90242-V)
- Wellesley, L., Happer, C., & Froggatt, A. (2015). Changing Climate, Changing Diets Pathways to Lower Meat Consumption. *Chatham House Report, November*, 64. Recuperado de: <http://www.itv.com/news/2015-11-24/taxing-the-sale-of-meat-would-be-less-unpopular-than-many-governments-believe-report-says/>
- Wolko, B., Clements, J. C., Naganowska, B., Nelson, M. N., & Yang, H. (2011). Lupinus. In *Wild Crop Relatives: Genomic and Breeding Resources* (pp. 153–206). Springer Berlin Heidelberg. [https://doi.org/10.1007/978-3-642-14387-8\\_9](https://doi.org/10.1007/978-3-642-14387-8_9)
- Wu, H. Y., Liu, K. H., Wang, Y. C., Wu, J. F., Chiu, W. L., Chen, C. Y., Wu, S. H., Sheen, J., & Lai, E. M. (2014). AGROBEST: An efficient Agrobacterium-mediated transient expression method for versatile gene function analyses in *Arabidopsis* seedlings. *Plant Methods*, 10(1), 1–16. <https://doi.org/10.1186/1746-4811-10-19>
- Wu, T., Wang, R., Xu, X., He, X., Sun, B., Zhong, Y., Liang, Z., Luo, S., & Lin, Y. (2014). *Cucumis sativus* L-type lectin receptor kinase (CsLecRK) gene family response to

*Phytophthora melonis*, *Phytophthora capsici* and water immersion in disease resistant and susceptible cucumber cultivars. *Gene*, 549(2), 214–222.  
<https://doi.org/10.1016/j.gene.2014.07.058>

Xin, X. F., Nomura, K., Underwood, W., & He, S. Y. (2013). Induction and suppression of PEN3 focal accumulation during *Pseudomonas syringae* pv. *tomato* DC3000 infection of *arabidopsis*. *Molecular Plant-Microbe Interactions*, 26(8), 861–867.  
<https://doi.org/10.1094/MPMI-11-12-0262-R>

Zhang, M., Liu, Y. H., Xu, W., Smith, C. W., Murray, S. C., & Zhang, H. Bin. (2020). Analysis of the genes controlling three quantitative traits in three diverse plant species reveals the molecular basis of quantitative traits. *Scientific Reports*, 10(1), 1–14. <https://doi.org/10.1038/s41598-020-66271-8>

Zhou, L., Lim, Q. E., Wan, G., & Too, H. P. (2010). Normalization with genes encoding ribosomal proteins but not GAPDH provides an accurate quantification of gene expressions in neuronal differentiation of PC12 cells. *BMC Genomics*, 11(1).  
<https://doi.org/10.1186/1471-2164-11-75>

Zhou, X., Liao, W. J., Liao, J. M., Liao, P., & Lu, H. (2015). Ribosomal proteins: Functions beyond the ribosome. *Journal of Molecular Cell Biology*, 7(2), 92–104.  
<https://doi.org/10.1093/jmcb/mjv014>

Zolla, G., Badri, D. V., Bakker, M. G., Manter, D. K., & Vivanco, J. M. (2013). Soil microbiomes vary in their ability to confer drought tolerance to *Arabidopsis*. In *Applied Soil Ecology* (Vol. 68). <https://doi.org/10.1016/j.apsoil.2013.03.007>

## **VIII. ANEXOS**

**Anexo 1:** Genes de referencia estables en plantas

Gen de referencia encontrados	Especie/tratamiento o condición	Referencia	Estabilidad
<i>α-Tubulin</i>	<i>A. thaliana</i> / Deficiencia de sulfato, estrés salino, estrés por sequía, ABA	Yoshimoto <i>et al.</i> 2002; Liu <i>et al.</i> 2015	Si
<i>Actin 2</i>	Estrés por deshidratación, estrés por frío, estrés salino, estrés oxidativo.	Msanne <i>et al.</i> 2011; Egert <i>et al.</i> 2013; Atkinson <i>et al.</i> 2013	Si
<i>A. thaliana</i>	Estrés biótico- <i>A.tumefaciens</i> , <i>Heterodera schachtii</i> , <i>Botrytis cinerea</i> , <i>Pseudomonas syringae</i> <i>Pv.maculicola</i> , <i>P. syringae</i> pv. tomato	Woo-Lee <i>et al.</i> 2009; Lacroix and Citovsky 2014; Wu <i>et al.</i> 2014a; Atkinson <i>et al.</i> 2013; Giri <i>et al.</i> 2017	
<i>Actin 3</i>	<i>A. thaliana</i> / Estrés salino, estrés por sequía, ABA	Liu <i>et al.</i> 2015	Si
<i>Actin 2/8 (At3g18780)</i>	<i>A. thaliana</i> / Estrés salino, estrés por sequía, estrés por frío, manitol.	Gong <i>et al.</i> 2015	Si
<i>GAPDH (At1g13440)</i>			Si
<i>UBC28</i>	<i>A. thaliana</i> / Estrés salino, estrés osmótico, estrés por temperatura, estrés radiomimetic, estrés oxidativo, UV(B y C) <b>Zebularine, Trichostatin A, Sodium butyrate</b>	Pecinka <i>et al.</i> 2009	Si
<i>UBQ5(At3g62250)</i>	<i>A. thaliana</i> / Estrés por sequía, estrés salino y manitol	Terry <i>et al.</i> 2015	Si
<i>Tubulin2(AT5G62690)</i>	<i>A. thaliana</i> / Sacarosa, NaCl, manitol, pacllobutrazol, estrés hormonal	Yan <i>et al.</i> 2014; Leng <i>et al.</i> 2017	Si
<i>F-BOX (AT5G15710)</i>	<i>A. thaliana</i> / Estrés metálico	Remans <i>et al.</i> 2008	Si
<i>YLS8 (AT5G08290)</i>			Si
<i>SAND (AT2G28390)</i>			Si
<i>EF1-α (AT5G60390)</i>			Si
<i>PPR (AT5G55840)</i>			No
<i>Expressed (AT4G26410)</i>			No
<i>UBC (AT5G25760)</i>			No

Continuación ...

Gen de referencia encontrados	Especie/tratamiento o condición	Referencia	Estabilidad
<b>TIP41-like (AT4G34270)</b>	<i>A. thaliana</i> Estrés metalico	Remans <i>et al.</i> 2008, Czechowski <i>et al.</i> 2005	No
	<b>Developmental series (79 different tissues, organs, developmental stages, and genotypes)</b>		
<b>Actin 1</b>	<i>A. thaliana</i> / Estrés biótico - <i>Pseudomonas syringae</i> pv.tomato	Xin <i>et al.</i> 2013	Si
<b>Actin 8</b>	<i>A. thaliana</i> / Estrés biótico - <i>A. tumefaciens</i>	Woo-Lee <i>et al.</i> 2009; Wu <i>et al.</i> 2014a; Kim <i>et al.</i> 2007;	Si
<b>UBC21</b>		Vaghchhipawala <i>et al.</i> 2012	Si
<b>GAPDH</b>			Si
<b>eEF1-<math>\alpha</math></b>			Si
<b>UBQ5</b>	<i>A. thaliana</i> / Estrés biótico - <i>B. cinerea</i> ; <i>P. syringae</i> pv. maculicola, <i>P. syringae</i> pv. tomato	Giri <i>et al.</i> 2017	Si
<b>Tubulin2</b>			Si
<b>UBQ10(AT4G05320)</b>	<i>A. thaliana</i> / Estrés biótico- <i>A. tumefaciens</i>		Si
<b>PPR (AT1G62930)</b>			Si
<b>18SrRNA (X52320)</b>			Si
<b>25SrRNA(AT2G01010)</b>			Si
<b>GAPDH (AT1G42970)</b>			No
<b>eIF1 (AT5G54760)</b>		Joseph <i>et al.</i>	No
<b><math>\beta</math>-Tubulin 6 (AT5G23860)</b>		Unpublished	No
<b>Expressed (AT4G26410)</b>			No
<b>EF-1<math>\alpha</math> (AT5G60390)</b>			No
<b>UBC (AT4G27960)</b>			No
<b>AP2M(AT5G46630)</b>			No
<b>Actin 2(AT3G18780)</b>			No
<b><math>\beta</math>-Tubulin 8 (AT5G23860)</b>			No
<b>Tubulin <math>\alpha</math>-4 (AT1G04820)</b>			No
<b>Tubulin <math>\alpha</math>-5 (AT5G19780)</b>			No
<b>UBC28 (AT1G64230)</b>			No
<b>Unknown protein (AT4G26410)</b>			No
<b>SAND (AT2g28390)</b>	<i>A. thaliana</i> / Estrés biótico - <i>Phytophthora infestans</i> , <i>Albugo laibachii</i>	Belhaj <i>et al.</i> 2016	Si

Continuación ...

Gen de referencia encontrados	Especie/tratamiento o condición	Referencia	Estabilidad
<b>PPC2 (At2g42600)</b>	<i>A. thaliana</i> / Estrés biótico ( <i>Erysiphe cichoracearum</i> )	Fauteux <i>et al.</i> 2006	Si
<b>CACS (AT5G46630)</b>	<i>A. thaliana</i> / Developmental series (79 different tissues, organs, developmental stages, and genotypes)	Czechowski <i>et al.</i> 2005	Si
<b>Helicase (At1g58050)</b>			
<b>Expressed (AT4G26410)</b>			
<b>Actin 2 (AT3G18780)</b>			No
<b>Tubulin 6 (At5g12250)</b>			
<b>Actin 7 (At5g09810)</b>			
<b>CBP 20 (At5g44200)</b>			
<b>PP2A (TC21939)</b>	<i>N. benthamiana</i> /	<i>et al.</i> 2012	Si
<b>F-BOX</b>	Estrés abiótico - Tobacco		
<b>60S RPL23 (TC19271)</b>	necrosis virus A, Beet		Si
<b>GAPDH (TC21175)</b>	black scorch virus, Beet necrotic		Si
<b>eEF1-<math>\alpha</math></b>	yellow vein virus, Barley stripe mosaic virus and Potato virus X		No
<b>eEF1-<math>\alpha</math></b>	<i>N. benthamiana</i> . Estrés biótico -	Catinot <i>et al.</i>	Si
<b><math>\beta</math>-Actin</b>	<i>Pseudomonas syringae</i> pv tomato	2008	
	UVC		
	irradiation		
<b>PP2A (X97913)</b>	<i>N. benthamiana</i> / Deshidratación	Catinot <i>et al.</i> 2008	Si
<b>Actin (X69885)</b>	<i>N. tabacum</i> /Hojas,	Schmidt and	Si
<b><math>\alpha</math>-Tubulin (AJ421411)</b>	raíz,tallo,antera,carpelos	Delaney	Si
<b><math>\beta</math>-Tubulin (U91564)</b>		2010	Si
<b>EF-1<math>\alpha</math></b>			Si
<b>Zn finger (XM_009612124)</b>	<i>N. tabacum</i> ./Hojas,tallo,raíz y flores	Guo <i>et al.</i> 2016	No
<b>NADH-DH</b>			Si
<b>CPN60-2</b>			Si
<b>Type III sec</b>			Si
<b>Hypothetical protein</b>			No
<b>GDH</b>			No
<b>Zn finger (gi 158189353)</b>			No
<b>eEF1-<math>\alpha</math> (AK061464)</b>			No
<b>UBQ5 (AK061988)</b>	<i>O. sativa</i> ./Tratamiento con	Jain <i>et al.</i> 2006	Si
<b>25srRNA (AK119809)</b>	hormonas, estrés salino, estrés		Si
<b>18SrRNA (AK059783)</b>	por sequía		Si
<b>UBC (AK059694)</b>			Si
<b>Actin 2 (AK100267)</b>			Si
<b><math>\beta</math>-tubulin (AK072502)</b>			No
<b>GAPDH (AK064960)</b>			No
<b>UBQ10 (AK101547)</b>			No
<b>Actin</b>			No

Continuación ...

Gen de referencia encontrados	Especie/tratamiento o condición	Referencia	Estabilidad
<i>Actin</i> <i>α-Tubulin</i>	<i>O. sativa</i> NaCl, ABA, JA,SA, Probenazole Estrés biótico - <i>Pyricularia grisea</i>	Hashimoto <i>et al.</i> 2004	Si
<i>UBQ1</i>	<i>O. sativa</i> / NaCl, ABA, JA,SA, Probenazole	Hashimoto <i>et al.</i> 2004	Si
<i>UBQ1</i> <i>Actin</i>	<i>O. sativa</i> Temperature, salinity, ABA, BTH, defense signaling compounds, Estrés biótico - <i>Magnaporthe oryzae</i>	Ueno <i>et al.</i> 2015, Chen <i>et al.</i> 2006	Si
<i>eEF1-α</i>	<i>O. sativa</i> / Seedling, different stages of shoot, root, leaf, rachis, inflorescence, flower and seeds	Jain et al. 2006	Si
<i>UBQ5</i>			Si
<i>eIF-4a (AK073620)</i>			Si
<i>UBQ10</i>			Si
<i>18SrRNA</i>			Si
<i>β-tubulin</i>			Si
<i>UBQ3b (CV091027)</i>			No
<i>UBC28 (CF811189)</i>	<i>Vaccinium corymbosum</i> /	Vashisth and	Si
<i>RH8 (DR067965)</i>	Mature fruit, immature fruit, leaf,	Klima	Si
<i>CACSa (DR067098)</i>		2011	Si
<i>EF-1α (CV090683)</i>	stem, flower bud, flower, fruit		Si
<i>UBQ3a (CV091371)</i>	abscission zone, branch		No
<i>Actin7(CF811156)</i>	abscission		No
<i>RHFP (CV090795)</i>	zone		No
<i>β-tubulin (CV090295)</i>			No
<i>GAPDH (CV091251)</i>			No
<i>PP2A (DR067299)</i>			No
<i>CACSb (CV091378)</i>			No
<i>Metallothionein</i>			No
<i>GAPDH</i>	<i>V. corymbosum</i> /Tratamiento con aluminio, tratamiento con frío	Blancheteau <i>et al.</i> 2011; Naik <i>et al.</i> , 2007	Si
<i>Actin</i>	<i>V. corymbosum</i> / Tratamiento con hormona	Zhang <i>et al.</i> 2016	Si
<i>UBC28</i>	<i>V. corymbosum</i> / Heat, dehydration, salt	Chen <i>et al.</i> 2017	Si
<i>HIS3 (AF024716)</i>	<i>Gossypium. hirsutum</i> / Estrés	Li <i>et al.</i> 2016	Si
<i>UBQ7 (DQ116441)</i>	salino/ hojas		Si
<i>CYP1(GQ292530)</i>			Si

Continuación ...

Gen de referencia encontrados	Especie/tratamiento o condición	Referencia	Estabilidad
<i>α-Tubulin 10</i>	<i>G. hirsutum</i> / Estrés salino/en raíz		Si
<i>UBQ7</i>	<i>G. hirsutum</i> / Estrés salino, estrés por sequía/ hojas, raíz		Si
<i>GAPDH</i>			Si
<i>EF-1α 8,</i>			Si
<i>α- Tubulin 10</i>		Wang et al.	Si
<i>HIS3</i>	<i>G. hirsutum</i> / Estrés por sequía/ hojas	2013	Si
<i>UBQ1(EU604080)</i>			Si
<i>EF-1α 8 (DQ174257)</i>			Si
<i>Actin14 (AY305733)</i>	<i>G. hirsutum</i> / Estrés por sequía, salinidad		No
<i>eIF5 (CO492947)</i>			No
<i>CYP1</i>			No
<i>Actin 7</i>	<i>G. hirsutum</i> / Estrés por sequía, por frio, salino, alcalino y ABA	Zhu et al. 2013; Liang et al. 2016	Si
<i>Actin</i>	<i>G. hirsutum</i> / Senescencia de la hoja	Lin et al. 2015	Si
<i>Actin1</i>	<i>G. hirsutum</i> / Tratamiento con hormone, estrés salino, estrés por sequía, tratamiento con H2O2, tratamiento con frío y <b>wounding</b> , senescencia de la hoja	Evans et al. 2016	
<i>UBQ</i>	<i>G. hirsutum</i> / <b>wounding, salt, drought</b>	Dongdong et al. 2016	Si
<i>eEF1-α</i>	<i>G. hirsutum</i> / Estrés por frío, por sequía, salino	Meng et al. 2009	Si
<i>Actin 4</i>	<i>G. hirsutum</i> /Estrés biótico-	Huang et al.	Si
<i>PP2A1</i>	<i>Helicoverpa armigura</i>	2015	Si
<i>UBQ</i>	<i>G. hirsutum</i> / Estrés abiótico – <i>Aphis gossypii</i> (afido) y <i>Bemisia tabacci</i> ( <b>whiteflies</b> )	Dubey et al. 2013	Si
<i>60S (Glyma17g05270)</i>	<i>Glycine max</i> / Deshidratación, estrés salino, estrés por frío, ABA/ Raíz, meristemo apical	Le et al. 2012	Si
<i>F-BOX (Glyma12g05510)</i>			Si
<i>eEF1- β (Glyma02g44460)</i>			Si
<i>ABC(Glyma12g02310)</i>			Si
<i>IDE (AW310136)</i>			Si
<i>Tubulin</i>			No
<i>α(Glyma05g29000)</i>			
<i>UBQ (Glyma13g17830)</i>			No
<i>CDPK (Glyma10g38460)</i>			No
<i>CYP2 (Glyma12g02790)</i>			Si
<i>ABC</i>			Si

Continuación ...

Gen de referencia encontrados	Especie/tratamiento o condición	Referencia	Estabilidad
<i>eEF1-β</i>	<i>G. max</i> / Deshidratación, estrés salino, estrés por frío, ABA/ Raíz		Si
<i>60S(Glyma18g52780)</i>			Si
<i>Actin11 (Glyma18g52780)</i>	<i>G. max</i> / Deshidratación, estrés salino, estrés por frío, ABA/ meristemo apical		Si
<i>F-BOX</i>			Si
<i>IDE</i>			Si
<i>β-Actin</i>	<i>G. max</i> / Estrés por deshidratación	Moreira <i>et al.</i> 2011	No
<i>18SrRNA</i>			No
<i>Lectin</i>			No
<i>β-Tubulin</i>	<i>G. max</i> / Tratamiento por frío, ABA, deshidratación, sal	Cheng <i>et al.</i> 2009	Si
<i>F-BOX</i>	<i>G. max</i> /Estrés por deshidratación	Rodrigues <i>et al.</i> 2010	Si
<i>Actin</i>			Si
<i>α-Tubulin</i>			Si
<i>Actin</i>	<i>G. max</i> /Estrés biótico- <i>Fusarium oxysporum</i>	Lanubile <i>et al.</i> 2015	Si
<i>UBQ3</i>	<i>G. max</i> /Estrés biótico- <i>Phakopsora pachyrhizi</i>	Tremblay <i>et al.</i> 2011	Si
<i>miR156a(MIMAT0001686)</i>		Rodrigues <i>et al.</i> 2010	Si
<i>miR156b(MIMAT0001692)</i>			Si
<i>miR1520d(MIMAT0007379)</i>			Si
<i>miR167c (MIMAT0007355)</i>			No
<i>miR171b (MIMAT0007363)</i>			No
<i>miR156b</i>	<i>G. max</i> / 3 genotipos/ raíz y hojas		Si
<i>miR1520d</i>			No
<i>α-Tubulin (CA801144)</i>			No
<i>CDPK (AW396185)</i>			No
<i>F-BOX (CD397253)</i>			No
<i>miR396a (MIMAT0001687)</i>			No
<i>eEF1-α (TC203954)</i>	<i>G. max</i> / Diferentes tejidos, estados de desarrollo, cultivares, tratamientos de fotoperiodo	Jian <i>et al.</i> 2008	Si
<i>CYP2 (TC224926)</i>			Si
<i>Actin11 (TC204137)</i>			Si
<i>UBQ10 (TC203625)</i>			Si
<i>GAPDH (TC224599)</i>			Si
<i>β-Tubulin (TC203804)</i>			No

Continuación ...

Gen de referencia encontrados	Especie/tratamiento o condición	Referencia	Estabilidad
<i>eEF1-α(EF581011.1)</i>	<i>Saccharum Sp.</i> / Tratamiento con ABA, MeJA y SA	Ling <i>et al.</i> 2014	Si
<i>GAPDH (CA254672)</i>			Si
<i>CUL (C574093.1)</i>			Si
<i>TIPS-4(CA228782.1)</i>			No
<i>UBQ (CA262530.1)</i>			No
<i>β-Tubulin (CA222437)</i>			No
<i>CAC (CA203604.1)</i>	<i>Saccharum Sp.</i> / Tratamiento con H <sub>2</sub> O <sub>2</sub> , NaCl, PEG, CuCl <sub>2</sub> y CdCl <sub>2</sub>		Si
<i>CUL</i>			Si
<i>APRT (CA089592.1)</i>			Si
<i>TIPS-4I</i>			No
<i>β-Actin (CA148161)</i>			No
<i>18SrRNA(SCFRRE06)</i>			No
<i>GAPDH</i>	<i>Saccharum Sp.</i> / Tratamiento con ABA, MeJA, SA, H <sub>2</sub> O <sub>2</sub> , NaCl, PEG, CuCl <sub>2</sub> y CdCl <sub>2</sub>		No
<i>CUL</i>			No
<i>eEF1-α</i>			No
<i>β-Tubulin</i>			No
<i>TIPS-4I</i>			No
<i>UBQ</i>			No
<i>APRT</i>	<i>Saccharum Sp.</i> / Estrés por sequía		No
<i>β-Actin</i>			No
<i>eEF1-α</i>	<i>Saccharum Sp.</i> / Estrés por sequía, estrés salino	Guo <i>et al.</i> 2014	Si
<i>GAPDH</i>			Si
<i>EIF-4α</i>			Si
<i>TIPS-4I</i>			No
<i>18SrRNA</i>			No
<i>PRR</i>			Si
<i>CAC</i>	<i>Saccharum Sp.</i> / Leaf, leaf sheath, stem epidermis,	Ling <i>et al.</i> 2014	Si
<i>CUL</i>	stem pith and bud from different cultivars		Si
<i>UBQ</i>			No
<i>β-Actin,</i>			No
<i>PRR</i>			No
<i>25S rRNA(CA171131)</i>	<i>Saccharum Sp.</i> / Immature leaf roll, lamina from fully expanded leaf, stem, internodes, roots	Iskandar <i>et al.</i> 2004	No
<i>GAPDH</i>			No
<i>β-Actin,</i>			Si
<i>β-Tubulin</i>			Si
<i>Actin,</i>	<i>Daucus carota</i> / Estrés por sequía, estrés salino, tratamiento hormonal, tratamiento con frío y calor	Tian <i>et al.</i> 2015	Si
<i>EIF-4α</i>			Si
<i>GAPDH</i>			Si
<i>SAND</i>			No
<i>PP2A</i>			No
<i>UBQ</i>			Si

Continuación ...

Gen de referencia encontrados	Especie/tratamiento o condición	Referencia	Estabilidad
<b>EF-1α</b>	<i>Daucus carota</i> / Estrés por sequía, estrés salino, tratamiento con frío y calor		Si
<b>TIP41</b>			No
<b>eIF-4α</b>			No
<b>Actin</b>	<i>Daucus carota</i> Estrés por deshidratación	Perrin <i>et al.</i> 2017; Boedo <i>et al.</i> 2008	Si
<b>β-Tubulin</b>	<i>Alternaria dauci</i> Estrés abiótico-		Si
<b>GAPDH</b>	<i>Daucus carota</i> / Estrés abiótico- <i>Alternaria dauci</i>		Si
<b>GAPDH</b>	<i>Actinidia deliciosa</i> / Estrés abiótico-	Coker and	Si
<b>PP2A</b>	<i>Pseudomonas syringae</i> pv. <i>actinidiae</i>	Davies 2003	Si
<b>β-Tubulin</b>			No
<b>7s-globulin</b>			No
<b>Actin</b>	<i>Actinidia deliciosa</i> /Tratamientos con luz, tratamiento hormonal, estrés por calor, estrés por anegamiento, tratamiento con alta concentración de CO <sub>2</sub> , poscosecha y pérdida de agua	Li <i>et al.</i> 2013a; Li <i>et al.</i> 2013b; Yin <i>et al.</i> 2012	Si
<b>VATP16(XM_002269086.1)</b>			Si
<b>60S</b>			Si
<b>RPL18(XM_002270599.1)</b>	<i>Vitis vinifera</i> / Estrés biótico- <i>Plasmopara viticola</i> , <i>Botrytis cinerea</i> / fruto		
<b>18S rRNA(GQ849399)</b>			No
<b>VPS54</b>			No
<b>(XM_002272141.1)</b>		Gamm <i>et al.</i>	
<b>UQCC</b>		2011	No
<b>(XM_002264785.1)</b>			
<b>VATP16(XM_002269086.1)</b>			Si
<b>60S RPL18</b>	<i>Vitis vinifera</i> / Estrés biótico-		Si
<b>UQCC</b>	<i>Plasmopara viticola</i> , <i>Botrytis cinerea</i> / hojas		Si
<b>18S rRNA,</b>			No
<b>UBE2</b>			No
<b>39S RP</b>			No
<b>(XM_002285709.1)</b>			
<b>Actin</b>	<i>Vitis vinifera</i> / Estrés salino y estrés osmótico	Ma <i>et al.</i> 2015	Si
<b>AIG1(XM_002281960)</b>			Si

Continuación ...

Gen de referencia encontrados	Especie/tratamiento o condición	Referencia	Estabilidad
<b>TCPB(XM_002285876)</b>	<i>Vitis vinifera/</i> Durantes la antesis, cuajado y bayas de 6–8 mm	González-Agüero <i>et al.</i> 2013	Si
<b>Actin1</b>	<i>Vitis vinifera/</i> Fruto en diferentes estadios	Wang <i>et al.</i> 2012	Si
<b>Actin</b>	<i>Vitis vinifera/</i> Fruto	Pilati <i>et al.</i> 2007	Si
<b>GAPDH (SGN-U347734)</b>	<i>Coffea arabica/</i> Estrés biótico-	Barsalobres-	Si
<b>14-3-3(SGN-U356404)</b>	<i>Hemileia vastatrix</i>	Cavallari <i>et al.</i> 2009	Si
<b>60SRPL7(SGN-U351477)</b>			No
<b>ADH (SGN-U350348)</b>			No
<b>UBQ (SGN-U347154)</b>			No
<b>Actin 7</b>			No
<b>GAPDH</b>	<i>Coffea arabica/</i> En diferentes órganos		Si
<b>14-3-3</b>			Si
<b>60S RPL7</b>			Si
<b>ADH</b>			No
<b>UBQ,</b>			No
<b>Actin 7</b>			No
<b>CYP (AF126551)</b>	<i>Solanum tuberosum/</i> Estrés salino	Nicot <i>et al.</i> 2005	Si
<b>18SrRNA (X67238)</b>	<i>Solanum tuberosum/</i> Estrés salino, estrés por sequía		Si
<b>eEF1-<math>\alpha</math> (AB061263)</b>			Si
<b>RPL2 (39816659)</b>	<i>Solanum tuberosum/</i> Estrés por frío		Si
<b>Actin (X55749)</b>			Si
<b><math>\beta</math>-Tubulin (609267)</b>	<i>Solanum tuberosum/</i> Estrés por frío, estrés salino		Si
<b>eEF1-<math>\alpha</math></b>	<i>Solanum tuberosum</i> Estrés por deshidratación, estrés por intensidad de luz	Szalonek <i>et al.</i> 2015	Si
	Tizón tardío	Nicot <i>et al.</i> 2005	
	Estrés biótico- <i>Fusarium solani</i>	Charfeddine <i>et al.</i> 2016	
<b>18SrRNA</b>	<i>Solanum tuberosum/</i> Tizón	Nicot <i>et al.</i> 2005	Si
<b><math>\beta</math>-Tubulin</b>	tardío		Si
<b>Actin</b>			No
<b>CYP (AY942800)</b>	<i>Cucumis sativus/</i> Diferente fuente de nitrógeno/ Raíz		Si
<b>TIP41(GW881871)</b>		Warzybok and	Si

Continuación ...

Gen de referencia encontrados	Especie/tratamiento o condición	Referencia	Estabilidad
		Migocka 2013	
<b>Expressed protein (GW881873)</b>	<i>Cucumis s.</i> / Diferente fuente de nitrógeno/Tallo		Si
<b>CACS (GW881874)</b>			Si
<b>EF-1<math>\alpha</math> (EF446145)</b>	<i>Cucumis s.</i> / Diferente fuente de nitrógeno/ Hoja		Si
<b>Actin (AB010922)</b>	nitrógeno/ Hoja		Si
<b>Expressed protein TIP41</b>	<i>Solanum t.</i> / Diferente fuente de nitrógeno/ En todos los órganos		Si
<b>CYP</b>			Si
<b>YSL8</b>			No
<b>TIP41</b>	<i>S. tuberosum</i> / Nitrogen deprivation,		No
<b>UBQ (AF104391)</b>	varying nitrate availability/ Raíz		Si
<b>Actin</b>	<i>S. tuberosum</i> / privación de nitrógeno,		Si
<b>F-box(GW881870)</b>	disponibilidad variable de nitrato/ Tallo		
<b>EF-1<math>\alpha</math></b>	<i>S. tuberosum</i> / privación de nitrógeno, disponibilidad variable de nitrato / Hoja		Si
Continuación ...			
<b>TIP41</b>	<i>S. tuberosum</i> / privación de nitrógeno,		No
<b>CACS</b>	disponibilidad variable de nitrato		Si
<b>CYP</b>	/ En todos los órganos		No
<b>PDF2</b>			No
<b>UBQ</b>	<i>S. tuberosum</i> / Tratamiento con hormonas ,sal, frio, wounding	Yang <i>et al.</i> 2012	Si
<b>Actin</b>	<i>S. tuberosum</i> / Estrés fotooxidativo	Li <i>et al.</i> 2013b	Si
<b>CACS, F-box, TIP41</b>	<i>S. tuberosum</i> / Estrés por sequía, salino, tratamiento con ABA	Gan <i>et al.</i> 2017	Si
<b>EF-1<math>\alpha</math></b>	<i>S. tuberosum</i> / tratamiento con calor, frío, hormonal, estrés por deshidratación	Wang <i>et al.</i> 2015	Si
<b>UBQ</b>	<i>S. tuberosum</i> / Estrés biótico- <i>Phytophthora melonis</i> , <i>P. capsici</i>	Wu <i>et al.</i> 2014b	Si
<b>Actin</b>	<i>S. tuberosum</i> / Estrés biótico- <i>Fusarium oxysporum</i>	Zhou and Wu 2009	Si
<b>EF-1<math>\alpha</math></b>	<i>S. tuberosum</i> / Estrés biótico- <i>Pseudoperonospora cubensis</i>	Wang <i>et al.</i> 2015	Si
<b>CAC (SGN-U314153)</b>			Si

Continuación ...

Gen de referencia encontrados	Especie/tratamiento o condición	Referencia	Estabilidad
<b>TIP41(SGN-U321250)</b>	<i>Solanum lycopersicum</i> / Primary root, mature root, cotyledons, leaf samples,		Si
<b>Expressed (SGN-U346908)</b>	inflorescence, seeds and pericarp at different developmental stages	Expósito-rodríguez <i>et al.</i> 2008	Si
<b>SAND(SGN-U316474)</b>			No
<b>eEF1-<math>\alpha</math> (X53043)</b>			No
<b><math>\alpha</math>-tubulin(AC122540)</b>			No
<b>GAPDH (U97257)</b>			No
<b>DnaJ-like (TCI24053)</b>	<i>S. lycopersicum</i> /Hojas, raíz, fruto y flores	Coker and Davies 2003	Si
<b>TCTP (TC115845)</b>			Si
<b><math>\alpha</math>-tubulin (TC115716)</b>			Si
<b>CYP (TC115937)</b>			Si
<b>GAPDH (TC115908)</b>			Si
<b>Catalase (TC115865)</b>			Si
<b>Cys protease (TC124125)</b>			Si
<b>UDP glucose PTG</b>			Si
<b>Chaperonin-60 <math>\beta</math></b>			Si
<b>Actin (TC194780)</b>	<i>S. lycopersicum</i> /Estrés por nitrógeno, frío, luz	Løvdal and Lillo 2009	Si
<b><math>\beta</math>-tubulin (DQ205342)</b>			Si
<b>RPL2 (X64562)</b>			Si
<b>PP2A (AY325817)</b>			Si
<b>GAPDH</b>			No
<b>PGK (TC203809)</b>			No
<b>eEF1-<math>\alpha</math> (X14449)</b>			No
<b>GAPDH (U93208)</b>	<i>Solanum l.</i> /Estrés abiótico por virus	Mascia <i>et al.</i> 2010	Si
<b>Actin (BT013707)</b>			Si
<b>Uridylate kinase</b>			Si
<b>UBQ 3 (X58253)</b>			Si
<b>18S rRNA (X51576)</b>			No
<b>eEF1-<math>\alpha</math> (X53043)</b>			No
<b>PTPSec23A, 26S proteasome, AAAsuperfamily, ARF, RNase L inhibitor, Hypothetical</b>	<i>Triticum aestivum</i> / Root, shoot, stem, leaves, spike, floral organs and caryopses at different developmental stages, temperature stress A1	Paolacci <i>et al.</i> 2009	Si
<b>UQCR Fe-S</b>			Si
<b>Histone, RP,<math>\beta</math>-Tubulin, Znfinger, Actin, A20-like</b>			No

Continuación ...

Gen de referencia encontrados	Especie/tratamiento o condición	Referencia	Estabilidad
<b>Actin</b>	<i>Triticum aestivum/ Estrés salino, tratamiento por calor, tratamiento por frío, estrés por sequía, tratamiento con ABA</i>	Goyal <i>et al.</i> 2016; Qin <i>et al.</i> 2008; Zhu <i>et al.</i> 2014; Dong <i>et al.</i> 2012	No
<b><math>\alpha</math>-tubulin</b>	<i>Triticum aestivum/ tratamiento con hormonas, sal, calor</i>	Han <i>et al.</i> 2012	No
<b>5SrRNA, APTI</b>	<i>Triticum aestivum/ estrés por sequía, calor, sal</i>	Pandey <i>et al.</i> 2014	No
<b>eEF1-<math>\alpha</math>, <math>\beta</math>-Tubulin</b>	<i>Triticum aestivum/ Estrés biótico- <i>Blumeria graminis f. sp. Tritici</i></i>	Tayeh <i>et al.</i> 2014	Si
<b>Actin</b>	<i>Triticum aestivum /Estrés biótico-<i>Rhizoctonia cerealis</i></i>	Zhu <i>et al.</i> 2014	Si

#### Anexo 2: Análisis de las 5 pruebas de homocedasticidad (\*media)

Gene_id	Pruebas de normalidad		Pruebas de homocedasticidad				
	Shapiro-Wilk	Kolmogorov-Smirnov	Levene(*)	Barlett	F-test	Satterh-Kligne	Hartley
TRINITY_DN10129_c0_g1	0.2473	0.2051	0.1965	0.05463	0.0542544	0.3351	0.05425
TRINITY_DN10491_c0_g1	0.4894	0.493	<b>0.04878</b>	0.3282	0.328705	<b>0.0498</b>	0.3287
TRINITY_DN10551_c0_g1	0.4629	0.6677	<b>0.006738</b>	0.07976	0.0794666	<b>0.03565</b>	0.07946
TRINITY_DN12076_c0_g1	0.8106	0.8661	0.9567	0.7957	0.796094	0.9885	0.7961
TRINITY_DN12238_c0_g2	0.842	0.4767	0.1861	<b>0.02729</b>	<b>0.0268814</b>	0.09087	<b>0.02688</b>
TRINITY_DN12386_c0_g1	0.4275	0.7203	0.1537	0.5463	0.547008	0.1278	0.547
TRINITY_DN12694_c0_g1	0.8616	0.5409	0.3571	0.642	0.642588	0.2926	0.6426
TRINITY_DN13672_c0_g1	0.3889	0.5643	0.6471	0.5228	0.523513	0.7546	0.5235
TRINITY_DN13980_c0_g1	0.253	0.5657	0.6759	0.4068	0.407402	0.8765	0.4074
TRINITY_DN15103_c0_g1	0.2952	0.3825	<b>0.01062</b>	0.2479	0.248248	<b>0.01349</b>	0.2482
TRINITY_DN15552_c0_g1	0.4289	0.6181	0.5505	0.7152	0.71575	0.1739	0.7157
TRINITY_DN15665_c0_g1	0.1346	0.1324	<b>0.02662</b>	<b>0.03164</b>	<b>0.0312213</b>	<b>0.0273</b>	<b>0.03122</b>
TRINITY_DN15806_c0_g1	<b>0.01525</b>	0.06721	<b>0.0007311</b>	<b>0.04116</b>	<b>0.0407514</b>	<b>0.00588</b>	<b>0.04075</b>
TRINITY_DN16045_c0_g1	0.6001	0.6679	0.113	<b>0.04009</b>	<b>0.039684</b>	0.1739	<b>0.03968</b>
TRINITY_DN16344_c0_g1	0.09102	<b>0.02819</b>	0.06661	0.1398	0.139798	0.06569	0.1398
TRINITY_DN16357_c0_g1	0.9206	0.828	0.8187	0.6327	0.633343	0.8596	0.6333
TRINITY_DN16764_c0_g1	0.8811	0.8811	0.4283	0.4372	0.437854	0.3387	0.4378
TRINITY_DN17114_c0_g1	0.1947	0.1232	0.2879	0.6614	0.662004	0.4945	0.662
TRINITY_DN17322_c0_g3	0.4662	0.6234	0.4152	0.679	0.679545	0.782	0.6795
TRINITY_DN17555_c0_g1	<b>0.04445</b>	0.1156	<b>0.001402</b>	<b>0.02202</b>	<b>0.0216157</b>	<b>0.01354</b>	<b>0.02162</b>
TRINITY_DN17590_c0_g1	0.4218	0.8051	0.07237	0.2264	0.226708	0.2538	0.2267
TRINITY_DN17652_c0_g1	0.05136	<b>0.04757</b>	<b>0.000285</b>	0.1041	0.103913	<b>0.005841</b>	0.1039
TRINITY_DN17776_c0_g1	0.2833	0.3227	<b>0.03417</b>	0.2366	0.236909	<b>0.04991</b>	0.2369
TRINITY_DN17806_c0_g1	0.1807	<b>0.03193</b>	<b>0.0003393</b>	0.1297	0.129649	<b>0.005881</b>	0.1296
TRINITY_DN18221_c0_g1	<b>0.001227</b>	<b>0.001701</b>	4.10E-07	<b>0.003965</b>	<b>0.00375975</b>	<b>0.005923</b>	<b>0.00376</b>

Continuación...

TRINITY_DN18240_c0_g1	0.3778	0.5784	0.7017	0.9203	0.920507	0.6619	0.9205
TRINITY_DN18362_c0_g1	0.2699	0.1038	0.01846	0.006659	0.00639298	0.005882	0.006393
TRINITY_DN18572_c0_g1	0.2155	0.584	0.1382	0.288	0.28843	0.23	0.2884
TRINITY_DN18595_c0_g1	0.5702	0.6579	0.005237	0.1465	0.146446	0.0072	0.1464
TRINITY_DN18747_c0_g2	0.2476	0.5738	0.07003	0.07211	0.0717934	0.8544	0.07179
TRINITY_DN18802_c0_g1	0.2014	0.1654	0.845	0.8663	0.866623	0.8775	0.8666
TRINITY_DN18893_c0_g2	0.5405	0.2013	0.9556	0.8448	0.845119	0.7526	0.8451
TRINITY_DN18903_c0_g1	0.4433	0.5027	0.05222	0.142	0.142003	0.4348	0.142
TRINITY_DN18909_c0_g1	0.9967	0.9104	0.7045	0.8324	0.832743	0.5567	0.8327
TRINITY_DN18947_c0_g2	0.09081	0.435	0.04271	0.1325	0.132461	0.3642	0.1325
TRINITY_DN19015_c5_g1	0.4029	0.424	0.1048	0.2741	0.274541	0.1993	0.2745
TRINITY_DN19121_c0_g1	0.4853	0.5038	0.1582	0.2133	0.213563	0.1003	0.2136
TRINITY_DN19139_c0_g2	0.6903	0.72	0.3718	0.7277	0.728218	0.6154	0.7282
TRINITY_DN19209_c0_g2	0.3273	0.7648	0.4918	0.6491	0.649738	0.7065	0.6497
TRINITY_DN19266_c0_g2	0.3114	0.01596	0.2158	0.6117	0.612303	0.3212	0.6123
TRINITY_DN19543_c1_g1	0.4832	0.4637	0.2354	0.3874	0.387974	0.3212	0.388
TRINITY_DN19576_c0_g2	0.5413	0.9336	0.08869	0.2826	0.282993	0.96	0.283
TRINITY_DN19583_c1_g1	0.1101	0.4406	0.3225	0.6958	0.696341	0.2542	0.6963
TRINITY_DN19583_c4_g1	0.001332	0.001483	0.003894	0.009028	0.00872377	0.361	0.008724
TRINITY_DN19598_c0_g1	0.1113	0.1082	0.9698	0.9398	0.939956	0.686	0.9399
TRINITY_DN19603_c0_g1	0.5661	0.8709	0.6742	0.749	0.749441	0.5993	0.7494
TRINITY_DN19630_c0_g1	0.3903	0.3806	0.08096	0.09068	0.0412693	0.1999	0.04127
TRINITY_DN19689_c0_g1	0.3153	0.6046	0.7092	0.6622	0.662795	0.7824	0.6628
TRINITY_DN19765_c0_g2	0.2646	0.2825	0.00004094	0.001557	0.00143844	0.005882	0.001438
TRINITY_DN19920_c0_g1	0.3754	0.2046	0.2677	0.2229	0.223189	0.2971	0.2232
TRINITY_DN19959_c0_g1	0.9415	0.772	0.02505	0.05865	0.0582824	0.04149	0.05828
TRINITY_DN19971_c4_g2	0.3407	0.2276	0.2247	0.4588	0.459428	0.2296	0.4594
TRINITY_DN19997_c1_g1	0.4084	0.3467	0.3418	0.5586	0.559314	0.7546	0.5593
TRINITY_DN20060_c2_g1	0.9083	0.5293	0.9578	0.7759	0.776357	0.9448	0.7763
TRINITY_DN20062_c0_g1	0.5554	0.8922	0.00002898	0.07575	0.0754393	0.005882	0.07544
TRINITY_DN20246_c0_g3	0.07616	0.02552	0.00003869	0.001729	0.00160218	0.005923	0.001602
TRINITY_DN20247_c5_g3	0.991	0.9961	0.6531	0.542	0.542715	0.7374	0.5427
TRINITY_DN20251_c0_g2	0.6852	0.3774	0.7284	0.5476	0.548233	0.878	0.5482
TRINITY_DN20257_c0_g1	0.3823	0.1554	0.3244	0.523	0.523681	0.151	0.5237
TRINITY_DN20346_c0_g4	0.2097	0.2431	0.133	0.1917	0.191895	0.1307	0.1919
TRINITY_DN20389_c0_g1	0.6569	0.61	0.2115	0.5495	0.550202	0.286	0.5502
TRINITY_DN20613_c0_g8	0.9234	0.5178	0.3666	0.615	0.61564	0.8368	0.6156
TRINITY_DN20828_c5_g1	0.08029	0.0195	0.003106	0.1493	0.149289	0.02139	0.1493
TRINITY_DN20894_c2_g2	0.2884	0.1276	0.1498	0.3327	0.333208	0.6988	0.3332
TRINITY_DN20901_c0_g3	0.3391	0.2646	0.5982	0.9723	0.97238	0.7523	0.9724
TRINITY_DN20921_c0_g3	0.5083	0.4996	0.9032	0.8199	0.820265	0.8094	0.8202
TRINITY_DN20956_c1_g3	0.3426	0.2404	0.2287	0.2786	0.279014	0.1803	0.279
TRINITY_DN20960_c0_g2	0.0579	0.05321	0.00003265	0.004341	0.00412583	0.005882	0.004126
TRINITY_DN20971_c0_g4	0.6112	0.7117	0.4139	0.3682	0.368843	0.3351	0.3688
TRINITY_DN21010_c0_g1	0.5715	0.7602	0.2528	0.2126	0.212871	0.2649	0.2129
TRINITY_DN21025_c3_g2	0.5535	0.6652	0.03492	0.1205	0.120422	0.02717	0.1204
TRINITY_DN21101_c3_g2	0.1441	0.4335	0.2521	0.2047	0.204929	0.8038	0.2049
TRINITY_DN21122_c5_g4	0.5944	0.08492	0.4942	0.4897	0.490431	0.4708	0.4904
TRINITY_DN21138_c2_g4	0.1863	0.06108	0.005919	0.08798	0.0877238	0.02139	0.08772
TRINITY_DN21213_c0_g1	0.01369	0.05109	0.2678	0.4285	0.429169	0.1	0.4292
TRINITY_DN21232_c1_g2	0.1766	0.13	0.5778	0.3422	0.342706	0.7443	0.3427
TRINITY_DN21304_c0_g1	0.8139	0.4355	0.4536	0.8166	0.816946	0.3391	0.8169
TRINITY_DN21377_c6_g1	0.6275	0.4004	0.5061	0.4069	0.407502	0.5671	0.4075
TRINITY_DN21405_c0_g1	0.3506	0.1774	0.9406	0.6518	0.652431	0.6609	0.6524
TRINITY_DN21407_c0_g1	0.2256	0.1868	0.9437	0.8037	0.804067	0.8884	0.804
TRINITY_DN21421_c1_g1	0.1661	0.3014	0.1844	0.05996	0.0595949	0.1737	0.05959
TRINITY_DN21460_c0_g2	0.363	0.3631	0.117	0.3612	0.361753	0.2049	0.3617
TRINITY_DN21484_c1_g1	0.6768	0.5135	0.1539	0.155	0.154971	0.119	0.155
TRINITY_DN21524_c0_g9	0.1172	0.3253	0.4172	0.2784	0.278835	0.2343	0.2788
TRINITY_DN21542_c1_g2	0.416	0.6158	3.45E-07	0.001517	0.00140068	0.005841	0.001401
TRINITY_DN21561_c1_g3	0.03388	0.2848	0.04205	0.009638	0.00932536	0.2504	0.009325
TRINITY_DN21591_c0_g1	0.8002	0.9761	0.8031	0.8412	0.841487	0.6865	0.8415
TRINITY_DN21613_c1_g1	0.1085	0.1587	0.5274	0.6619	0.662484	0.3393	0.6625
TRINITY_DN21622_c1_g1	0.02947	0.03487	0.01149	0.02367	0.023266	0.01347	0.02327
TRINITY_DN21634_c0_g1	0.2169	0.1264	0.0007244	0.06227	0.061916	0.01347	0.06191
TRINITY_DN21660_c0_g1	0.8065	0.9089	0.3075	0.2911	0.291511	0.61	0.2915
TRINITY_DN21701_c1_g3	0.1144	0.4954	0.2829	0.4138	0.414469	0.6444	0.4145
TRINITY_DN21761_c0_g1	0.3586	0.5002	0.1693	0.1905	0.190687	0.08403	0.1907
TRINITY_DN21801_c0_g2	0.03879	0.1277	0.001077	0.04643	0.0460357	0.02717	0.04603
TRINITY_DN21805_c0_g1	0.2848	0.3431	0.7055	0.7284	0.728944	0.635	0.7289
TRINITY_DN21863_c3_g3	0.05559	0.2478	0.02474	0.04046	0.0400519	0.05871	0.04005
TRINITY_DN21929_c1_g2	0.7071	0.8534	0.1102	0.0764	0.0760986	0.2258	0.0761

## Continuación...

TRINITY_DN21932_c3_g1	0.4959	0.4213	0.1193	0.2863	0.286767	0.1906	0.2868
TRINITY_DN21995_c0_g1	0.5938	0.5574	0.7958	0.7065	0.707056	0.6624	0.707
TRINITY_DN22057_c0_g2	0.9956	0.9629	0.003568	0.04571	0.0453105	0.0136	0.04531
TRINITY_DN22089_c1_g1	0.5046	0.8499	0.8786	0.9155	0.915736	0.9049	0.9157
TRINITY_DN22112_c1_g1	0.7762	0.8188	0.5427	0.5628	0.563482	0.7546	0.5635
TRINITY_DN22140_c0_g1	0.8686	0.7843	0.3483	0.6046	0.605297	0.7374	0.6053
TRINITY_DN22154_c3_g3	0.2983	0.3787	0.1567	0.3579	0.358526	0.2819	0.3585
TRINITY_DN22195_c2_g1	0.6177	0.3627	0.447	0.581	0.581636	0.6508	0.5816
TRINITY_DN22212_c0_g1	0.3315	0.5726	0.4706	0.5619	0.562555	0.2053	0.5625
TRINITY_DN22272_c1_g2	0.1623	0.4692	0.07057	0.3884	0.388971	0.08494	0.389
TRINITY_DN22317_c0_g2	0.2982	0.5089	0.8516	0.9896	0.989617	0.286	0.9896
TRINITY_DN22326_c0_g1	0.01812	0.04197	0.6616	0.311	0.311501	0.5567	0.3115
TRINITY_DN22338_c3_g6	0.1156	0.3059	0.0577	0.115	0.114842	0.0355	0.1148
TRINITY_DN22342_c3_g1	0.1491	0.5256	0.01235	0.02167	0.0212674	0.005882	0.02127
TRINITY_DN22375_c0_g2	0.9255	0.4444	0.905	0.968	0.968115	0.7065	0.9681
TRINITY_DN22397_c0_g1	0.6592	0.5259	0.3753	0.4336	0.434297	0.2505	0.4343
TRINITY_DN22406_c1_g3	0.03264	0.08442	0.01734	0.5398	0.540515	0.06501	0.5405
TRINITY_DN22408_c3_g1	0.7736	0.5216	0.3707	0.7536	0.754041	0.205	0.754
TRINITY_DN22408_c7_g1	0.4879	0.7886	0.1352	0.4136	0.414222	0.1112	0.4142
TRINITY_DN22417_c0_g1	0.1193	0.2539	0.01024	0.3002	0.30063	0.06467	0.3006
TRINITY_DN22418_c1_g3	0.2498	0.6121	0.9915	0.7917	0.792071	0.6619	0.7921
TRINITY_DN22437_c0_g1	0.1904	0.483	0.1019	0.0952	0.0949648	0.09115	0.09496
TRINITY_DN22441_c0_g1	0.7031	0.8534	0.7443	0.8623	0.862599	0.744	0.8626
TRINITY_DN22461_c1_g1	0.4755	0.547	0.5189	0.5866	0.587277	0.4312	0.5873
TRINITY_DN22470_c0_g2	0.1467	0.465	0.01809	0.147	0.146936	0.04991	0.1469
TRINITY_DN22503_c0_g2	0.05337	0.1306	0.04061	0.4776	0.478322	0.1314	0.4783
TRINITY_DN22504_c0_g1	0.5933	0.2932	0.08061	0.3701	0.370715	0.1133	0.3707
TRINITY_DN22644_c0_g1	0.1441	0.1939	0.1893	0.3174	0.31793	0.3427	0.3179
TRINITY_DN22662_c0_g2	0.325	0.2154	0.2031	0.4639	0.464567	0.2543	0.4646
TRINITY_DN22676_c1_g1	0.3033	0.4257	0.05783	0.2241	0.224414	0.09987	0.2244
TRINITY_DN22676_c2_g5	0.2324	0.4376	0.08893	0.03223	0.0318149	0.08376	0.03181
TRINITY_DN22678_c3_g1	0.02561	0.008625	0.003628	0.002052	0.00191166	0.005841	0.001912
TRINITY_DN22680_c0_g7	0.6396	0.7451	0.08883	0.3756	0.376251	0.151	0.3762
TRINITY_DN22683_c0_g1	0.8554	0.9236	0.0009311	0.009442	0.00913209	0.005923	0.009132
TRINITY_DN22715_c1_g1	0.3116	0.2864	0.0251	0.1694	0.169457	0.03565	0.1695
TRINITY_DN22757_c3_g2	0.8796	0.7131	0.1531	0.2699	0.270303	0.1586	0.2703
TRINITY_DN22777_c0_g1	0.3732	0.6806	0.09261	0.3555	0.356083	0.1741	0.3561
TRINITY_DN22777_c0_g3	0.3613	0.4522	0.1299	0.4371	0.437729	0.3423	0.4377
TRINITY_DN22833_c0_g1	0.8946	0.972	0.00002992	0.006294	0.00603507	0.005881	0.00603
TRINITY_DN22869_c2_g1	0.3196	0.2302	0.03062	0.08591	0.0856462	0.1188	0.08564
TRINITY_DN22914_c0_g1	0.299	0.121	0.947	0.7622	0.762683	0.5021	0.7627
TRINITY_DN22972_c3_g1	0.9988	0.9392	0.9017	0.8365	0.836887	0.8927	0.8369
TRINITY_DN23005_c2_g1	0.4675	0.4274	0.06263	0.3259	0.326461	0.05892	0.3265
TRINITY_DN23019_c0_g2	0.9135	0.7003	0.6472	0.8126	0.812966	0.8987	0.8129
TRINITY_DN23027_c0_g2	0.1727	0.3873	0.005909	0.2202	0.220426	0.06501	0.2204
TRINITY_DN23082_c1_g3	0.5626	0.7228	0.01933	0.1286	0.128474	0.02142	0.1285
TRINITY_DN23102_c0_g1	0.5962	0.4726	0.06237	0.2516	0.251971	0.1282	0.252
TRINITY_DN23103_c0_g2	0.4274	0.3364	0.8855	0.8293	0.829622	0.2296	0.8296
TRINITY_DN23129_c1_g1	0.0506	0.146	0.02606	0.01462	0.0142562	0.04159	0.01426
TRINITY_DN23250_c0_g1	0.4746	0.6413	0.02976	0.1966	0.196822	0.05892	0.1968
TRINITY_DN23277_c2_g2	0.6165	0.7999	0.2787	0.4791	0.479825	0.2343	0.4798
TRINITY_DN23283_c1_g2	0.8225	0.5953	0.2789	0.3308	0.331304	0.4065	0.3313
TRINITY_DN23294_c0_g1	0.5301	0.06466	0.3443	0.6291	0.62975	0.2296	0.6297
TRINITY_DN23334_c2_g1	0.2685	0.3028	0.2691	0.4383	0.439008	0.2926	0.439
TRINITY_DN23355_c3_g4	0.6714	0.1795	0.4533	0.5938	0.594445	0.5025	0.5944
TRINITY_DN23362_c2_g1	0.9081	0.9259	0.8065	0.7074	0.70791	0.5988	0.7079
TRINITY_DN23378_c0_g1	0.3656	0.5548	0.5834	0.4397	0.440352	0.8924	0.4403
TRINITY_DN23381_c0_g1	0.06846	0.05048	0.001802	0.1278	0.127675	0.01354	0.1277
TRINITY_DN23398_c1_g1	0.1547	0.2647	0.2339	0.4239	0.42455	0.8527	0.4245
TRINITY_DN23399_c0_g1	0.005418	0.003873	0.09473	0.003057	0.00287972	0.5094	0.00288
TRINITY_DN23444_c0_g1	0.9995	0.9651	0.3424	0.5352	0.535865	0.2021	0.5359
TRINITY_DN23507_c0_g1	0.4112	0.2246	0.6449	0.8226	0.822973	0.5567	0.823
TRINITY_DN23512_c2_g1	0.06225	0.4002	0.005743	0.1208	0.120653	0.02142	0.1207
TRINITY_DN23518_c0_g1	0.07784	0.3103	0.09974	0.1091	0.108962	0.3647	0.109
TRINITY_DN23533_c0_g2	0.5106	0.5448	0.0002267	0.1031	0.102921	0.3647	0.1029
TRINITY_DN23558_c5_g2	0.3696	0.2396	0.4032	0.5577	0.558357	0.6445	0.5583
TRINITY_DN23565_c3_g2	0.493	0.473	0.031	0.3897	0.390372	0.0649	0.3904
TRINITY_DN23577_c1_g1	0.709	0.5374	0.8163	0.896	0.896205	0.9192	0.8962
TRINITY_DN23617_c1_g1	0.8048	0.7029	0.9196	0.9772	0.977224	0.945	0.9772
TRINITY_DN23622_c2_g1	0.8239	0.6915	0.4754	0.5266	0.527296	0.2508	0.5273
TRINITY_DN23647_c0_g1	0.6656	0.5273	0.2136	0.4298	0.430424	0.2343	0.4304
TRINITY_DN23654_c0_g1	0.4906	0.3125	0.1879	0.1319	0.131806	0.286	0.1318

## Continuación...

TRINITY_DN23657_c1_g1	0.6651	0.08489	0.1728	0.1215	0.121374	0.189	0.1214
TRINITY_DN23713_c3_g1	0.08489	0.213	0.0687	0.2401	0.24044	0.6196	0.2404
TRINITY_DN23718_c5_g3	0.2042	0.6804	0.7295	0.7264	0.726902	0.8593	0.7269
TRINITY_DN23803_c0_g6	0.07167	0.1266	0.003065	0.01605	0.0156739	0.005882	0.01567
TRINITY_DN23828_c1_g2	0.9116	0.9564	0.2855	0.3325	0.333047	0.6095	0.333
TRINITY_DN23886_c1_g4	0.1277	0.5009	0.7845	0.6812	0.681755	0.5909	0.6817
TRINITY_DN23917_c0_g1	0.8746	0.8922	0.7836	0.8334	0.833771	0.5988	0.8338
TRINITY_DN23940_c1_g1	0.4712	0.8529	0.5138	0.3674	0.368003	0.6385	0.368
TRINITY_DN23955_c2_g4	0.2204	0.442	0.9066	0.7506	0.751065	0.6093	0.751
TRINITY_DN23987_c0_g1	0.9111	0.9307	0.5561	0.5139	0.514562	0.5993	0.5146
TRINITY_DN23990_c0_g6	0.3568	0.3448	0.003165	0.1407	0.140634	0.02142	0.1406
TRINITY_DN24021_c0_g1	0.2587	0.3088	0.002373	0.1427	0.142666	0.02149	0.1427
TRINITY_DN24043_c0_g1	0.03438	0.1765	0.00008882	0.03553	0.0351175	0.005881	0.03512
TRINITY_DN24062_c2_g2	0.9538	0.9152	0.6635	0.7128	0.713299	0.7055	0.7133
TRINITY_DN24065_c1_g6	0.01313	0.06336	3.514E-06	0.009034	0.00873	0.005923	0.00873
TRINITY_DN24151_c0_g1	0.9515	0.7859	0.2571	0.03994	0.0395271	0.3986	0.03953
TRINITY_DN24230_c0_g3	0.217	0.4977	0.001624	0.1037	0.103533	0.0136	0.1035
TRINITY_DN24237_c2_g2	0.1588	0.1847	0.02274	0.2272	0.22744	0.06569	0.2274
TRINITY_DN24258_c0_g1	0.5287	0.6412	0.1639	0.2902	0.290649	0.3344	0.2906
TRINITY_DN24437_c1_g1	0.203	0.1231	0.0001248	0.1589	0.158911	0.005923	0.1589
TRINITY_DN24441_c1_g1	0.9992	0.9302	0.0423	0.06907	0.0687326	0.1002	0.06873
TRINITY_DN24501_c1_g3	0.736	0.176	0.1996	0.2319	0.232154	0.1	0.2321
TRINITY_DN24539_c3_g3	0.975	0.8598	0.611	0.557	0.557718	0.8033	0.5577
TRINITY_DN24583_c4_g1	0.01753	0.02775	0.0003438	0.03146	0.0310479	0.0136	0.03105
TRINITY_DN24604_c0_g2	0.5989	0.8227	0.4808	0.3731	0.373738	0.6508	0.3737
TRINITY_DN24608_c0_g2	0.01654	0.02629	0.00002931	0.006273	0.00601393	0.005923	0.006014
TRINITY_DN24627_c0_g1	0.408	0.6437	0.116	0.524	0.524667	0.1109	0.5247
TRINITY_DN24674_c2_g1	0.09359	0.05728	0.006437	0.08906	0.0888083	0.01352	0.08881
TRINITY_DN24682_c0_g1	0.9831	0.8851	0.0006226	0.00994	0.00962354	0.005841	0.009623
TRINITY_DN24695_c1_g1	0.3979	0.7241	0.4713	0.7259	0.726435	0.6093	0.7264
TRINITY_DN24715_c0_g4	0.4996	0.2765	0.784	0.922	0.922138	0.6619	0.9221
TRINITY_DN24745_c0_g1	0.4837	0.4342	0.2419	0.2854	0.285795	0.5094	0.2858
TRINITY_DN24752_c0_g3	0.921	0.7213	0.1607	0.6068	0.607497	0.1437	0.6075
TRINITY_DN24825_c0_g2	0.8404	0.8985	0.1543	0.05512	0.0547409	0.5274	0.05474
TRINITY_DN24846_c0_g1	0.2618	0.05606	0.1982	0.04829	0.0478994	0.2825	0.0479
TRINITY_DN24862_c0_g1	0.1845	0.2655	0.8348	0.8016	0.802043	0.8866	0.802
TRINITY_DN24887_c0_g1	0.0117	0.01828	0.6946	0.8062	0.806558	0.8096	0.8065
TRINITY_DN24890_c1_g2	0.9933	0.9928	0.5381	0.4071	0.407773	0.3216	0.4078
TRINITY_DN24905_c0_g1	0.3708	0.182	0.02458	0.1715	0.171548	0.05871	0.1715
TRINITY_DN24930_c0_g1	0.9487	0.5807	0.1473	0.1464	0.146425	0.07297	0.1464
TRINITY_DN24941_c2_g2	0.9983	0.9029	0.1957	0.482	0.48265	0.2296	0.4826
TRINITY_DN25074_c1_g1	0.1537	0.1088	0.0007027	0.05198	0.0515986	0.01354	0.0516
TRINITY_DN25082_c0_g2	0.04452	0.04527	0.01566	0.07384	0.0735257	0.4445	0.07352
TRINITY_DN25092_c1_g4	0.6212	0.1925	0.2186	0.4229	0.423562	0.2342	0.4236
TRINITY_DN25100_c0_g1	0.1463	0.526	0.02306	0.07407	0.073759	0.4822	0.07376
TRINITY_DN25109_c0_g5	0.6583	0.1256	0.336	0.514	0.514663	0.4197	0.5147
TRINITY_DN25140_c0_g6	0.8208	0.9009	0.7779	0.9589	0.958989	0.6615	0.959
TRINITY_DN25142_c0_g1	0.8022	0.2892	0.9834	0.8513	0.851657	0.5895	0.8516
TRINITY_DN25176_c0_g1	0.391	0.1103	0.02582	0.2287	0.228943	0.1002	0.2289
TRINITY_DN25240_c1_g1	0.9927	0.922	0.6136	0.762	0.762432	0.9928	0.7624
TRINITY_DN25243_c1_g1	0.2073	0.09869	0.2575	0.5896	0.590281	0.7552	0.5903
TRINITY_DN25267_c0_g4	0.2605	0.3747	0.7245	0.5717	0.572409	0.2658	0.5724
TRINITY_DN25280_c1_g1	0.4111	0.5269	0.2264	0.4372	0.437828	0.3069	0.4378
TRINITY_DN25325_c0_g2	0.1948	0.5133	0.01263	0.2657	0.266116	0.02738	0.2661
TRINITY_DN25353_c0_g1	0.8035	0.5582	0.5646	0.7439	0.744415	0.5912	0.7444
TRINITY_DN25356_c1_g2	0.5808	0.5723	0.006438	0.1408	0.14075	0.02139	0.1407
TRINITY_DN25429_c1_g2	0.6651	0.8431	0.2209	0.4151	0.415743	0.3391	0.4157
TRINITY_DN25475_c1_g1	0.6238	0.7785	0.4603	0.3487	0.34928	0.7524	0.3493
TRINITY_DN25516_c0_g3	0.3171	0.4151	0.634	0.9797	0.979743	0.7123	0.9797
TRINITY_DN25540_c1_g1	0.1007	0.5203	0.09202	0.3322	0.332748	0.2301	0.3327
TRINITY_DN25540_c1_g5	0.1501	0.0813	0.3739	0.4904	0.491063	0.962	0.4911
TRINITY_DN25543_c1_g1	0.008729	0.001846	0.0237	0.1492	0.149191	0.03559	0.1492
TRINITY_DN25567_c0_g1	0.06155	0.3928	0.3749	0.4035	0.404094	0.2688	0.4041
TRINITY_DN25586_c0_g3	0.5041	0.318	0.001775	0.003699	0.00350096	0.005882	0.003501
TRINITY_DN25628_c0_g1	0.3468	0.1037	0.8409	0.6353	0.635956	0.9929	0.6359
TRINITY_DN25642_c0_g3	0.174	0.3212	0.9644	0.7103	0.710879	0.9617	0.7109
TRINITY_DN25662_c2_g1	0.9893	0.5769	0.001487	0.004063	0.00385472	0.005828	0.003855
TRINITY_DN25665_c0_g2	0.9704	0.9837	0.5899	0.6361	0.636695	0.5278	0.6367
TRINITY_DN25683_c0_g1	0.5831	0.9151	0.4171	0.529	0.529647	0.5285	0.5296
TRINITY_DN25725_c0_g3	0.1624	0.1708	0.2314	0.4706	0.471245	0.2049	0.4712
TRINITY_DN25754_c0_g1_promedio	0.2326	0.4925	0.1055	0.583	0.584097	0.3773	0.5837

## Continuación...

TRINITY_DN25791_c0_g1	0.5097	0.7163	0.1901	0.3867	0.387346	0.1808	0.3873
TRINITY_DN25804_c0_g2	0.352	0.8174	0.07117	0.3325	0.333073	0.1902	0.3331
TRINITY_DN25884_c1_g2	0.2986	0.2474	0.0002182	0.03347	0.033057	0.005923	0.03305
TRINITY_DN25966_c2_g1	0.1149	0.08084	0.008297	0.2102	0.210454	0.0273	0.2104
TRINITY_DN25968_c2_g1	0.6143	0.3289	0.2774	0.2098	0.210028	0.1283	0.21
TRINITY_DN26017_c0_g1	0.3685	0.7174	0.898	0.9493	0.949407	0.7618	0.9494
TRINITY_DN26044_c1_g1	0.5375	0.28	0.4976	0.7682	0.768624	0.893	0.7686
TRINITY_DN26077_c0_g1	0.1227	0.2107	0.162	0.4104	0.411078	0.5924	0.4111
TRINITY_DN26091_c2_g1	0.06891	0.3165	0.005151	0.04765	0.0472511	0.02149	0.04725
TRINITY_DN26117_c0_g1	0.2025	0.6016	0.01413	0.08032	0.0800303	0.04142	0.08003
TRINITY_DN26126_c0_g1	0.4735	0.7017	0.7878	0.9779	0.977934	0.6676	0.9779
TRINITY_DN26172_c4_g3	0.08503	0.4258	0.00664	0.2169	0.217103	0.03565	0.2171
TRINITY_DN26181_c3_g2	0.1813	0.6301	0.0163	0.03105	0.0306314	0.01883	0.03063
TRINITY_DN26190_c0_g1	0.9851	0.933	0.6779	0.8613	0.861605	0.6619	0.8616
TRINITY_DN26201_c2_g7	0.574	0.301	0.8915	0.9159	0.916085	0.712	0.9161
TRINITY_DN26220_c0_g1	0.09172	0.003019	0.01102	0.09182	0.091572	0.02131	0.09157
TRINITY_DN26268_c0_g5	0.5218	0.1796	0.2748	0.4046	0.405266	0.2049	0.4053
TRINITY_DN26292_c0_g1	0.5439	0.8331	0.9053	0.9884	0.988419	0.712	0.9884
TRINITY_DN26318_c1_g3	0.499	0.1817	0.309	0.392	0.3926	0.9866	0.3926
TRINITY_DN26361_c1_g1	0.7027	0.6454	0.5359	0.4793	0.479958	0.712	0.4799
TRINITY_DN26370_c2_g2	0.5982	0.69	0.9409	0.7975	0.79791	0.96	0.7979
TRINITY_DN26380_c0_g1	0.8822	0.7082	0.325	0.7688	0.769286	0.293	0.7693
TRINITY_DN26424_c1_g1	0.9857	0.9536	0.028	0.06589	0.0655482	0.4824	0.06555
TRINITY_DN26424_c1_g2	0.9179	0.7943	0.5385	0.3533	0.353894	0.5492	0.3539
TRINITY_DN26463_c2_g3	0.4546	0.2053	0.7367	0.3533	0.534848	0.4307	0.5348
TRINITY_DN26467_c0_g1	0.111	0.1765	0.02445	0.1076	0.107447	0.02738	0.1074
TRINITY_DN26541_c0_g2	0.2117	0.2317	0.000986	0.0366	0.0361849	0.005841	0.03618
TRINITY_DN40381_c0_g1	0.2313	0.3486	0.8095	0.7746	0.775031	0.8096	0.775
TRINITY_DN4836_c0_g1	0.4657	0.8047	0.2582	0.4177	0.418397	0.1906	0.4184
TRINITY_DN9642_c0_g1	0.5992	0.57842	0.09592	0.2369	0.237214	0.2505	0.2372
TRINITY_DN12238_c0_g2	0.842	0.4767	0.1861	0.02729	0.0268814	0.09087	0.02688
TRINITY_DN13672_c0_g1	0.3889	0.5643	0.6471	0.5228	0.523513	0.7546	0.5235
TRINITY_DN15665_c0_g1	0.1346	0.1324	0.02662	0.03164	0.0312213	0.0273	0.03122
TRINITY_DN16045_c0_g1	0.6001	0.6679	0.113	0.04009	0.039684	0.1739	0.03968
TRINITY_DN18572_c0_g1	0.2155	0.584	0.1382	0.288	0.28843	0.23	0.2884
TRINITY_DN18802_c0_g1	0.2014	0.1654	0.845	0.8663	0.866623	0.8775	0.8666
TRINITY_DN19015_c5_g1	0.4029	0.424	0.1048	0.2741	0.274541	0.1993	0.2745
TRINITY_DN19139_c0_g2	0.6903	0.72	0.3718	0.7277	0.728218	0.6154	0.7282
TRINITY_DN20247_c5_g3	0.991	0.9961	0.6531	0.542	0.542715	0.7374	0.5427
TRINITY_DN20971_c0_g4	0.6112	0.7117	0.4139	0.3682	0.368843	0.3351	0.3688
TRINITY_DN21407_c0_g1	0.2256	0.1868	0.9437	0.8037	0.804067	0.8884	0.804
TRINITY_DN21634_c0_g1	0.2169	0.1264	0.0007244	0.06227	0.061916	0.01347	0.06191
TRINITY_DN22317_c0_g2	0.2982	0.5089	0.8516	0.9896	0.989617	0.286	0.9896
TRINITY_DN22375_c0_g2	0.9255	0.4444	0.905	0.968	0.968115	0.7065	0.9681
TRINITY_DN23565_c3_g2	0.493	0.473	0.031	0.3897	0.390372	0.0649	0.3904
TRINITY_DN23622_c2_g1	0.8239	0.6915	0.4754	0.5266	0.527296	0.2508	0.5273
TRINITY_DN23886_c1_g4	0.1277	0.5009	0.7845	0.6812	0.681755	0.5909	0.6817
TRINITY_DN24062_c2_g2	0.9538	0.9152	0.6635	0.7128	0.713299	0.7055	0.7133
TRINITY_DN24237_c2_g2	0.1588	0.1847	0.02274	0.2272	0.22744	0.06569	0.2274
TRINITY_DN25082_c0_g2	0.04452	0.04527	0.01566	0.07384	0.0735257	0.4445	0.07352
TRINITY_DN25280_c1_g1	0.4111	0.5269	0.2264	0.4372	0.437828	0.3069	0.4378
TRINITY_DN25628_c0_g1	0.3468	0.1037	0.8409	0.6353	0.635956	0.9929	0.6359
TRINITY_DN25665_c0_g2	0.9704	0.9837	0.5899	0.6361	0.636695	0.5278	0.6367
TRINITY_DN25968_c2_g1	0.6143	0.3289	0.2774	0.2098	0.210028	0.1283	0.21
TRINITY_DN25754_c0_g1	0.04747	0.1929	0.03301	0.0837	0.0834182	0.06592	0.08342
TRINITY_DN25754_c0_g1	0.0118	0.07476	0.00004282	0.006959	0.00668722	0.005841	0.006687
TRINITY_DN25754_c0_g1	0.007698	0.001441	0.0002854	0.00449	0.0042705	0.005881	0.00427

**Anexo 3:** Secuencia de primers para los genes candidatos de referencia

Gene name	Forward primer (5'-3')	Gene Reverse primer (5'-3')	Tm (°C)	Amplon expected size (pb)
ATPeV1E/ATP6E	AGCGGTTAAGAGAGACTAAAGGT	GTTTCAACCAACTGCAACTTCTC	64.1	243
	GATACTGGAAAGCGGTTAACAGAG	TGCTGGATTGCTTAGAGACATC	62.2	152
RP-S18e/RPS18	GAGAGACTCAACACCGAACGGGTAT	CTCAGCTTCATATCGAGTCATT	62.2	458
	GAACAAGAGAGCTGGTAAATTGA	CTCAGCTTCATATCGAGTCATT	64.1	168
RP-L11e/RPL11	TGGTATCCAGGAGCATATCGATT	CAGTCAAACGCCCTCAAATACAGA	64.1	336
	AGTCTTAACCCTAGCCGCATATA	ACGAACAGTGTACCTTGCTTAG	59.9	270
RP-S27e/RPS27	TAAGTTGTAAGGCTTGCAGTTG	GGAAACCGTTTGCTTACAT	62.2	141
	GAAACTGCCAAACTGTGTTATGC	CAACTGCAGAGCCTTACAACCTA	64.1	204
ENOPH1	TTTGGGAGATGGAGCAGATAAGA	ATGACTCCATTCTAACGCTCAT	59.9	371
ERF3/GSPT	CTACAGTGCAGTGGTCAAAGAA	GTACAGTACCCGATTCCACTTG	62.2	312
OEP24	ACACAGTTAACGGTGCAGAGAAG	GGAAAGCAAACTACACCTCAAAGT	62.2	428
	GTCTAAGAACCTCGTGGACTTTG	CATGGTCTCTGCACTAAGTTT	62.2	201
LOC109348064	TAGCTCCAATTCTTICCAAG	ACACGGAGTTAGTCTTCCATGTC	62.2	164
	GTGGTGCAGTAGAAGTTGTTTG	AAAGACATGATTAGGCCTCGAC	59.9	209
RAD52-2	ACTCGTCCTTAGCTGAGATTCT	TTAGCATGATACCAGGGATTGA	62.2	116
	GGGTTGTGAGAAGAAGAAGGAG	AGAACATCTAGCTAAAGGACGAGT	62.2	176
CESA1	TCATCTTCGCTGTGTTCCAAG	TACCCAAACAGACCCTCAAGAAT	62.2	302
	ATCCGATGAAGATGGGACTTTA	TCAAGAATGGGTATAGATGGCA	62.2	209

**Anexo 4:** Análisis de variancia para el gen candidato a referencia RPL11 ( $\alpha=0.05$ ) bajo condiciones de solución La Molina

**ANALYSIS OF VARIANCE**

SOURCE OF VARIATION	Df	Sum Sq	Mean Sq	F value	Pr(>F)
TRAT	2	1288441	644220	0.519	0.62
RESIDUALS	6	7453371	1242229		
CV %			2.3		

**Anexo 5:** Análisis de variancia para el gen candidato a referencia RPS18 ( $\alpha=0.05$ ) bajo condiciones de solución La Molina

**ANALYSIS OF VARIANCE**

SOURCE OF VARIATION	Df	Sum Sq	Mean Sq	F value	Pr(>F)
TRAT	2	243851	121925	0.236	0.797
RESIDUALS	6	3096483	516081		
CV%			1.9		

**Anexo 6:** Análisis de variancia para el gen candidato a referencia RPS27L ( $\alpha=0.05$ ) bajo condiciones de solución La Molina

**ANALYSIS OF VARIANCE**

SOURCE OF VARIATION	Df	Sum Sq	Mean Sq	F value	Pr(>F)
TRAT	2	283589	141794	1.115	0.388
RESIDUALS	6	763183	127197		
CV%			0.6		

**Anexo 7:** Análisis de variancia para el gen candidato a referencia V-ATPasa a ( $\alpha=0.05$ ) bajo condiciones de solución La Molina

**ANALYSIS OF VARIANCE**

SOURCE OF VARIATION	Df	Sum Sq	Mean Sq	F value	Pr(>F)
<b>TRAT</b>	2	99822	49911	0.206	0.819
<b>RESIDUALS</b>	6	1453412	242235		
<b>CV %</b>			1.8		

**Anexo 8:** Análisis de variancia para el gen candidato a referencia V-ATPasa b ( $\alpha=0.05$ ) bajo condiciones de solución La Molina

**ANALYSIS OF VARIANCE**

SOURCE OF VARIATION	Df	Sum Sq	Mean Sq	F value	Pr(>F)
<b>TRAT</b>	2	2606829	1303414	3.085	0.12
<b>RESIDUALS</b>	6	2535107	422518		
<b>CV%</b>			1.9		

**Anexo 9:** Análisis de variancia para el gen candidato a referencia ERF3 ( $\alpha=0.05$ ) bajo condiciones de solución La Molina

**ANALYSIS OF VARIANCE**

SOURCE OF VARIATION	Df	Sum Sq	Mean Sq	F value	Pr(>F)
<b>TRAT</b>	2	274481	137240	0.723	0.523
<b>RESIDUALS</b>	6	1139655	189943		
<b>CV%</b>			0.34		

**Anexo 10:** Análisis de variancia para el gen candidato a referencia OEP24 a ( $\alpha=0.05$ ) bajo condiciones de solución La Molina

**ANALYSIS OF VARIANCE**

SOURCE OF VARIATION	Df	Sum Sq	Mean Sq	F value	Pr(>F)
<b>TRAT</b>	2	47.34	23.67	1.77	0.249
<b>RESIDUAL</b>	6	80.19	13.36		
<b>CV%</b>			1.9		

**Anexo 11:** Análisis de variancia para el gen candidato a referencia OEP24 b ( $\alpha=0.05$ ) bajo condiciones de solución La Molina

**ANALYSIS OF VARIANCE**

SOURCE OF VARIATION	d.f.	s.s.	m.s.	v.r.	F pr.
<b>TRAT</b>	2	1502.77	751.38	9.89	0.013
<b>RESIDUAL</b>	6	456.05	76.01		
<b>CV%</b>			4.9		

**Anexo 12:** Análisis de variancia para el gen candidato a referencia RAD52 ( $\alpha=0.05$ ) bajo condiciones de solución La Molina

#### ANALYSIS OF VARIANCE

SOURCE OF VARIATION	Df	Sum Sq	Mean Sq	F value	Pr(>F)
TRAT	2	37826106	18913053	11.52	0.00882
RESIDUALS	6	9848630	1641438		
CV%			12.8		

**Anexo 13:** Análisis de variancia para el gen candidato a referencia CESA1 a ( $\alpha=0.05$ ) bajo condiciones de solución La Molina

#### ANALYSIS OF VARIANCE

SOURCE OF VARIATION	Df	Sum Sq	Mean Sq	F value	Pr(>F)
TRAT	2	3038900	1519450	1.73	0.255
RESIDUALS	6	5270107	878351		
CV%			0.6		

**Anexo 14:** Análisis de variancia para el gen candidato a referencia CESA1 b ( $\alpha=0.05$ ) bajo condiciones de solución La Molina

#### ANALYSIS OF VARIANCE

SOURCE OF VARIATION	Df	Sum Sq	Mean Sq	F value	Pr(>F)
TRAT	2	26848222	13424111	16.49	0.00365
RESIDUALS	6	4885409	814235		
CV%			0.4		

**Anexo 15:** Análisis de variancia para el gen candidato a referencia Atg45170 ( $\alpha=0.05$ ) bajo condiciones de solución La Molina

#### ANALYSIS OF VARIANCE

SOURCE OF VARIATION	Df	Sum Sq	Mean Sq	F value	Pr(>F)
TRAT	2	79603	39801	3.475	0.0995
RESIDUALS	6	68725	11454		
CV%			0.3		

**Anexo 16:** Análisis de variancia para el gen candidato a referencia RPL11 ( $\alpha=0.05$ ) bajo condiciones de solución MS

#### ANALYSIS OF VARIANCE

SOURCE OF VARIATION	Df	Sum Sq	Mean Sq	F value	Pr(>F)
TRAT			144		0.388
RESIDUALS			1277		
CV%			5.2		

de solución MS

**Anexo 17:** Análisis de variancia para el gen candidato a referencia RPS18 ( $\alpha=0.05$ ) bajo condiciones de solución MS

**ANALYSIS OF VARIANCE**

SOURCE OF VARIATION	Df	Sum Sq	Mean Sq	F value	Pr(>F)
TRAT	1	35152922	35152922	47.57	0.00232
RESIDUALS	4	2955637	738909		
CV%			26.7		

**Anexo 18:** Análisis de variancia para el gen candidato a referencia RAD52 ( $\alpha=0.05$ ) bajo condiciones de solución MS

**ANALYSIS OF VARIANCE**

SOURCE OF VARIATION	Df	Sum Sq	Mean Sq	F value	Pr(>F)
TRAT	1	172431204	172431204	168.6	0.000203
RESIDUALS	4	4091707	1022927		
CV%			7.2		

**Anexo 19:** Análisis de variancia para el gen candidato a referencia OEP24 a ( $\alpha=0.05$ ) bajo condiciones de solución MS

**ANALYSIS OF VARIANCE**

SOURCE OF VARIATION	Df	Sum Sq	Mean Sq	F value	Pr(>F)
TRAT	1	26514628	26514628	23.85	0.00814
RESIDUALS	4	4447557	1111889		
CV%			6.9		

**Anexo 20:** Análisis de variancia para el gen candidato a referencia OEP24 b ( $\alpha=0.05$ ) bajo condiciones de solución MS

**ANALYSIS OF VARIANCE**

SOURCE OF VARIATION	Df	Sum Sq	Mean Sq	F value	Pr(>F)
TRAT	1	26514628	26514628	23.85	0.00814
RESIDUALS	4	4447557	1111889		
CV %			12.4		

**Anexo 21:** Análisis de variancia para el gen candidato a referencia V-ATPasa a ( $\alpha=0.05$ ) bajo condiciones de solución MS

**ANALYSIS OF VARIANCE**

SOURCE OF VARIATION	Df	Sum Sq	Mean Sq	F value	Pr(>F)
TRAT	2	150773114	75386557	109.9	1.88E-05
RESIDUALS	6	4115996	685999		
CV %			11.8		

**Anexo 22:** Análisis de variancia para el gen candidato a referencia V-ATPasa b ( $\alpha=0.05$ ) bajo condiciones de solución MS

**ANALYSIS OF VARIANCE**

SOURCE OF VARIATION	Df	Sum Sq	Mean Sq	F value	Pr(>F)
TRAT	2	559569624	279784812	316.2	8.31E-07
RESIDUALS	6	5309739	884957		
CV%			35.1		

**Anexo 23:** Análisis de variancia para el gen candidato a referencia RPS27L ( $\alpha=0.05$ ) bajo condiciones de solución MS

**ANALYSIS OF VARIANCE**

SOURCE OF VARIATION	Df	Sum Sq	Mean Sq	F value	Pr(>F)
TRAT	2	87728983	43864491	231.9	2.08E-06
RESIDUALS	6	1134883	189147		
CV%			18.1		

**Anexo 24:** Análisis de variancia para el gen candidato a referencia CESA1 a ( $\alpha=0.05$ ) bajo condiciones de solución MS

**ANALYSIS OF VARIANCE**

SOURCE OF VARIATION	Df	Sum Sq	Mean Sq	F value	Pr(>F)
TRAT	2	299195057	149597528	513.4	1.96E-07
RESIDUALS	6	1748444	291407		
CV%			17.6		

**Anexo 25:** Análisis de variancia para el gen candidato a referencia CESA1 b ( $\alpha=0.05$ ) bajo condiciones de solución MS

**ANALYSIS OF VARIANCE**

SOURCE OF VARIATION	Df	Sum Sq	Mean Sq	F value	Pr(>F)
TRAT	2	26848222	13424111	16.49	0.00365
RESIDUALS	6	4885409	814235		
CV%			16.5		

**Anexo 26:** Análisis de variancia para el gen candidato a referencia Atg45170 ( $\alpha=0.05$ ) bajo condiciones de solución MS

**ANALYSIS OF VARIANCE**

SOURCE OF VARIATION	Df	Sum Sq	Mean Sq	F value	Pr(>F)
TRAT	2	12196674	6098337	114.9	1.65E-05
RESIDUALS	6	318564	53094		
CV%			7.6		

**Anexo 27:** Prueba Tukey para la expresión del gen candidato a referencia RPL11 ( $\alpha= 0.05$ ) bajo condiciones de solución La Molina

**TUKEY'S 95% CONFIDENCE INTERVALS**

TRAT	Mean	
H	44844.33	a
T	45456.67	a
R	45753	a

**Anexo 28:** Prueba Tukey para la expresión del gen candidato a referencia RPS18 ( $\alpha=0.05$ ) bajo condiciones de solución La Molina

**TUKEY'S 95% CONFIDENCE INTERVALS**

TRAT	Mean	
H	59110.33	a
T	59241	a
R	58845.33	a

**Anexo 29:** Prueba Tukey para la expresión del gen candidato a referencia RPS27L ( $\alpha=0.05$ ) bajo condiciones de solución La Molina

**TUKEY'S 95% CONFIDENCE INTERVALS**

TRAT	Mean	
H	60345.33	a
T	60671	a
R	60757.67	a

**Anexo 30:** Prueba Tukey para la expresión del gen candidato a referencia V-ATPasa a ( $\alpha=0.05$ ) bajo condiciones de solución La Molina

**TUKEY'S 95% CONFIDENCE INTERVALS**

TRAT	Mean	
H	37500.67	a
T	37280.67	a
R	37507.33	a

**Anexo 31:** Prueba Tukey para la expresión del gen candidato a referencia V-ATPasa b ( $\alpha=0.05$ ) bajo condiciones de solución La Molina

**TUKEY'S 95% CONFIDENCE INTERVALS**

	Mean	
H	42198.33	a
T	42198.33	a
R	43423.67	a

**Anexo 32:** Prueba Tukey para la expresión del gen candidato a referencia ERF3 ( $\alpha=0.05$ ) bajo condiciones de solución La Molina

**TUKEY'S 95% CONFIDENCE INTERVALS**

TRAT	Mean	
H	49269.00	a
T	49396.33	a
R	49686.33	a

**Anexo 33:** Prueba Tukey para la expresión del gen candidato a referencia OEP24 a ( $\alpha=0.05$ ) bajo condiciones de solución La Molina

**TUKEY'S 95% CONFIDENCE INTERVALS**

TRAT	Mean	
H	41819.33	a
T	42331.33	a
R	42461.00	a

**Anexo 34:** Prueba Tukey para la expresión del gen candidato a referencia OEP24 b ( $\alpha=0.05$ ) bajo condiciones de solución La Molina

**TUKEY'S 95% CONFIDENCE INTERVALS**

TRAT	Mean	
H	52796.67	a
T	53023.00	a
R	52947.00	a

**Anexo 35:** Prueba Tukey para la expresión del gen candidato a referencia RAD52 ( $\alpha=0.05$ ) bajo condiciones de solución La Molina

**TUKEY'S 95% CONFIDENCE INTERVALS**

TRAT	Mean	
H	19836.67	a
T	20995.67	a
R	16184.67	b

**Anexo 36:** Prueba Tukey para la expresión del gen candidato a referencia CESA1- a ( $\alpha=0.05$ ) bajo condiciones de solución La Molina

**TUKEY'S 95% CONFIDENCE INTERVALS**

TRAT	Mean	
H	44003.667	b
T	47482.667	a
R	47828.000	a

**Anexo 37:** Prueba Tukey para la expresión del gen candidato a referencia CESA1- b ( $\alpha=0.05$ ) bajo condiciones de solución La Molina

**TUKEY'S 95% CONFIDENCE INTERVALS**

TRAT	Mean
H	46585.67
T	47053.00
R	46826.33

**Anexo 38:** Prueba Tukey para la expresión del gen candidato a referencia Atg45170 ( $\alpha=0.05$ ) bajo condiciones de solución La Molina

**TUKEY'S 95% CONFIDENCE INTERVALS**

TRAT	Mean
H	44812.00
T	46090.00
R	45993.67

**Anexo 39:** Prueba Tukey para la expresión del gen candidato a referencia RPL11 ( $\alpha= 0.05$ ) bajo condiciones de solución MS

**TUKEY'S 95% CONFIDENCE INTERVALS**

TRAT	Mean
T	57691.00
R	51159.67

**Anexo 40:** Prueba Tukey para la expresión del gen candidato a referencia RPS18 ( $\alpha= 0.05$ ) bajo condiciones de solución MS

**TUKEY'S 95% CONFIDENCE INTERVALS**

TRAT	Mean
T	19095.33
R	14254.33

**Anexo 41:** Prueba Tukey para la expresión del gen candidato a referencia RAD52-2 ( $\alpha= 0.05$ ) bajo condiciones de solución MS

**TUKEY'S 95% CONFIDENCE INTERVALS**

TRAT	Mean
T	19095.33
R	14254.33

**Anexo 42:** Prueba Tukey para la expresión del gen candidato a referencia OEP24 a ( $\alpha=0.05$ ) bajo condiciones de solución MS

**TUKEY'S 95% CONFIDENCE INTERVALS**

TRAT	Mean
H	41574.6667
T	47425.3333

**Anexo 43:** Prueba Tukey para la expresión del gen candidato a referencia OEP24 b ( $\alpha=0.05$ ) bajo condiciones de solución MS

**TUKEY'S 95% CONFIDENCE INTERVALS**

TRAT	Mean
H	30222.67
T	26018.33

**Anexo 44:** Prueba Tukey para la expresión del gen candidato a referencia V-ATPasa a ( $\alpha=0.05$ ) bajo condiciones de solución MS

**TUKEY'S 95% CONFIDENCE INTERVALS**

TRAT	Mean
H	36230.67
T	42663.67
R	32787.67

**Anexo 45:** Prueba Tukey para la expresión del gen candidato a referencia V-ATPasa b ( $\alpha=0.05$ ) bajo condiciones de solución MS

**TUKEY'S 95% CONFIDENCE INTERVALS**

	Mean
H	17487.33
T	30449.33
R	14676.33

**Anexo 46:** Prueba Tukey para la expresión del gen candidato a referencia RPS27L ( $\alpha=0.05$ ) bajo condiciones de solución MS

**TUKEY'S 95% CONFIDENCE INTERVALS**

TRAT	Mean
H	14487.67
T	22134.00
R	18432.00

**Anexo 47:** Prueba Tukey para la expresión del gen candidato a referencia CESA1- a ( $\alpha=0.05$ ) bajo condiciones de solución MS

TUKEY'S 95% CONFIDENCE INTERVALS		
TRAT	Mean	
H	30580.3333	b
T	42863.6667	a
R	30685.6667	b

**Anexo 48:** Prueba Tukey para la expresión del gen candidato a referencia CESA1- b ( $\alpha=0.05$ ) bajo condiciones de solución MS

TUKEY'S 95% CONFIDENCE INTERVALS		
TRAT	Mean	
H	35942.67	b
T	42756.00	a
R	29539.33	c

**Anexo 49:** Prueba Tukey para la expresión del gen candidato a referencia Atg45170 ( $\alpha=0.05$ ) bajo condiciones de solución MS

TUKEY'S 95% CONFIDENCE INTERVALS		
TRAT	Mean	
H	16952.67	b
T	17723.67	a
R	14960.67	c

**Anexo 50:** Tabla de composición y concentración de las soluciones La Molina y Murashige y Skoog (MSP01)

Elemento	P.A (g/mol)	La Molina (ppm)	MSP01 (ppm)
K	39.0983	210	775.20
N	14.0067	190	840.69
Ca	40.078	150	119.97
S	32.065	70	55.51
Mg	24.305	45	36.49
P	30.973762	35	15.90
Fe	55.845	1	5.58
Mn	54.938044	0.5	5.49
B	10.811	0.5	1.08
Zn	65.37	0.15	1.95
Cu	63.546	0.1	0.01
Mo	95.95	0.05	0.12
Co	58.933		2.36
Na	22.990		0.01
Cl	35.453		106.13
I	126.904		0.63

P.A: Peso atómico